

DIMENSIONERING AV NÖDSTYRSYSTEM I TIPPLED  
FÖR ETT INSTABILT GRUNDFLYGPLAN

BERTIL JANSSON

RE-170 December 1975  
Inst. för Reglerteknik  
Lunds Tekniska Högskola

Utfärdad	Datum	Utgåva	Sida
Bertil Jansson Fastst., godk., att., tillst., just., etc. (skrivs ut i förekommande fall)	sept 75		
Fördelning <del>Inst för reglerteknik LTH/3</del> B Jansson/5, FOSIM KTH/FL, FKSS -4/2 -43 -45 -46 -5L -6 FKLA-51	Ärende Examensarbete Dimensionering av nödstyrssystem i tippled för ett instabilt grundflygplan		

Innehållsförteckning

- 1 Sammanfattning
- 2 Problemställning
- 3 Lineariserad flygplansmodell
- 4 Öppna systemets överföringsfunktioner vid olika flygfall och med 2:a ordningens fpl-modell
- 5 Specifikationer i egenfrekvens och dämpning
- 6 Enkelt återkopplat system utan servon och givar-dynamik
  - 6.1 En givare och konstant förstärkning
  - 6.2 En givare och variabel förstärkning
  - 6.3 Två givare och variabel förstärkning
  - 6.4 Två givare och konstant förstärkning
- 7 Öppna systemets överföringsfunktioner vid olika flygfall och med 3:e ordningens fpl-modell
- 8 Återkopplat system med servon och givardynamik och med hänsyn till Body-bending kraven.
  - 8.1 Servo- och givar-dynamik
  - 8.2 Body-bending kraven
  - 8.3 En givare och konstant förstärkning
    - 8.3.1 Proportionell q-återföring
    - 8.3.2 Lågpassfiltrerad q-återföring
    - 8.3.3 PI-q-återföring
    - 8.3.4 Lågpassfiltrerad  $\alpha$ -återföring
    - 8.3.5 Lågpassfiltrerad  $\eta z$ -återföring
  - 8.4 Två givare och konstant förstärkning
  - 8.5 En givare och variabel förstärkning

Utfärdad	Datum	Utgåva	Sida
----------	-------	--------	------

9. Bestämning av förstärkningen i framgrenen med konstant PI-q-återkoppling
10. Simuleringsresultat från FOSIM, KTH
  - 10.1 Stegsvar vid vindbystörning
  - 10.2 Stegsvar vid spakkommando

Appendix 1 Stegsvar vid vindbystörning

Appendix 2 Stegsvar vid spakkommando

Uttärdad	Datum	Utgåva	Sida

## SUMMARY

This study deals with the emergency pitch control system for an aircraft with reduced static stability. A linearized model is used. The objective of the study was to find the minimum number of sensors necessary for a fixed gain system. Flight conditions simulated were  $M = 0.2$ ,  $M = 0.4$ , and  $M = 0.9$  at altitude = 500 m. Two centers of gravity were also simulated. A simplified aircraft model (which eliminates sensor and servo dynamics) was examined for various combinations of feedbacks; pitch rate ( $q$ ), load factor ( $nz$ ), and angle of attack ( $\alpha$ ). A system using a single feedback, alpha ( $\alpha$ ), with constant gain produced acceptable performance.

A more complete model which included dynamics of sensors and servos was also studied. It was found that these added dynamics have a negligible effect at low speed. At  $M = 0.9$ , however, the addition of servo dynamics decreases the system stability. In this case, the system using a single feedback with constant gain which produced the best results was pitch rate ( $q$ ) feedback with proportional plus integral control approximated by

$$G_K(s) = \frac{S+8}{S+1} \text{ and } B_q = 0.05.$$

Simulations at FOSIM with this system configuration and gains resulted in unsatisfactory handling qualities at low speed when gusts where included. Increasing the feedback gain  $B_q$  to 0.1 reduced damping at higher speeds but resulted in better overall pilot ratings. Increasing the integral path to

$$\frac{S + 16}{S + 1}$$

produced similar improvements in pilot ratings.

Uttärdad	Datum	Utgåva	Sida

## 1 SAMMANFATTNING

Föreliggande examensarbete behandlar nödstyrsystemet för tippkanal för ett flygplan med reducerad statisk stabilitet. En lineariserad modell har framtagits för flygfallen  $M = 0.2$ ,  $M = 0.4$  och  $M = 0.9$ , höjd 500 m och med två tyngdpunktslägen. Med en förenklad flygplansmodell har fallet undersökts då systemet återkopplas enkelt med de tre olika givarna rategyro ( $q$ ), anfallsvinkelgivare ( $\alpha$ ) och accelerometer ( $n_z$ ). Detta gav att med konstant  $\alpha$ -återkoppling systemet fick önskvärda egenskaper.

I en mer fullständig modell har hänsyn även tagits till servon och givaredynamik. Dessa har ringa inverkan vid lägre fart medan vid  $M = 0.9$  framför allt servona försämrar stabiliteten. Med endast en givare och konstant återkoppling framkom det att PI\*- $q$ -återföring var lämpligast med kompenseringen  $G_k(S) = \frac{S+8}{S+1}$  och med återkopplingen 0.05.

Vid simulering vid FOSIM med denna återkoppling blev resultatet att piloten hade problem vid lägre fart att kontrollera planet vid turbulensstörning. En ökning av återkopplingen till  $B_q = 0.1$  medförde försämrad dämpning vid högre fart men gav totalt bättre förarbetyg och flygplanet ansågs fullt kontrollerbart. Liknande resultat erhölls med en ökning av den integrerande delen och  $G_k(S) = \frac{S+16}{S+1}$  användes.

## 2 PROBLEMSTÄLLNING

Genom att reducera ett flygplans statiska stabilitet i tippad är det möjligt att förbättra flygplanets prestanda eller vid bibehållna prestanda minska vingytan och därmed erhålla en viktminskning. För att undersöka vilka uppoffringar som krävs utan att sänka risknivån har ett försöksprogram startats med simuleringar vid FOSIM.

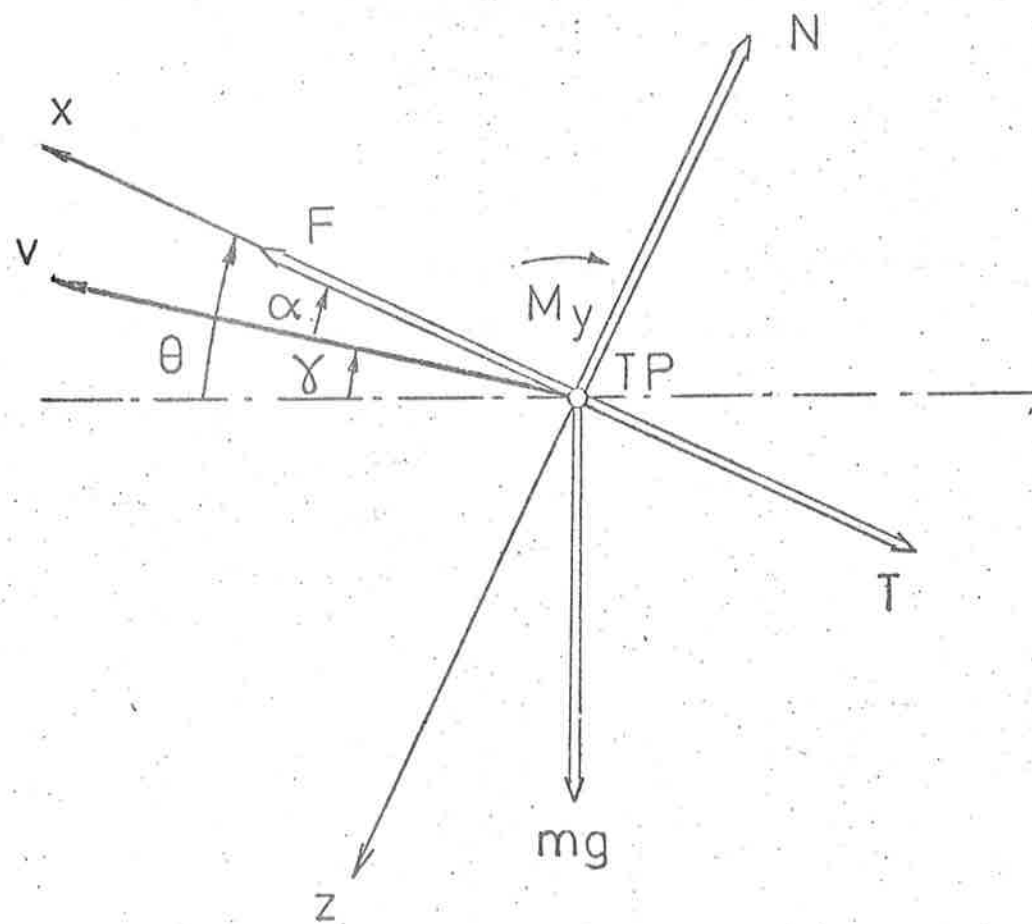
Aviskten med examensarbetet har varit att undersöka antalet givaretyper som krävs i ett nödsystem för att stabilisera ett instabilt grundflygplan i tippad. Genom att aerodynamiska trycket varierar med flygplanets hastighet och höjd kommer dess egenfrekvens och dämpning att variera med olika flygfall. Detta gör att styrautomaten oftast kräver variabla förstärkningar. I ett nödsystem är det önskvärt med ett så enkelt styrsystem som möjligt utan flygfallskompensering dvs konstanta förstärkningar i styrautomaten.

\*) PI = Proportionell + Integrerad

Utfärdad	Datum	Utgåva	Sida

## 3 LINIEARISERAD FLYGPLANSMODELL

Ett flygplanfast koordinatsystem med origo i tyngpunkten används. Axlarna  $ox$  och  $oz$  ligger i fpl symmetriplan. X-axeln är positiv framåt och z-axeln är positiv nedåt.



Utfärdad	Datum	Utgåva	Sida
----------	-------	--------	------

Beteckningar

$\alpha$	(rad)	anfallsvinkel
$\gamma$	(rad)	banvinkel
$\theta$	(rad)	tippvinkel, eulervinkeln mot horisontalplanet
$v$	(m/s)	fpl-hastighet
$q$	(rad/s)	tippinkelhastighet
$n_z$	(g)	z-acceleration vid accelerometerns placering
$N$	(N)	normalkraft
$T$	(N)	tangentialkraft
$F$	(N)	motordragkraft
$u$	(m/s)	hastighet i x-led
$w$	(m/s)	hastighet i z-led
$M_y$	(Nm)	aerodynamiska momentet kring y-axeln
$I_y$	(kgm <sup>2</sup> )	tröghetsmomentet kring y-axeln

Utfärdad	Datum	Utgåva	Sida

Om följande antagande gäller:

1. Rollvinkelhastighet och givinkelhastighet är noll.
2. Motordragkraften angriper genom tyngdpunkten och riktad i **x**-riktningen.

kan rörelseekvationerna skrivas:

$$m(\dot{u} + q w) = F - T - mg \sin \theta$$

$$m(\dot{w} - q u) = -N + mg \cos \theta$$

$$I_y \dot{q} = M_y$$

Dessa ekvationer kan lineariseras kring jämnviktsläget ( $u_o$ ,  $w_o$ ,  $\theta_o = \alpha_o$ ). Om alla avvikelser från jämnviktsläget  $\Delta u$ ,  $\Delta w$ ,  $\Delta \alpha$ ,  $q$  och  $\Delta \theta$  är små och kvadraten och produkten av dem kan försummas ger detta med motordragkraften F konstant:

$$m(\dot{u} + q w_o) = -\Delta T - mg \cos \theta_o \Delta \theta$$

$$m(\dot{w} - q u_o) = -\Delta N - mg \sin \theta_o \Delta \theta$$

$$I_y \dot{q} = \Delta M_y$$

Med fpl-hastigheten konstant =  $V_o$

och därav  $u_o = V_o \cos \theta_o$

$$w_o = V_o \sin \theta_o$$

kan ekvationerna skrivas:

$$m \dot{u} = -\Delta T - mg \cos \theta_o \Delta \theta - m V_o \sin \theta_o q$$

$$m \dot{w} = -\Delta N - mg \sin \theta_o \Delta \theta + m V_o \cos \theta_o q$$

$$I_y \dot{q} = \Delta M_y$$

Utfärdad	Datum	Utgåva	Sida
----------	-------	--------	------

$\Delta T$ ,  $\Delta N$  och  $\Delta My$  kan uttryckas med aerodynamiska derivator.

$$\Delta T = Tu \Delta u + T\dot{u} \dot{u} + Tw \Delta w + T\dot{w} \dot{w} + Tq q + T\dot{q} \dot{q} \Delta \delta_e$$

$$\Delta N = Nu \Delta u + N\dot{u} \dot{u} + Nw \Delta w + N\dot{w} \dot{w} + Nq q + N\dot{q} \dot{q} \Delta \delta_e$$

$$\Delta My = Mu \Delta u + M\dot{u} \dot{u} + Mw \Delta w + M\dot{w} \dot{w} + Mq q + M\dot{q} \dot{q} \Delta \delta_e$$

där  $Tu = \frac{\partial T}{\partial u} \Big|_{u=u_0}$  etc.

Detta ger följande lineariserad modell:

$$\begin{bmatrix} m + Tu & Tw & 0 & 0 \\ N\dot{u} & m+Nw & 0 & 0 \\ -M\ddot{u} & -M\dot{w} & I_y & 0 \\ 0 & 0 & 0 & 1 \end{bmatrix} \begin{bmatrix} \dot{u} \\ \dot{w} \\ \dot{q} \\ \dot{\theta} \end{bmatrix} = \begin{bmatrix} -Tu & -Tw & -mV_0 \sin \theta_0 & -Tq & -mg \cos \theta_0 \\ -Nu & -Nw & mV_0 \cos \theta_0 & -Nq & -mg \sin \theta_0 \\ Mu & Mw & Mq & 0 \\ 0 & 0 & 1 & 0 \end{bmatrix} \begin{bmatrix} \Delta u \\ \Delta w \\ \Delta q \\ \Delta \theta \end{bmatrix} \quad \begin{bmatrix} -T\delta_e \\ -N\delta_e \\ M\delta_e \\ 0 \end{bmatrix}$$

Ulförslag	Datum	Utgåva	Sida
-----------	-------	--------	------

4 ÖPPNA SYSTEMETS ÖVERFÖRINGSFUNKTIONER VID OLIKA FLYGFALL  
OCH MED 2:a ORDNINGENS FPL-MODELL

En förenklad 2:a ordningens fpl-modell erhålls ur den ursprungliga 4:e ordningens om inverkan från variablerna  $\Delta u$  och  $\Delta \theta$  försummas. Systemekvationerna blir då:

$$\dot{Lx} = Ax + B\delta e$$

där

$$L = \begin{bmatrix} m + Nw & 0 \\ -Mw & Iy \end{bmatrix} \quad A = \begin{bmatrix} -Nw & -Nq + mV_o \cos \theta_o \\ Mw & Mq \end{bmatrix}$$

$$B = \begin{bmatrix} -N\delta e \\ M\delta e \end{bmatrix} \quad X = \begin{bmatrix} \Delta w \\ q \end{bmatrix}$$

Överföringsfunktionerna  $\frac{q}{\delta e}$  och  $\frac{\Delta w}{\delta e}$  blir

$$\frac{q}{\delta e} = (01) (SL-A)^{-1} B = -kq \frac{STq + 1}{\left(\frac{S}{\omega_o}\right)^2 + 2 \left(\frac{S}{\omega_o}\right) + 1}$$

$$\frac{\Delta w}{\delta e} = (10) (SL-A)^{-1} B = -k\Delta_w \frac{ST \Delta_w + 1}{\left(\frac{S}{\omega_o}\right)^2 + 2 \left(\frac{S}{\omega_o}\right) + 1}$$

$$\omega_o^2 = \frac{Nw(-Mq) + (Nq - mV_o \cos \theta_o) Mw}{(m + Nw) Iy}$$

$$\xi = \frac{1}{2\omega_o} \left[ NwIy + (-Mq)(m + Nw) + (Nq - mV_o \cos \theta_o) Mw \right] \frac{1}{(m + Nw) Iy}$$

$$Kq = \frac{Mw N\delta e + Nw (-M\delta e)}{Nw (-Mq) + (Nq - mV_o \cos \theta_o) Mw}$$

(Forts.blad)

Utfärdad	Datum	Utgåva	Sida

$$K_{\Delta w} = \frac{(-M_q) N \delta e + (N_q - m V_o \cos \theta_o) M \delta e}{N_w (-M_q) + (N_q - m V_o \cos \theta_o) M_w}$$

$$T_q = \frac{M_w N \delta e + (m + N_w) (-M \delta e)}{M_w N \delta e + N_w (-M \delta e)}$$

$$T_{\Delta w} = \frac{I_y N \delta e}{(-M_q) N \delta e + (N_q - m V_o \cos \theta_o) M \delta e}$$

Flygplansunderlaget finns framtaget med dimensionlösa fpl-derivator, för vilka gäller:

$$N_w = C N_w \cdot \frac{1}{2} \int v_o S$$

$$N_q = C N_q \cdot \frac{1}{4} \int v_o S C$$

$$M_w = C M_w \cdot \frac{1}{2} \int v_o S C$$

$$M_q = C M_q \cdot \frac{1}{4} \int v_o S C^2$$

$$N \delta e = C N \delta e \cdot \frac{1}{2} \int v_o^2 S$$

$$M \delta e = C M \delta e \cdot \frac{1}{2} \int v_o^2 S C$$

$$N \dot{w} = C N \dot{w} \cdot \frac{1}{4} \int S C$$

$$M \dot{w} = C M \dot{w} \cdot \frac{1}{4} \int S C^2$$

(Forts.blad)  
 $\int$  kg/m<sup>3</sup> luftens densitet

S m<sup>2</sup> referensyta

C m referenslängd

Utfärdad	Datum	Utgåva	Sida
----------	-------	--------	------

$$\omega_o^2 = \frac{\rho V_o^2 S^2 C^2}{8 m I_y} - \frac{C_{Nw} (-CMq) + (C_{Nq} - \frac{4m}{\rho SC} \cos \theta_o) CMw}{1 + K \cdot C \cdot Nw}$$

$$\zeta = \frac{1}{2\omega_o} \frac{\rho V_o S}{2 m} \frac{C_{Nw} + (-CMq) \frac{mc^2}{I_y 2} (1+KC_{Nw}) + (C_{Nq} - \frac{4m}{\rho SC} \cos \theta_o) CMw \frac{\rho SC^3}{8 I_y}}{1 + K \cdot C \cdot Nw}$$

$$Kq = \frac{2V_o}{C} \frac{CMw \cdot CN\zeta e + CNw (-CM\zeta e)}{CNw (-CMq) + (C_{Nq} - \frac{4m}{\rho SC} \cos \theta_o) \cdot CMw}$$

$$K \Delta w = V_o \frac{(-CMq) CN\zeta e + (C_{Nq} - \frac{4m}{\rho SC} \cos \theta_o) CM\zeta e}{CNw (-CMq) + (C_{Nq} - \frac{4m}{\rho SC} \cos \theta_o) CMw}$$

$$Tq = \frac{2m}{\rho V_o S} \frac{CMw \cdot CN\zeta e \cdot \frac{S \rho C}{4m} + (-CM\zeta e) (1 + KC_{Nw})}{CMw CN\zeta e + CNw (-CM\zeta e)}$$

$$T \Delta w = \frac{4 I_y}{\rho V_o S C^2} \frac{CN\zeta e}{(-CMq) CN\zeta e + (C_{Nq} - \frac{4m}{\rho SC} \cos \theta_o) (+CM\zeta e)}$$

$$K = \frac{1}{4} \rho S C \frac{1}{m}$$

Utfärdad	Datum	Utgåva	Sida

Ekvationen för anfallsvinkelns  $\alpha$ 

För anfallsvinkelns  $\alpha$  gäller att

$$\alpha = \arctan \frac{w}{U}$$

Linearisering ger att vid små trimvinklar  $\alpha_0$  approximativt gäller

$$\Delta \alpha = \frac{\Delta w}{U_0} = \frac{\Delta w}{V_0 \cos \theta_0}$$

Överföringsfunktionen  $\frac{\Delta \alpha}{\delta_e}$  kan då skrivas

$$\frac{\Delta \alpha}{\delta_e} = -K \alpha \frac{S T \alpha + 1}{\left(\frac{S}{\omega_0}\right)^2 + 2 \zeta \left(\frac{S}{\omega_0}\right) + 1}$$

där  $K \alpha = K \Delta w \frac{1}{V_0 \cos \theta_0}$

$$T \alpha = T \Delta w$$

Ekvationen för lastfaktorn

Vid tyngdpunkten gäller för lastfaktorn

$$nzTp = \frac{\Delta N}{mg} = \frac{1}{mg} [N_w \cdot \Delta w + N_q \cdot q + N \delta_e \delta_e]$$

och vid accelerometerns placering  $\Delta x$  framför tyngdpunkten approximativt

$$nz = nzTp + \frac{\Delta x}{g} \cdot q$$

vilket ger att överföringsfunktionen  $\frac{nz}{\delta_e}$  kan skrivas:

Utfärdad	Datum	Utgåva	Sida
----------	-------	--------	------

$$\frac{\zeta_e}{\zeta_e} = -Knz \frac{b_1 s^2 + b_2 s+1}{(\frac{s}{\omega_0})^2 + 2 \xi (\frac{s}{\omega_0}) + 1}$$

där

$$Knz = \frac{1}{g} \left[ \frac{N_w}{m} k \Delta_w + \frac{N_g}{m} Kq - \frac{N \zeta_e}{m} \right]$$

$$b_2 = \frac{1}{Knz g} \left[ \Delta_x Kq Tq - \frac{N \zeta_e}{m} \frac{1}{\omega_0^2} \right]$$

$$b_1 = \frac{1}{Knz g} \left[ \frac{N_w}{m} K \Delta_w T \Delta_w + \Delta_x Kq + \frac{N_g}{m} Kq Tq - \frac{N \zeta_e}{m} \frac{2 \xi}{\omega_0} \right]$$

### Flygplansderivator

Underlaget består av de dimensionlösa fpl-derivatorna för JA37. Genom att ändra nosvingens utformning får ett extra tilläggsmoment till derivatan  $C_m \alpha$  vilket gör att  $C_m \alpha$  blir mindre negativ och flygplanets statiska stabilitet reduceras.

Derivatorna är givna vid ett tyngdpunktsläge. För andra tyngdpunktslägen ändras en del fpl derivator enl följande ekvation:

$$CNq = (CNq)_1 - 2 \frac{\Delta x}{C} CNw$$

$$CMw = (CMw)_1 + \frac{\Delta x}{C} CNw$$

$$CM\alpha = (CM\alpha)_1 + \frac{\Delta x}{C} (CN\alpha)_1$$

$$CMq = (CMq)_1 - \frac{\Delta x}{C} [2(CMw)_1 - (CNq)_1] - 2(\frac{\Delta x}{C})^2 (CNw)_1$$

$$CM\zeta_e = (CM\zeta_e)_1 + \frac{\Delta x}{C} (CN\zeta_e)_1$$

där index 1 står för ursprungliga tyngdpunktsläget och  $\Delta x$  är tyngdpunktslägets ändring (positiv bakåt).

Uttarded	Datum	Utgåva	Sida
----------	-------	--------	------

Överföringsfunktionerna  $\frac{q}{S_e}$ ,  $\frac{\alpha}{S_e}$  och  $\frac{nz}{S_e}$

Överföringsfunktionerna har beräknats för följande flygfall

Tyngdpunkt 1: 12.350

Tyngdpunkt 2: 12.500

vid Machtal M = 0.2, M = 0.4 och M = 0.9

$$\underline{M = 0.2}$$

Tp 1:

$$\frac{q}{S_e} = - 12.1 \frac{s \cdot 1.63 + 1}{\left(\frac{s}{0.426}\right)^2 + 2 \cdot 1.49 \left(\frac{s}{0.426}\right) + 1}$$

$$\frac{\alpha}{S_e} = - 19.7 \frac{s \cdot 0.0387 + 1}{\left(\frac{s}{0.426}\right)^2 + 2 \cdot 1.49 \left(\frac{s}{0.426}\right) + 1}$$

$$\frac{nz}{S_e} = - 80.3 \frac{0.040 s^2 + 0.0086 s + 1}{\left(\frac{s}{0.426}\right)^2 + 2 \cdot 1.49 \left(\frac{s}{0.426}\right) + 1}$$

Tp 2:

$$\frac{q}{S_e} = - 5.52 \frac{s \cdot 1.57 + 1}{(s \cdot 0.665 + 1)(s \cdot 3.79 - 1)}$$

$$\frac{\alpha}{S_e} = - 8.66 \frac{s \cdot 0.0200 + 1}{(s \cdot 0.665 + 1)(s \cdot 3.79 - 1)}$$

$$\frac{nz}{S_e} = - 36.7 \frac{0.040 s^2 + 0.0094 s + 1}{(s \cdot 0.665 + 1)(s \cdot 3.79 - 1)}$$

(Forts.blad)

Utfärdad	Datum	Utgåva	Sida
----------	-------	--------	------

$$\underline{M = 0.4}$$

Tp 1:

$$\frac{q}{\mathcal{S}e} = - 28.4 \frac{s \cdot 1.20 + 1}{(\frac{s}{0.649})^2 + 2 \cdot 1.60 (\frac{s}{0.649}) + 1}$$

$$\frac{\alpha}{\mathcal{S}e} = - 33.8 \frac{s \cdot 0.0193 + 1}{(\frac{s}{0.649})^2 + 2 \cdot 1.60 (\frac{s}{0.649}) + 1}$$

$$\frac{nz}{\mathcal{S}e} = - 390 \frac{0.0255 s^2 + 0.0025 s + 1}{(\frac{s}{0.649})^2 + 2 \cdot 1.60 (\frac{s}{0.649}) + 1}$$

Tp 2:

$$\frac{q}{\mathcal{S}e} = - 8.70 \frac{s \cdot 1.15 + 1}{(s \cdot 0.391 + 1) (s \cdot 1.86 - 1)}$$

$$\frac{\alpha}{\mathcal{S}e} = - 9.93 \frac{s \cdot 0.0200 + 1}{(s \cdot 0.391 + 1) (s \cdot 1.86 - 1)}$$

$$\frac{nz}{\mathcal{S}e} = - 119 \frac{0.0256 s^2 + 0.0028 s + 1}{(s \cdot 0.391 + 1) (s \cdot 1.86 - 1)}$$

$$\underline{M = 0.9}$$

Tp 1:

$$\frac{q}{\mathcal{S}e} = - 9.31 \frac{s \cdot 0.546 + 1}{(\frac{s}{4.00})^2 + 2 \cdot 0.694 (\frac{s}{4.00}) + 1}$$

$$\frac{\alpha}{\mathcal{S}e} = - 4.80 \frac{s \cdot 0.0062 + 1}{(\frac{s}{4.0})^2 + 2 \cdot 0.694 (\frac{s}{4.0}) + 1}$$

$$\frac{nz}{\mathcal{S}e} = - 285 \frac{0.0290 s^2 + 0.0020 s + 1}{(\frac{s}{4.0})^2 + 2 \cdot 0.694 (\frac{s}{4.0}) + 1}$$

(Forts.blad)

Utfärdad	Datum	Utgåva	Sida
----------	-------	--------	------

Tp 2:

$$\frac{q}{\sigma_e} = -23.0 \frac{s \cdot 0.529 + 1}{(\frac{s}{2.54})^2 + 2 \cdot 1.063 (\frac{s}{2.54}) + 1}$$

$$\frac{\alpha}{\sigma_e} = -11.7 \frac{s \cdot 0.0063 + 1}{(\frac{s}{2.54})^2 + 2 \cdot 1.063 (\frac{s}{2.54}) + 1}$$

$$\frac{n_z}{\sigma_e} = -712 \frac{0.028 s^2 + 0.0020 s + 1}{(\frac{s}{2.54})^2 + 2 \cdot 1.063 (\frac{s}{2.54}) + 1}$$

Ur överföringsfunktionerna ovan fås att då tyngdpunktsläget flyttas bakåt minskar stabiliteten och vid  $M = 0.2$  och  $M = 0.4$  finns en instabil mod med fördubblingstid:

$$M = 0.2 \quad t = 2.63 \text{ [s]} \quad t_{2/1}$$

$$M = 0.4 \quad t = 1.29 \text{ [s]} \quad t_{2/1}$$

Utdradd	Datum	Utgåva	Sida

## 5 SPECIFIKATIONER

Specifikationer för egenfrekvens och dämpning för tippsvängning finns angivna i MIL-F-8785B (ASG) för 3 olika nivåer.

Nivå 1 är den högsta nivån och medger genomförande av uppdraget med god prestanda.

Nivå 3 är den lägsta nivån där piloten fortfarande säkert kan kontrollera flygplanet och landa planet men detta med stor arbetsinsats.

Dämpning  $\zeta_{nsp}$  och egenfrekvens finns angivna nedan. Kategori A gäller vid normal flygning och C vid landning.

Gränserna för  $\omega_{nsp}$  är angivna som funktion av  $nz/\alpha$  som står för den statiska lastfaktorändringen per ändring i anfallsvinkel.

$nz/\alpha$  kan erhållas enl tidigare samband:

$$\frac{nz}{\alpha} = \frac{\frac{nz}{\zeta_e}}{\frac{d}{\zeta_e}} \Big|_{ss} = \frac{Knz}{K\alpha} = \frac{Knz}{K \Delta_w \frac{1}{V_o \cos \theta_o}}$$

$$= \frac{\frac{1}{g} V_o \cos \theta_o Kq}{K \Delta_w \frac{1}{V_o \cos \theta_o}} = \frac{1}{g} (V_o \cos \theta_o)^2 \frac{Kq}{K \Delta_w}$$

och i dimensionlösa derivator:

$$\frac{nz}{\alpha} = \frac{(V_o \cos \theta_o)^2}{g} \cdot \frac{2 [(CM_w \cdot CN \zeta_e + CN_w (-CM \zeta_e)]}{C [Cm_q \cdot CN \zeta_e + (CN_q - \frac{4m}{J \cdot sc} \cos \theta_o) CM \zeta_e]}$$

(Forts.blad)

Utfärdad	Datum	Utgåva	Sida
----------	-------	--------	------

Insatta värden ger för de 6 olika flygfallen följande nz/ $\alpha$ :

	M = 0.2	M = 0.4	M = 0.9	
Tp 1	4.08	11.5	60.1	g/rad
Tp 2	4.23	12.0	61.1	- " -

Enligt bifogade diagram ur MIL 8785 B ger detta vid de olika nivåerna tillåtna värden på egenfrekvensen:

Nivå	M = 0.2	M = 0.4	M = 0.9	
1	0.85 - 3.8	1.8 - 6.5	4.1 - 14.7	rad/s
2	0.64 - 6.4	1.4 - 10.7	3.1 - 24.5	- " -
3	0.64 -	1.4 -	3.1 -	- " -

Bästa värden:  $\zeta_{sp} = 0.7$ ,  $\frac{\omega_{nsp}^2}{n/\alpha} = 1$

$$M = 0.2 \quad \omega_{nsp} = 2.0 \quad [\text{rad/s}]$$

$$M = 0.4 \quad \omega_{nsp} = 3.4 \quad [\text{rad/s}]$$

$$M = 0.9 \quad \omega_{nsp} = 7.8 \quad [\text{rad/s}]$$

### 3.2.2 Longitudinal maneuvering characteristics.

3.2.2.1 Short-period response. The short-period response of angle of attack which occurs at approximately constant speed, and which may be produced by abrupt elevator control inputs, shall meet the requirements of 3.2.2.1.1 and 3.2.2.1.2. These requirements apply, with the cockpit control free and with it fixed, for responses of any magnitude that might be experienced in service use. If oscillations are nonlinear with amplitude, the requirements shall apply to each cycle of the oscillation. In addition to meeting the numerical requirements of 3.2.2.1.1 and 3.2.2.1.2, the contractor shall show that the airplane has acceptable response characteristics in atmospheric disturbances.

3.2.2.1.1 Short-period frequency and acceleration sensitivity. The short-period undamped natural frequency,  $\omega_{nSP}$ , shall be within the limits shown in figures 1, 2, and 3. If suitable means of directly controlling normal force are provided, the lower bounds on  $\omega_{nSP}$  and  $n/a$  of figure 3 may be relaxed if approved by the procuring activity.

3.2.2.1.2 Short-period damping. The short-period damping ratio,  $\zeta_{SP}$ , shall be within the limits of table IV.

TABLE IV. Short-period Damping Ratio Limits

Level	Category A and C Flight Phases		Category B Flight Phases	
	Minimum	Maximum	Minimum	Maximum
1	0.35	1.30	0.30	2.00
2	0.25	2.00	0.20	2.00
3	0.15*	—	0.15*	—

\*May be reduced at altitudes above 20,000 feet if approved by the procuring activity.

3.2.2.1.3 Residual oscillations. Any sustained residual oscillations shall not interfere with the pilot's ability to perform the tasks required in service use of the airplane. For Levels 1 and 2, oscillations in normal acceleration at the pilot's station greater than  $\pm 0.05g$  will be considered excessive for any Flight Phase, as will pitch attitude oscillations greater than  $\pm 3$  mils for Category A Flight Phases requiring precision control of attitude. These requirements shall apply with the elevator control fixed and with it free.

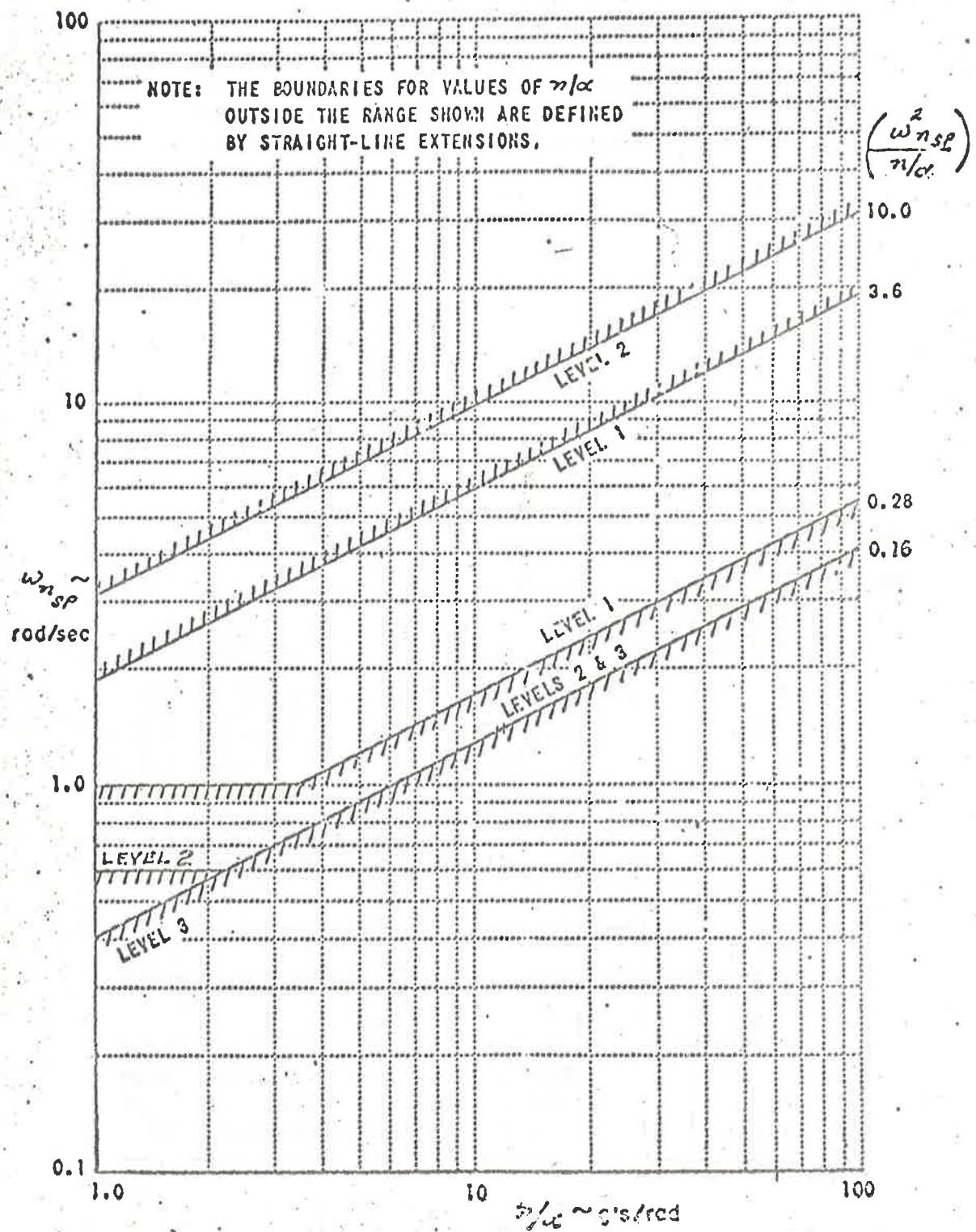


FIGURE 1. Short-Period Frequency Requirements - Category A Flight Phases

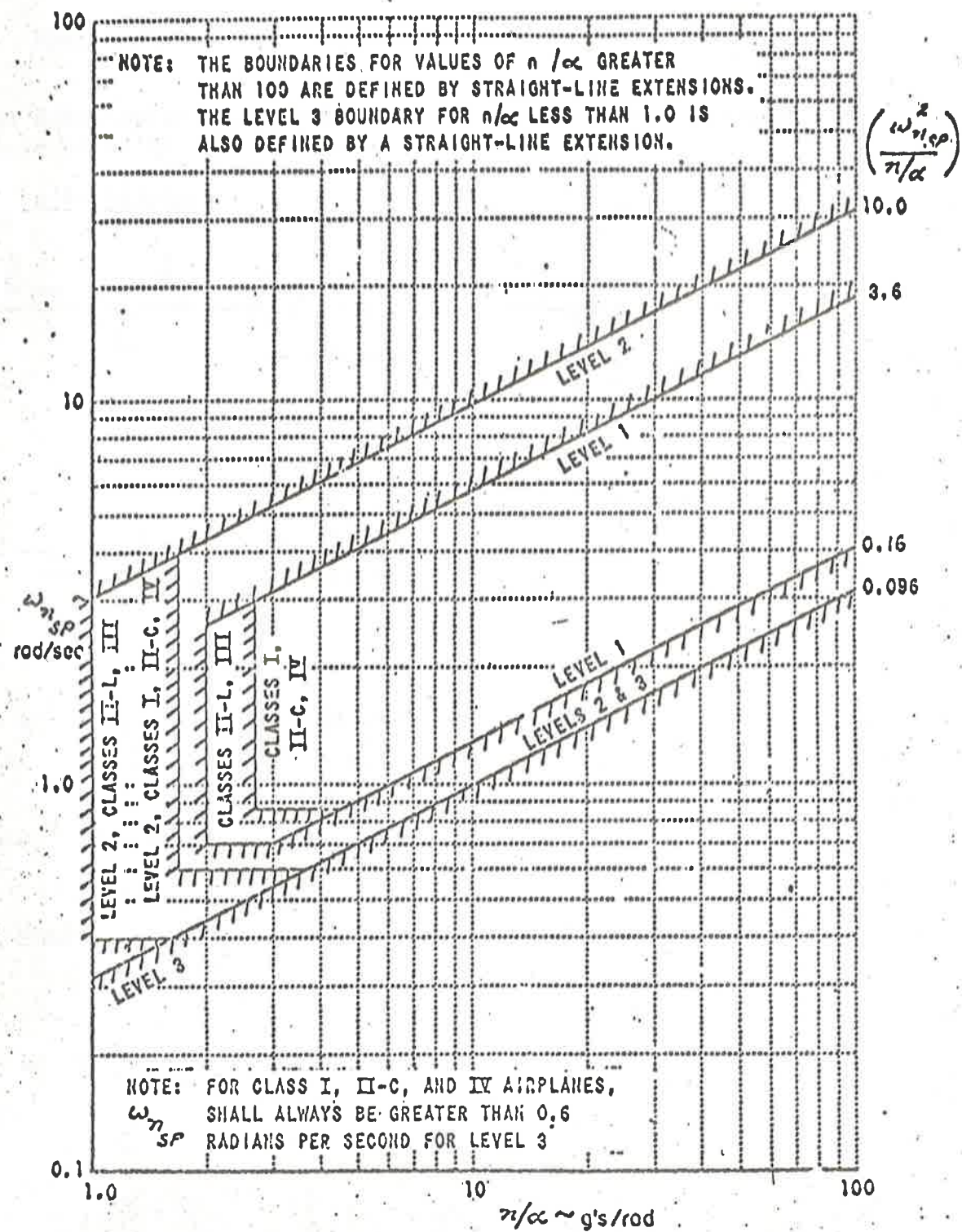
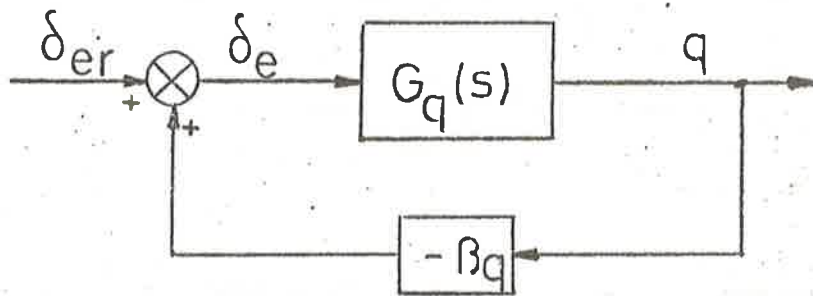


FIGURE 3. Short-Period Frequency Requirements - Category C Flight Phases

Utfärdad	Datum	Utgåva	Sida
----------	-------	--------	------

## 6 ENKELT ÅTERKOPPLAT SYSTEM UTAN SERVON OCH GIVARDYNAMIK

Med enkel återkoppling blir uttrycket för egenfrekvens och dämpning för de olika givaretyperna.

A q-återföring

$$\frac{q}{\delta_{er}} = - \frac{K_q (STq + 1)}{\left(\frac{S}{\omega_0}\right)^2 + 2\xi\left(\frac{S}{\omega_0}\right) + 1 + K_q B_q (STq + 1)}$$

$$= - K_q' \frac{(STq + 1)}{\left(\frac{S}{\omega_{nsp}}\right)^2 + 2\xi_{nsp}\left(\frac{S}{\omega_{nsp}}\right) + 1}$$

$$\omega_{nsp}^2 = \omega_0^2 (1 + B_q K_q)$$

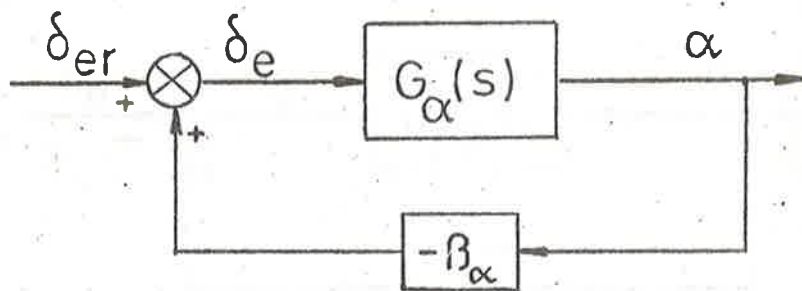
$$\xi_{nsp} = \frac{\omega_{nsp}}{2} \frac{\frac{2\xi}{\omega_0} + B_q k_q T_q}{(1 + B_q K_q)}$$

$$K_q' = K_q \frac{1}{1 + B_q k_q}$$

(Forts.blad)

Utfördad	Datum	Utgåva	Sida
----------	-------	--------	------

B

 $\alpha$ -återföring

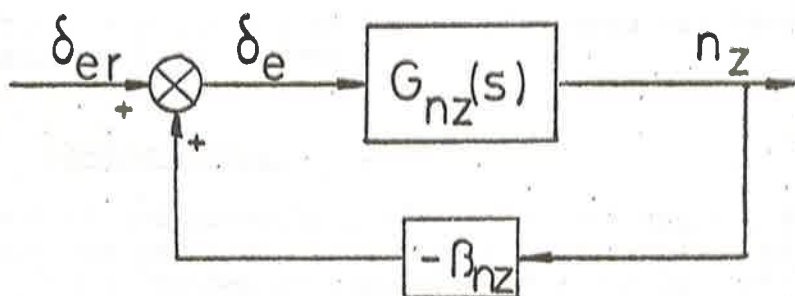
$$\frac{\alpha}{\delta_e} = - \frac{K\alpha (ST\alpha + 1)}{(\frac{S}{\omega_0})^2 + 2 \zeta (\frac{S}{\omega_0}) + 1 + K\alpha B\alpha (ST\alpha + 1)}$$

$$= - K\alpha' \cdot \frac{ST\alpha + 1}{(\frac{S}{\omega_{nsp}})^2 + 2 \zeta_{nsp} (\frac{S}{\omega_{nsp}}) + 1}$$

$$\omega_{nsp}^2 = \omega_0^2 (1 + B\alpha K\alpha)$$

$$\zeta_{nsp} = \frac{\omega_{nsp}}{2} \cdot \frac{\frac{2\zeta}{\omega_0} + B\alpha K\alpha T\alpha}{(1 + B\alpha K\alpha)}$$

Utfärdad	Datum	Utgåva	Sida
----------	-------	--------	------

C nz-återföring

$$\frac{n_z}{\delta_e} = - \frac{K_{nz} (b_2 s^2 + b_1 s + 1)}{\left(\frac{s}{\omega_0}\right)^2 + 2 \zeta \left(\frac{s}{\omega_0}\right) + 1 + B_{nz} K_{nz} (b_2 s^2 + b_1 s + 1)}$$

$$= - K_{nz} \frac{b_2 s^2 + b_1 s + 1}{\left(\frac{s}{\omega_{nsp}}\right)^2 + 2 \zeta_{nsp} \left(\frac{s}{\omega_{nsp}}\right)^2 + 1}$$

$$\omega_{nsp}^2 = \omega_0^2 \frac{1 + B_{nz} K_{nz}}{1 + B_{nz} K_{nz} b_2 \omega_0^2}$$

$$\zeta_{nsp} = \frac{\omega_0}{2} \frac{2 \zeta + B_{nz} K_{nz} b_1}{(1 + B_{nz} K_{nz})}$$

(Fortsätt)

I diagram 1 - 3 är egenfrekvens och dämpning inritade som funktion av återkopplingen. Dessutom är de tillåtna gränserna vid de olika nivåerna markerade.

Utfärdad	Datum	Utgåva	Sida

### 6.1 En givare och konstant förstärkning

I diagram 4 - 6 är för olika värden på återkoppling egenfrekvens och dämpning inritade som funktion av Machtal. Detta gäller vid tyngdpunkt 1.

I diagram 7 - 9 kan man se hur egenfrekvens och dämpning varierar då tyngdpunktsläget ändras.

#### A q-återföring

Med konstant q-återkoppling går det ej att uppnå nivå 2 vid alla fpl-fall. För att ligga inom nivå 3 måste värdet på  $B_q$  vara större än 0.4. Detta bestäms av flygfallet  $M = 0.2 T_p 1$ . För att  $\omega_{nsp}$  ej skall överstiga 2.0 för mycket bör  $B_q$  vara så litet som möjligt. För  $B_q = 0.4$  varierar dämpningen från 1.3 vid flygfall  $M = 0.2 T_p 1$  till 2.3 vid flygfall  $M = 0.9 T_p 2$ .

$\frac{\omega_{nsp}^2}{n\beta}$  kommer att variera från undre gränsen 0.10 vid  $M = 0.2 T_p 2$  till 1.25 vid  $M = 0.9 T_p 1$ .

Jämfört med systemet utan återkoppling är nu systemet stabilt vid alla fpl-fall. Emellertid har dämpningen ökat kraftigt och ett trögt system erhållits.

#### B $\alpha$ -återföring

Med konstant  $\alpha$ -återkoppling går det bra att uppnå nivå 1. För detta krävs att  $B_\alpha$  ligger mellan 0.3 och 0.6. För  $B_\alpha = 0.4$  varierar dämpningen från 0.42 vid  $M = 0.9 T_p 1$  till 0.65 vid  $M = 0.2 T_p 2$ .

$\frac{\omega_{nsp}^2}{n\beta}$  varierar från 0.23 vid  $M = 0.2 T_p 2$  till 0.77 vid  $M = 0.9 T_p 1$ .

Jämfört med q-återföring är detta betydligt bättre med bra dämpning och egenfrekvenserna väl inom nivå 1-gränserna.

Uttärdad	Datum	Utgåva	Sida

C nz-återföring

Med konstant nz-återkoppling kan nivå 2 uppfyllas. Värdet på återkopplingen måste då ligga inom 0.07 och 0.10. För  $B_{nz} = 0.07$  varierar dämpning från 0.32 vid  $M = 0.9$  till 0.78 vid  $M = 0.2$ .

$\frac{\omega_{nsp}^2}{n/\alpha}$  varierar från undre gränsen 0.1 vid  $M = 0.2$  till 3.6 vid  $M = 0.9$ .

Bästa alternativet med konstant förstärkning är att använda en  $\alpha$ -givare och med  $B_\alpha = 0.4$  (se diagram 10).

6.2 En givare och variabel förstärkning

Genom att införa en återkoppling som beror av flyghastigheten kan systemet förbättras.

A Variabel q-återföring

Nivå 2 går ej att uppfylla men en viss förhöjning erhålls om  $B_q$  varierar enligt

$B_q = 0.6$  vid  $M = 0.2$

$B_q = 0.4$  vid  $M = 0.4$

$B_q = 0.2$  vid  $M = 0.9$

Dämpningen är fortfarande hög och varierar för de olika flygfallen mellan 1.7 och 2.1. Egenfrekvenserna har dock förbättrats och  $\frac{\omega_{nsp}^2}{n/\alpha}$  varierar nu mellan 0.3 - 0.8.

B Variabel  $\alpha$ -återföring

Dämpningen vid  $M = 0.9$  går nu att öka om förstärkningen minskas vid  $M = 0.9$ .

Med  $B_\alpha = 0.6$  vid  $M = 0.2$

$B_\alpha = 0.4$  vid  $M = 0.4$

$B_\alpha = 0.2$  vid  $M = 0.9$

varierar dämpningen mellan 0.43 - 0.59 och  $\frac{\omega_{nsp}^2}{n/\alpha}$  mellan 0.33 - 0.57.

Utfärdad	Datum	Utgåva	Sida

C Variabel nz-återföring

Genom en kraftig variation i förstärkningen förbättras systemet avsevärt och nivå 1 går att uppnå.

Med  $B_{nz} = 0.2$  vid  $M = 0.2$

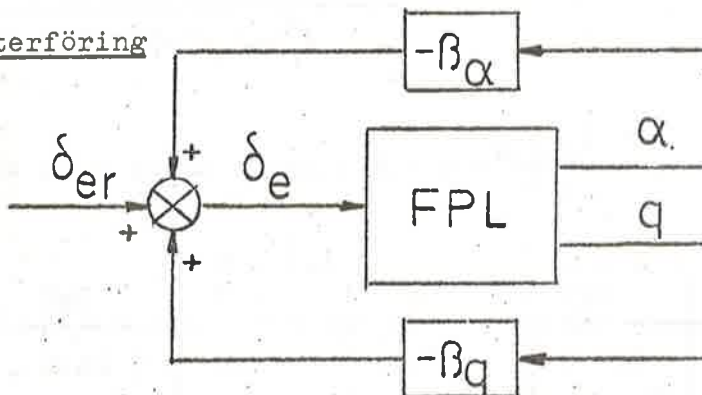
$B_{nz} = 0.05$  vid  $M = 0.4$

$B_{nz} = 0.01$  vid  $M = 0.9$

varierar dämpning vid de olika flygfallen mellan 0.39 - 0.45

och  $\frac{\omega_{nsp}^2}{n\alpha}$  mellan 0.55 - 0.88.

Bästa alternativet med variabel förstärkning blir liksom tidigare med en  $\alpha$ -givare (se diagram 11).

6.3 TVÅ GIVARE OCH VARIABEL FÖRSTRÄKNINGA  $\alpha, \alpha$ -återföring

Uttrycken för egenfrekvens och dämpning för tippsvängning blir:

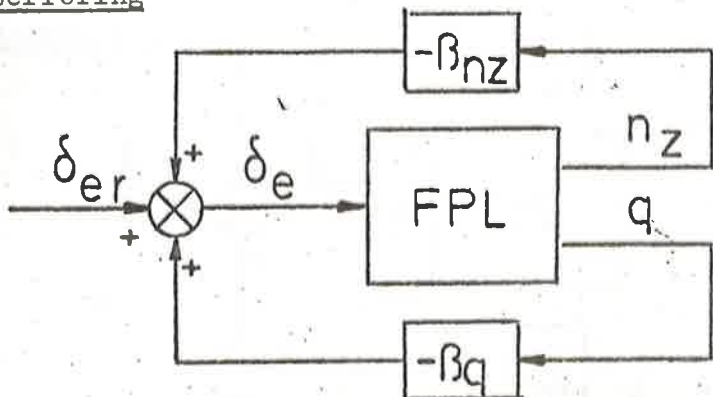
$$\omega_{nsp}^2 = \omega_0^2 (T + B\alpha K\alpha + Bq Kq)$$

$$\zeta_{nsp} = \frac{\omega_{nsp}}{2} \frac{\left(\frac{2\gamma}{\omega_0} + B\alpha K\alpha T\alpha + Bq Kq Tq\right)}{\left(1 + B\alpha K\alpha + Bq Kq\right)}$$

Genom att välja  $\zeta_{nsp} = 0.7$  och  $\frac{\omega_{nsp}^2}{n\alpha} = 1$  kan  $Bq$  och  $B\alpha$  beräknas för de olika flygfallen.

	$M = 0.2$		$M = 0.4$		$M = 0.9$	
	Tp1	Tp2	Tp1	Tp2	Tp1	Tp2
$Bq$	0.41	0.43	0.17	0.19	0.063	0.067
$B\alpha$	0.84	1.07	0.63	0.81	0.45	0.59

Utfärdad	Datum	Utgåva	Sida
----------	-------	--------	------

B q, nz-återföringFör  $\omega_{nsp}$  och  $\xi_{nsp}$  gäller

$$\omega_{nsp}^2 = \omega_0^2 \frac{1 + Bq Kq + Bnz Knz}{1 + B_1 Knz b_2 \omega_0^2}$$

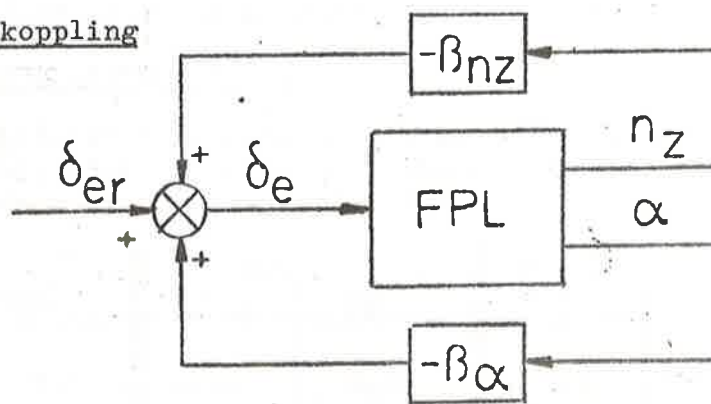
$$\xi_{nsp} = \frac{\omega_{nsp}}{2} \frac{\frac{2\zeta}{\omega_0} + Bq Kq Tq + Bq Knz b_1}{(1 + B_1 Knz b_2 \omega_0^2)}$$

Liksom i föregående fall sätts  $\xi_{nsp} = 0.7$  och  $\frac{\omega_{nsp}^2}{n/\zeta} = 1$ .  
Detta ger:

	M = 0.2 Tp1	Tp2	M = 0.4 Tp1	Tp2	M = 0.9 Tp1	Tp2
Bq	0.42	0.46	0.18	0.20	0.062	0.067
Bnz	0.21	0.26	0.056	0.070	0.009	0.011

Utfärdad	Datum	Utgåva	Sida
----------	-------	--------	------

C

 $\alpha$ , nz-återkopplingFör  $\omega_{nsp}$  och  $\varphi_{nsp}$  gäller:

$$\omega_{nsp}^2 = \omega_0^2 \frac{1 + B\alpha K\alpha + B_{nz} K_{nz}}{1 + B_{nz} K_{nz} b_2 \omega_0^2}$$

$$\varphi_{nsp} = \frac{\omega_{nsp}}{2} \frac{\frac{2\dot{\alpha}}{\omega_0} + B\alpha K\alpha T\alpha + B_{nz} K_{nz} b_1}{1 + B_{nz} K_{nz} b_2 \omega_0^2}$$

Ett försök att lösa ut  $B\alpha$  och  $B_{nz}$  med  $\varphi_{nsp} = 0.7$  och  $\frac{\omega_{nsp}^2}{n/\alpha} = 1$  resulterade att vid vissa flygfall  $B\alpha$  eller  $B_{nz}$  blev negativ.

Bästa alternativet med 2 givare och variabla förstärkningar borde vara med  $q-\alpha$ -givare. Detta ger mindre ändringar i förstärkningarna än fallet med  $q-nz$  givare (se diagram 12).

Utfördad	Datum	Utgåva	Sida
----------	-------	--------	------

6.4 Två givare och konstant förstärkningA Konstant q- $\alpha$ -återkoppling

Med variabla återkopplingar varierade  $B_q$  mellan 0.06 - 0.43 och  $B_\alpha$  mellan 0.45 - 1.07. Lämpliga konstanta värden borde därför vara:  $B_q = 0.2$  och  $B_\alpha = 0.7$ . Dessa värden gav:

	M = 0.2 Tp1	Tp2	M = 0.4 Tp1	Tp2	M = 0.9 Tp1	Tp2
$\omega_{nsp}$	1.77	1.56	3.57	3.26	10.0	9.4
$f_{nsp}$	0.59	0.65	0.72	0.79	1.11	1.13

Dessa värden ligger klart inom nivå 1 gränserna och har jämfört med fallet enbart  $\alpha$ -givare bättre värden på både dämpning och egenfrekvens (se diagram 13).

B Konstant q-nz-återkoppling

Enligt föregående varierade  $B_q$  mellan 0.06 - 0.46 och  $B_{nz}$  mellan 0.01 - 0.26. Med  $B_q = 0.2$  och  $B_{nz} = 0.06$  uppfylls precis nivå 1. Emellertid varierar  $\omega_{nsp}$  kraftigt från 0.2 till 3.4 medan dämpningen är bra med värden mellan 0.65 - 1.0.

Sammanfattning

## En givare:

Med konstant förstärkning är  $\alpha$ -återföring den bästa som tom uppfyller nivå I med  $B=0.4$ . Främsta nackdelen med denna konfiguration är att dämpningen blir ganska låg vid högre hastigheter.

Denna kan förbättras något om återkopplingen varierar med fpl-hastigheten (se diagram II).

## Två givare:

Med variabla förstärkningar är det möjligt att uppnå önskade värden på tippsvängningens egenfrekvens och dämpning dels med kombinationen q- och  $\alpha$ -återföring och dels med n- och q-återföring. Den förra kombinationen är att föredra eftersom den kräver mindre variationer i förstärkningarna (se diagram I2).

Med konstanta förstärkningar uppfylls nivå I med q- och  $\alpha$ -återföring med  $B=0.2$  och  $B=0.7$ . Fördelen med denna konfiguration jämfört med enbart konstant  $\alpha$ -återföring är bättre dämpning vid högre hastigheter (se diagram I3).

Utfärdad	Datum	Utgåva	Sida
----------	-------	--------	------

7

## ÖPPNA SYSTEMETS ÖVERFÖRINGSFUNKTIONER VID OLIKA FLYGFALL OCH MED 3:E ORDNINGENS FLYGPLANSMODELL

Om man förutom variablerna  $q$  och  $\Delta w$  tar hänsyn till  $\Delta \theta$  erhålls ett 3:e ordningens system med ekvationerna:

$$\begin{bmatrix} 1 + N\dot{w}/m & 0 & 0 \\ -M\dot{w}/I_y & 1 & 0 \\ 0 & 0 & 1 \end{bmatrix} \begin{bmatrix} \dot{w} \\ \dot{q} \\ \dot{\theta} \end{bmatrix} = \begin{bmatrix} -Nw/m & V_0 \cos \theta_0 - Nq/m & -g \sin \theta_0 \\ Mw/I_y & Mq/I_y & 0 \\ 0 & 1 & 0 \end{bmatrix} \begin{bmatrix} \Delta w \\ q \\ \Delta \theta \end{bmatrix} + \begin{bmatrix} -N \delta e/m \\ M \delta e/m \\ 0 \end{bmatrix} \delta e$$

Med sambanden

$$n_z = \frac{1}{g} \left[ \frac{N_w}{m} \Delta w + \frac{N_q}{m} q + \Delta x \dot{q} + \frac{N \delta e}{m} \delta e \right]$$

$$\Delta \alpha = \frac{\Delta w}{V_0 \cos \theta_0}$$

kan överföringsfunktionerna  $\frac{q}{\delta_e}$ ,  $\frac{\alpha}{\delta_e}$  och  $\frac{n_z}{\delta_e}$  beräknas.  
Detta har gjorts för de 6 olika flygfallen med hjälp av egenvärdesprogram.

M = 0.2 Tp. 1

$$\frac{q}{\delta_e} = -3.58 \frac{(s + 0.610) s}{(s + 0.231) (s + 1.027) (s + 0.0123)}$$

$$\frac{\alpha}{\delta_e} = -0.138 \frac{(s + 25.9) (s + 0.0412)}{(s + 0.231) (s + 1.027) (s + 0.0123)}$$

$$\frac{n_z}{\delta_e} = -0.125 \frac{(s^2 + 4.69s + 117) (s + 0.0411)}{(s + 0.231) (s + 1.027) (s + 0.0123)}$$

M = 0.2 Tp 2

$$\frac{q}{\delta_e} = -3.45 \frac{(s + 0.633) s}{(s + 1.473) (s^2 - 2 \cdot 0.860 \cdot 0.134 + 0.134^2)}$$

$$\frac{\alpha}{\delta_e} = -0.138 \frac{(s + 24.9) (s - 0.0411)}{(s + 1.473) (s^2 - 2 \cdot 0.860 \cdot 0.134 + 0.134^2)}$$

$$\frac{n_z}{\delta_e} = -0.137 \frac{(s^2 + 4.30s + 106) (s - 0.0411)}{(s + 1.473) (s^2 - 2 \cdot 0.860 \cdot 0.134 + 0.134^2)}$$

Utfärdad	Datum	Utgåva	Sida
----------	-------	--------	------

M = 0.4 Tp 1

$$\frac{q}{\delta_e} = -14.4 \frac{(s + 0.823)s}{(s^2 + 2 \cdot 0.990 \cdot 1.052s + 1.052^2)(s - 0.0011)}$$

$$\frac{\alpha}{\delta_e} = -0.276 \frac{(s + 51.8)(s - 0.0073)}{(s^2 + 2 \cdot 0.990 \cdot 1.052s + 1.052^2)(s - 0.0011)}$$

$$\frac{n_z}{\delta_e} = -0.410 \frac{(s^2 + 10.1s + 396)(s - 0.0073)}{(s^2 + 2 \cdot 0.990 \cdot 1.052s + 1.052^2)(s - 0.0011)}$$

M = 0.4 Tp 2

$$\frac{q}{\delta_e} = -13.8 \frac{(s + 0.859)s}{(s + 2.327)(s - 0.287)(s - 0.0179)}$$

$$\frac{\alpha}{\delta_e} = -0.276 \frac{(s + 49.9)(s - 0.0073)}{(s + 2.327)(s - 0.287)(s - 0.0179)}$$

$$\frac{n_z}{\delta_e} = -0.461 \frac{(s^2 + 9.06s + 353)(s - 0.0073)}{(s + 2.327)(s - 0.287)(s - 0.0179)}$$

M = 0.9 Tp 1

$$\frac{q}{\delta_e} = -80.9 \frac{(s + 1.901)s}{(s^2 + 2 \cdot 0.719s + 3.852)(s - 0.00001)}$$

$$\frac{\alpha}{\delta_e} = -0.487 \frac{(s + 164.3)(s - 0.00036)}{(s^2 + 2 \cdot 0.719s + 3.852)(s - 0.00001)}$$

$$\frac{n_z}{\delta_e} = -8.93 \frac{(s^2 + 15.0s + 535)(s - 0.00035)}{(s^2 + 2 \cdot 0.719s + 3.852)(s - 0.00001)}$$

M = 0.9 Tp 2

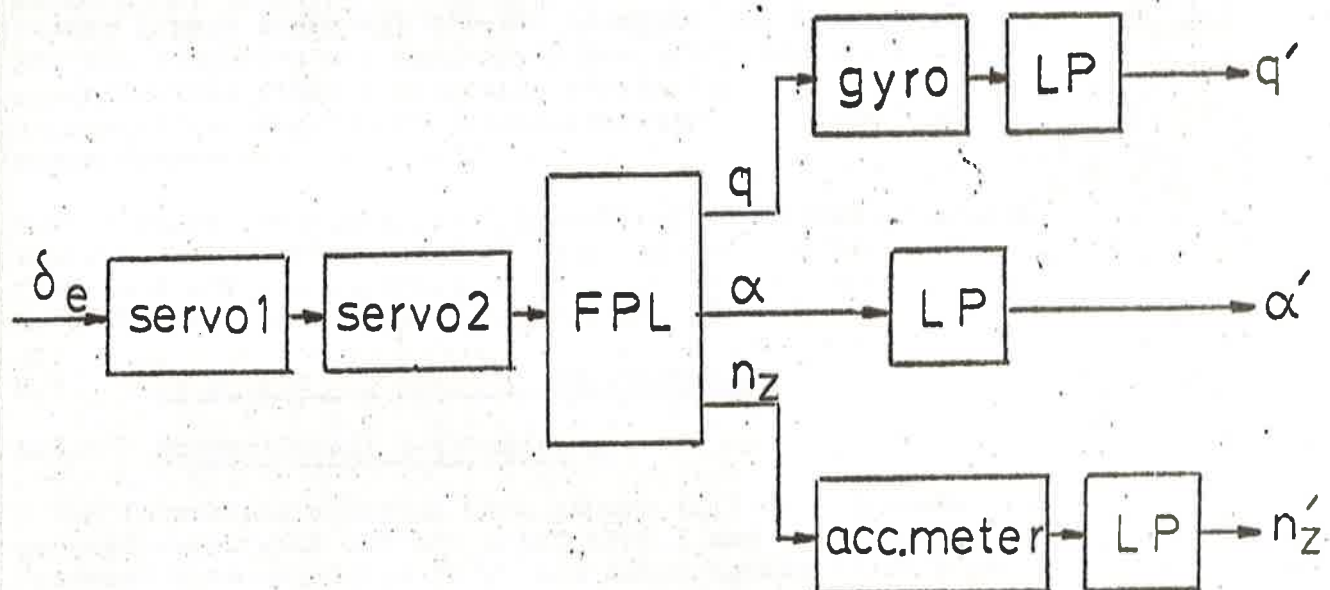
$$\frac{q}{\delta_e} = -78.2 \frac{(s + 1.961)s}{(s + 1.156)(s + 4.22)(s + 0.0005)}$$

$$\frac{\alpha}{\delta_e} = -0.487 \frac{(s + 158.8)(s - 0.0035)}{(s + 1.156)(s + 4.22)(s + 0.0005)}$$

$$\frac{n_z}{\delta_e} = -9.30 \frac{(s^2 + 14.1s + 512)(s - 0.00035)}{(s + 1.156)(s + 4.22)(s + 0.0005)}$$

Utfärdad	Datum	Utgåva	Sida
----------	-------	--------	------

8 ÅTERKOPPLAT SYSTEM MED SERVON OCH GIVARDYNAMIK OCH  
MED HÄNSYN TILL BODYBENDINGKRAVEN



8.1 Servo och givaredynamik

Servo 1 :  $\frac{49.7^2}{S^2 + 58.8S + 49.7^2}$

Servo 2:  $\frac{1}{0.045S + 1}$

Gyro:  $\frac{115^2}{S^2 + 160S + 115^2}$

Gyro-LP:  $\frac{1}{0.01S + 1}$

Accelerometer:  $\frac{345^2}{S^2 + 817S + 345^2}$

Accelerometer-LP:  $\frac{1}{0.2S + 1}$

α-lågpassfilter:  $\frac{1}{S 0.2 + 1}$

Ulfärdad	Datum	Utgåva	Sida
----------	-------	--------	------

### 8.2 Bodybendingkraven

På grund av elastiska svängningar i flygplankroppen och vingar kommer dessa att påverka rategyro och accelerometer. För att förhindra att återkopplingen aktiverar dessa svängningsrörelser finns i nuvarande styrautomat ett s k bodybendingfilter som är ett notchfilter som filtrerar bort vissa frekvenser.

Kraven finns framtagna för bodybendingfiltret med nuvarande styrautomat. Totala kravet på återföringen har beräknats fram dels för  $q$ -återföring och dels för  $n_2$ -återföring vid de olika flygfallen och finns inritade nedan.

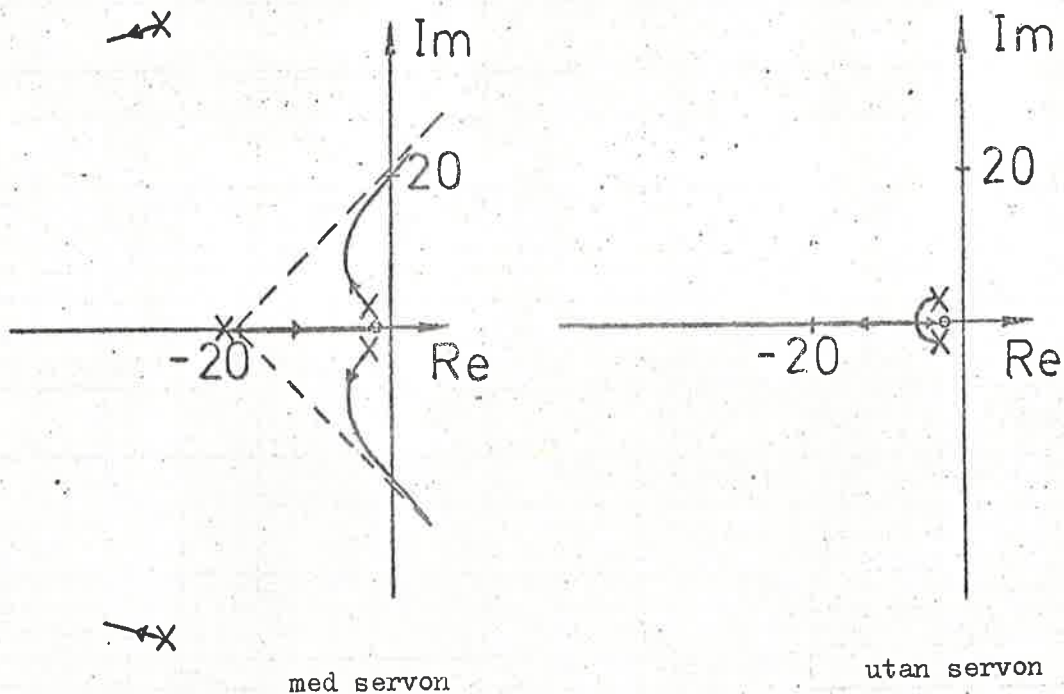
### 8.3 En givare och konstant förstärkning

#### 8.3.1 Proportionell $q$ -återföring

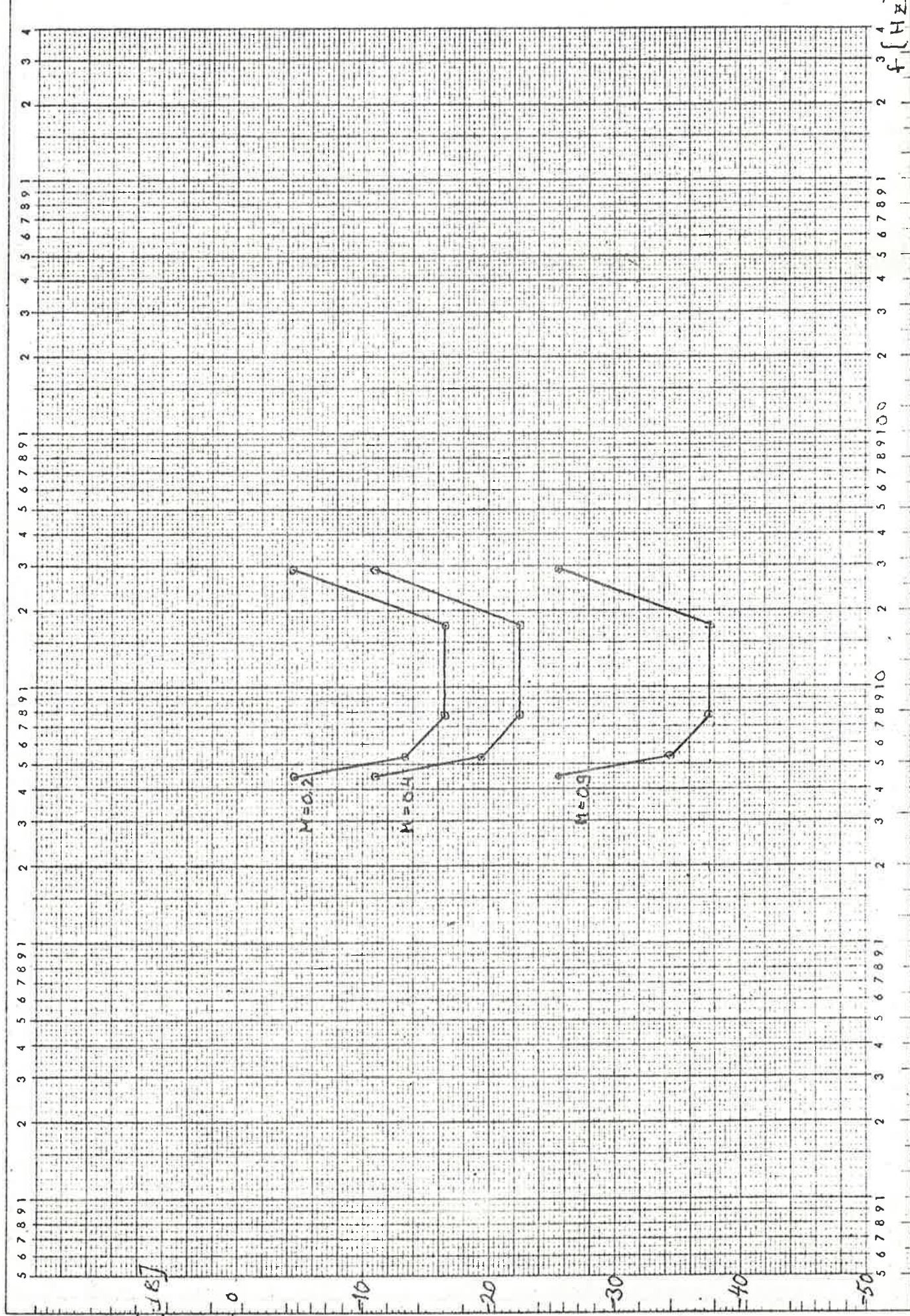
I den förenklade modellen utan hänsyn till servodynamik och givaredynamik gick det att uppnå nivå 3 med  $\beta q = 0.5$ . Systemet blev utpräglat trögt med dämpningskoefficient på ung 2. Emellertid kommer det med servo och givare inte att vara möjligt med  $\beta q = 0.5$ . Servona med en pol vid ung  $S = -22$  och en dubbelpol vid  $S = -29 + i 40$ , gör systemet mer instabilt vid högre frekvenser, medan vid låga frekvenser påverkan är försumbar. Detta märks vid flygfall  $M = 0.9$  där egenfrekvensen är ung 10 rad/s.

Instabiliteten ökar markant med ökat värde på  $\beta q$  vilket kan ses i nedanstående Rotorts-diagram med och utan servon.

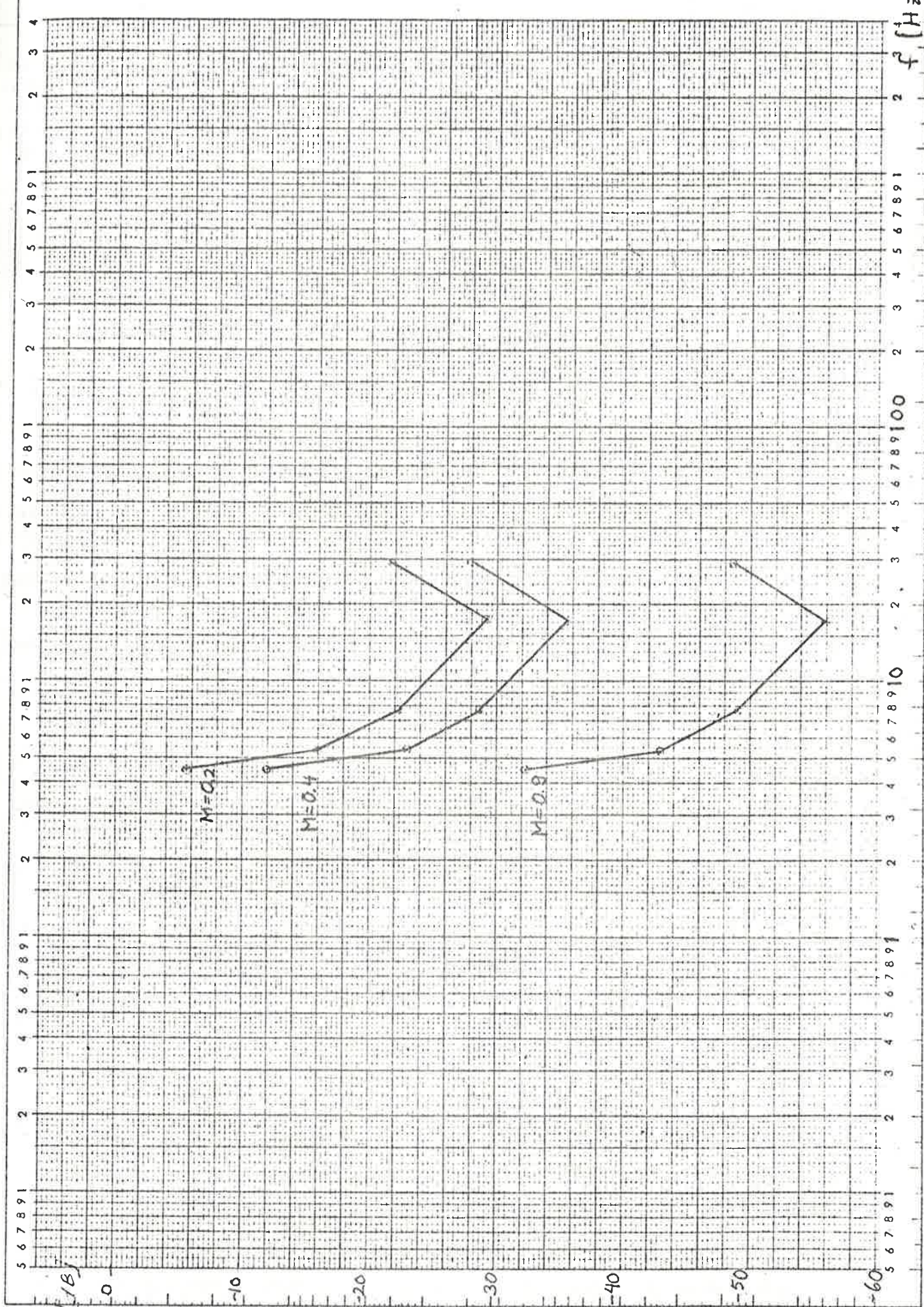
$M = 0.9 \quad T_p 1:$



Betygbedingekrav pa  
f-återförmingen

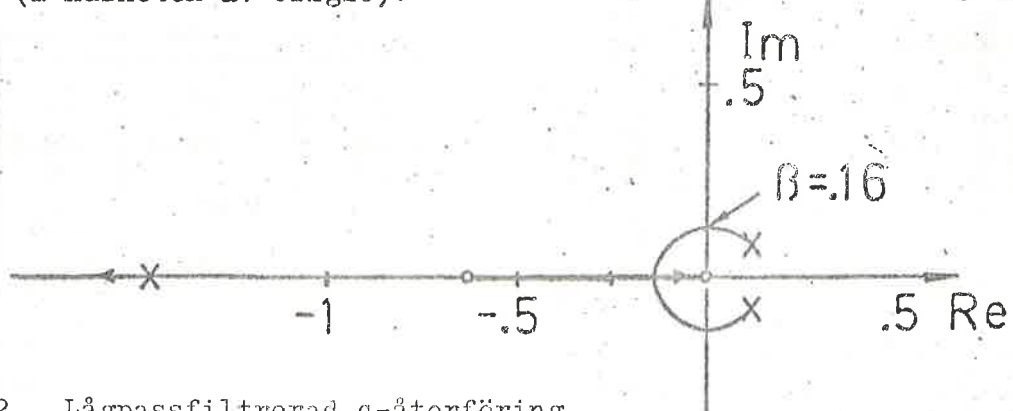


BODYDENSITETEN KONT. PA  
ME-ÄTERFÖRNINGEN



Uttärdad	Datum	Utgåva	Sida
----------	-------	--------	------

Redan vid  $\beta q = 0.2$  är dämpning så låg som 0.2. För att erhålla acceptabel dämpning vid  $M = 0.9$  får  $\beta q$  inte överstiga 0.1. Detta värde är emellertid inte tillräckligt för att stabilisera systemet vid  $M = 0.2$ . Rotort  $M = 0.2$  Tp 2 (i närheten av origo):

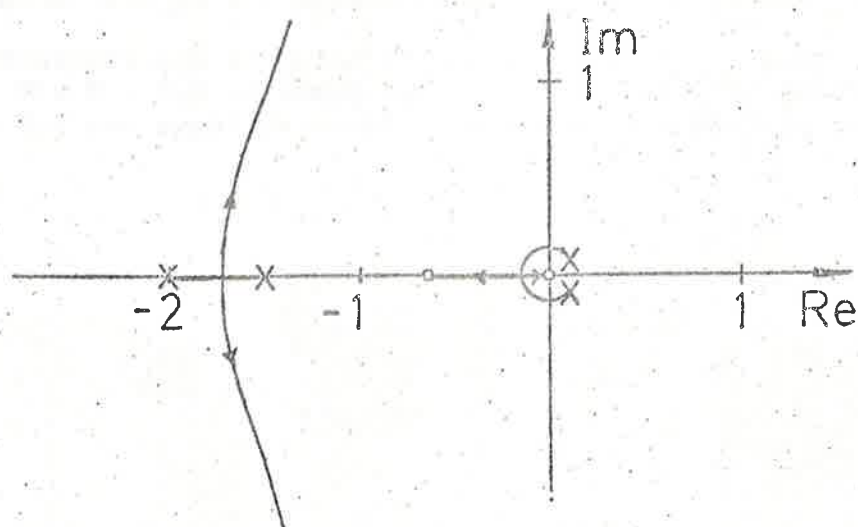


### 8.3.2 Lågpassfiltrerad q-återföring

Genom att införa ett lågpassfilter kommer förstärkningen vid högre frekvenser minskas vilket är önskvärt, men det sker emellertid även en fasretardering vilket försämrar stabiliteten. För att undersöka eventuella vinster med lågpassfiltrerat q har överföringsfunktionen beräknats med olika värden på tidskonstanten i filtret och för olika värden på kretsförstärkningen.

Med filtret  $\frac{1}{0.5S + 1}$  erhölls

1. Kretsförstärkningen kunde inte nämnvärt höjas utan liksom tidigare sätter flygfallet  $M = 0.9$  en övre gräns på  $\beta q = 0.1$ . Därför förekommer fortfarande den instabila moden vid  $M = 0.2$  Tp 2 ungefär oförändrad.
2. Egenfrekvens och dämpning vid  $M = 0.2$  och  $M = 0.4$  har nu förbättrats. Detta kan ses i rotorten för  $M = 0.2$  Tp 2.



Utfärdad	Datum	Utgåva	Sida
----------	-------	--------	------

För  $\beta q = 0.9$  blir egenfrekvens och dämpning för tippsvängningen och instabila moden

$M = 0.2$		$M = 0.4$		$M = 0.9$	
I	II	I	II	I	II
$\omega_{nsp}$	1.53	1.74	2.31	2.27	5.35
$\xi_{nsp}$	0.92	0.93	0.64	0.78	0.36
$\omega$		0.132			0.43
$\xi$		-0.30			

Om tidskonstanten ökas från 0.5 till 1 kan kretsförstärkningen ökas till  $\beta q = 0.2$ . Detta är inte tillräckligt för att stabilisera den instabila moden vid  $M = 0.2$ . För detta krävs att  $\beta q$  överstiger 0.4. Dessutom minskas egenfrekvenserna vid samtliga flygfall och en ytterligare ökning av tidskonstanten skulle medföra att egenfrekvenserna ligger under de tillåtna gränserna.

### 8.3.3 PI-q-återföring

En kompensering av typ  $\frac{S + a}{S + b}$  där  $a > b$  orsakar inte så kraftig fasretardering vid högre frekvenser som med enbart  $\frac{1}{S + b}$ . Önskemålet att vid låga frekvenser ha större förstärkning och att vid höga frekvenser ha en måttlig fasretardering uppfylls av en PI-kompensering.

Som första ansats används kompenseringen  $G_k = \frac{S + 4}{S + 1}$ .

Denna har 4 ggr större förstärkning vid låga frekvenser.  
Detta gav:

- Med lämplig kretsförstärkning har den instabila moden vid  $M = 0.2$  och  $M = 0.4$   $T_p$  försunnit och istället övergått till en bra dämpad långperiodig svängning.
- Egenfrekvens och dämpning vid  $M = 0.2$  och  $M = 0.4$  är bra. Vid  $M = 0.9$  är dämpningen väl över den övre gränsen  $\xi_{nsp} = 0.3$  men egenfrekvensen är högre än önskvärt.

Utfärdad	Datum	Utgåva	Sida

För att minska egenfrekvensen vid  $M = 0.9$  ökas den integrerande delen något. Detta medför också att fasretarderingen ökar och därmed försämrad dämpning.

Med kompenseringen  $G_k = \frac{S + 8}{S + 1}$  och  $\beta q = 0.05$  blir resultatet:

$$M = 0.2$$

$$M = 0.4$$

$$M = 0.9$$

	Tp 1	Tp 2		Tp 1	Tp 2		Tp 1	Tp 2
$\omega_{nsp}$	1.42	1.30		2.72	2.30		7.78	6.67
$\zeta_{nsp}$	0.624	0.761		0.468	0.543		0.429	0.483

Jämfört med föregående kompensering är egenfrekvensen vid  $M = 0.9$  betydligt bättre. Dämpningen är något lägre men fortfarande bra. I diagram 14 är egenfrekvens och dämpning som funktion av  $\beta q$  utritat. Diagram 15 visar rotorten för Tp 2 vid  $M = 0.2$ ,  $M = 0.4$  och  $M = 0.9$ .

En ytterligare ökning av den integrerande delen medför att dämpningen vid  $M = 0.9$  minskar ytterligare.

För att även undersöka fallet då b varierar används kompenseringen

$$G_k = \frac{S + 8}{S + 0.5} \text{ varvid följande erhölls}$$

1. Dämpningen är fortfarande bra vid alla flygfall.
2. Egenfrekvenserna vid framför allt  $M = 0.2$  och  $M = 0.4$  har minskat betydligt.

Om istället b ökas och kompensering

$$G_k = \frac{S + 8}{S + 2} \text{ användes erhölls:}$$

1. Den långsamma moden vid  $M = 0.2$  Tp 2 blir mindre dämpad.
2. Dämpningen ökar något för samtliga flygfall.
3. Egenfrekvenserna ökar något.

En lämplig PI-kompensering är  $G_k (S) = \frac{S + 8}{S + 1}$  och med  $\beta q = 0.05$ .

Utfärdad	Datum	Utgåva	Sida
----------	-------	--------	------

Inverkan av ett Bodybendingfilter

Den bästa återkopplingen med en givare och konstant förstärkning borde vara  $0.05 \cdot \frac{s^2 + 8}{s + 1}$ . Denna uppfyller emellertid inte bodybendingkraven (se diagram 16). Förstärkningen vid 40 rad/s måste sänkas ungefär 12 dB för att kravet skall vara uppfyllt. Detta kan inte göras med ett linjärt filter då detta skulle tillfoga alltför stor fasretardering och därmed försämra stabiliteten. Med ett olinjärt filter med en amplitud och fas-kurva enligt diagram 17 uppfylls bodybendingkraven. Fasretarderingen vid frekvenser under 10 rad/s är obetydlig.

För att undersöka inverkan med ett sådant olinjärt filter har en lineariserad modell använts. Denna finns framtagen och överensstämmer bra vid frekvenser under 30 rad/s. Amplitud och faskurvorna finns inritade i diagram 17.

Vid körning med egenvärdesprogrammet blev resultatet:

Lineariserad modell:

$$1.18 \cdot \frac{s^2 + 2 \cdot 0.05 \cdot 36.4s + 1328}{s^2 + 2 \cdot 0.3 \cdot 39.6s + 1567}$$

$$G_k = \frac{s + 8}{s + 1} \quad \beta_2 = 0.05$$

$$M = 0.2$$

$$M = 0.4$$

$$M = 0.9$$

	Tp 1	Tp 2		Tp 1	Tp 2		Tp 1	Tp 2
$\omega_{nsp}$	1.41	1.28		2.72	2.29		7.75	6.68
$\xi_{nsp}$	0.621	0.768		0.454	0.526		0.377	0.428

Jämfört med tidigare värden är egenfrekvenserna oförändrade. Dämpningen vid  $M = 0.2$  och  $M = 0.4$  ungefär desamma medan det vid  $M = 0.9$  sjönk en aning med ungefär 0.05.

Utfärdad	Datum	Utgåva	Sida

### 8.3.4 Lågpassfiltrerad $\alpha$ -återföring

I den förenklade modellen utan hänsyn till servon och givaredynamik framkom i jämförelse mellan olika givare att vid konstant återkoppling  $\alpha$ -återkoppling var det bästa alternativet som till och med uppfyllde nivå 1 med  $\beta_\alpha = 0.4$ . Med servon kommer liksom i föregående fall stabiliteten försämras vid högre frekvenser. Vid flygfall  $M = 0.9$   $T_p 1$  är dämpningen nu endast 0.25. Jämfört med den förenklade modellen är egenfrekvenserna ungefär oförändrade medan dämpningarna sjunkit. Systemet uppfyller nu endast nivå 2.

Eftersom ren  $\alpha$ -återföring inte är praktiskt möjlig ur brusynpunkt måste  $\alpha$ -signalen filtreras. Tidkonstanten för lågpassfiltret har föreslagits vara 0.2 sek. Jämfört med ren  $\alpha$  blev resultatet:

1. Stabiliteten försämrades markant vid  $M = 0.4$  och  $M = 0.9$ . Vid  $M = 0.4$   $T_p 1$  sjönk dämpningen från 0.36 till 0.16 och vid  $M = 0.9$   $T_p 1$  från 0.25 till 0.07.
2. Egenfrekvens minskade vid  $M = 0.9$  och ungefär oförändrad vid  $M = 0.2$  och  $M = 0.4$ .

Detta system uppfyller inte ens nivå 3 varför konstant  $\alpha$ -återkoppling inte är möjlig.

### 8.3.5 Lågpassfiltrerad $n_z$ -återföring

En konstant  $n_z$ -återföring uppfyllde i den förenklade modellen nivå 2 med  $\beta_{n_z} = 0.07$ . Med hänsyn till servona kommer systemet nu knappast att uppfylla ens nivå 3. Liksom med  $\alpha$ -givare har fallet undersökts då  $n_z$ -signalen filtreras genom lågpassfilter med tidkonstanten 0.2 sek. Detta gav:

1. Stabiliteten försämrades markant
2. Dämpningskoefficienterna antog negativa värden för  $M = 0.4$  och  $M = 0.9$ .

Denna typ av återföring är således helt omöjlig.

### 8.4 TVÅ GIVARE OCH KONSTANT FÖRSTÄRKNING

Med den förenklade modellen framkom det att med två givare och konstant förstärkning att  $q$ - och  $\alpha$ -givare var det bästa alternativet. Som utgångspunkt har en PI-kompenserad  $q$ -återföring använts och fallet med ett tillägg av  $\alpha$ -återföring har undersökts.

Utfärdad	Datum	Utgåva	Sida

Med kompenseringen  $G_k = \frac{S + 4}{S + 1}$  och med  $\beta q$  konstant och  $\beta \alpha$  varierande gav:

- Den instabila moden vid  $M = 0.2$ Tp 2. Stabiliseras snabbt då  $\beta \alpha$  ökar.
- Egenfrekvens påverkas inte nämnvärt av  $\beta \alpha$ .
- Dämpningen minskar en aning med ökat  $\beta \alpha$ .

Liksom i fallet med enbart PI-kompenserad  $q$  är egenfrekvensen för hög vid  $M = 0.9$  och eftersom dämpningen inte minskar så kraftigt då  $\beta \alpha = 0.1$  kan kompenseringen  $G_k(S) = \frac{S + 8}{S + 1}$  användas.

Detta gav liksom ovan att egenfrekvens och dämpning inte påverkas så kraftigt av  $\alpha$ -återföringen. I diagram 18 är tippsvängningens egenfrekvens och dämpning inritad som funktion av  $\beta \alpha$  med  $\beta q$  konstant lika med 0.05. En lämplig kombination av  $q$  och  $\alpha$  borde vara  $\beta q = 0.05$  och  $\beta \alpha = 0.1$ . Med dessa värden har dämpningen minskat en aning men det har skett en ytterligare stabilisering av den instabila moden vid  $M = 0.2$ Tp 2.

#### 8.5 En givare och variabel förstärkning

##### A. Variabel $q$ -återföring

Med konstant återkoppling var en PI-kompenserad  $q$ -återföring med kompenseringsnätet  $G_k(S) = \frac{S + 8}{S + 1}$  och med  $\beta q = 0.05$  lämplig.

Med denna som utgångspunkt kan man genom variabel återkoppling förbättra systemet på en del punkter. En ökning av  $\beta q$  vid  $M = 0.2$  medför att den instabila moden vid tyngdpunkt 2 stabiliseras ytterligare. En minskning av  $\beta q$  vid  $M = 0.9$  förbättrar dämpningen.

Ur diagram kan lämpliga förstärkningar för de olika Mach-talen utläsas.

Med  $\beta q = 0.1$  vid  $M = 0.2$

$\beta q = 0.05$  vid  $M = 0.4$

$\beta q = 0.040$  vid  $M = 0.9$

blir egenfrekvens och dämpning för tippsvängningen:

$M = 0.2$		$M = 0.4$		$M = 0.9$		
Tp 1	Tp 2	Tp 1	Tp 2	Tp 1	Tp 2	
$\omega_{nsp}$	1.86	1.69	2.72	2.30	7.0	5.8
$f_{nsp}$	0.49	0.55	0.47	0.54	0.47	0.54

Utfärdad	Datum	Utgåva	Sida

Dämpningen vid  $M = 0.9$  har nu förbättrats en aning. Ytterligare ökning av dämpningen är möjlig men då minskar även egenfrekvensen. Den instabila moden vid  $M = 0.2$  Tp 2 har nu stabiliseringar ytterligare.

### B. Variabel $\alpha$ -återföring

Lågpassfiltret med tidskonstanten 0.2 sek gjorde vid konstant förstärkning att systemet inte ens uppfyllde nivå 3. Med variabel förstärkning kan denna nivå uppnås.

Med  $\beta\alpha = 0.4$   $M = 0.2$

$\beta\alpha = 0.3$   $M = 0.4$

$\beta\alpha = 0.2$   $M = 0.9$

Kommer  $\frac{\omega_{msf}^2}{\gamma\alpha}$  att variera mellan 0.17 - 0.36 och dämpningen 0.27 - 0.45 för de olika flygfallen. Här blir sådeles både egenfrekvens och dämpning väldigt liten. Jämfört med PI-kompenserat q med konstant förstärkning är alltså variabel  $\alpha$ -återföring inte någon fördel.

### Sammanfattning

En givare:

Med enbart  $\alpha$ - eller  $n$ -återkoppling uppfylls ej specifikationerna för tippsvängningen. Med den förenklade modellen uppfylldes nivå I med konstant  $\alpha$ -föring men servon och framförallt den nödvändiga lågpassfiltreringen av  $\alpha$ -signalen försämrar systemet markant.

Med en konstant q-återkoppling med fasretarderande kompensering  $G_k(s) = \frac{s+a}{s+b}$

kan kraven på tippsvängningens egenfrekvens och dämpning uppfyllas. Lämplig kompensering är med  $a=8$  och  $b=1$  och värdet på återkopplingen  $B_q = 0.05$ . Med dessa värden uppnås kravet på nivå I för tippsvängningen vid de olika flygfallen.

Genom att variera återkopplingen kan systemet förbättras något. Ökning av  $B_q$  vid  $M=0.2$  stabiliseras den instabila moden ytterligare vid Tp 2. Minskning av  $B_q$  vid  $M=0.9$  förbättrar dämpningen.

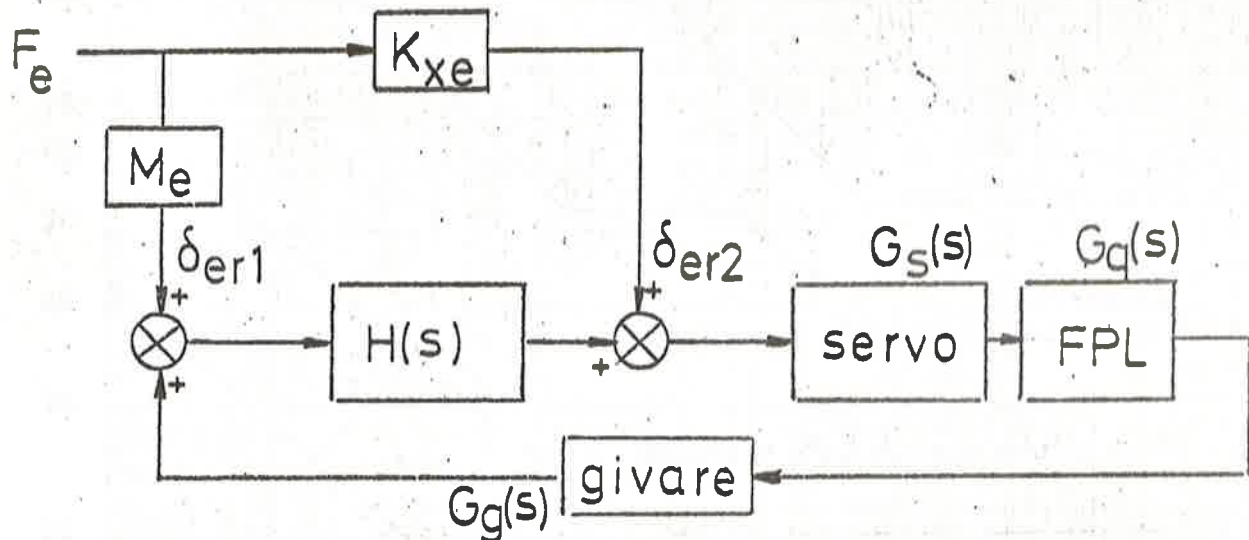
Två givare:

En ytterligare stabilisering av den instabila moden vid  $M=0.2$  Tp 2 kan också ske genom att till den ovan PI-q-återkopplingen dessutom tillfoga  $\alpha$ -återkoppling. Lämpliga värden på förstärkningarna är  $B_q = 0.05$  och  $B_\alpha = 0.1$ . Nackdelen med detta är att dämpningen vid  $M=0.9$  minskar en aning men kravet på nivå I är fortfarande uppfyllt.

Uttärdad	Datum	Utgåva	Sida
----------	-------	--------	------

9      BESTÄMNING AV FÖRSTÄRKNINGEN I FRAMGRENEN MED KONSTANT PI-Q-ÅTERKOPPLING

Schematiskt kan systemet beskrivas med följande figur:



där  $F_E$  är spakkraft . Specifikation på spakkraften finns angivna i form av storheten spakkraft per lastfaktorenhet och finns i diagrammet nedan.

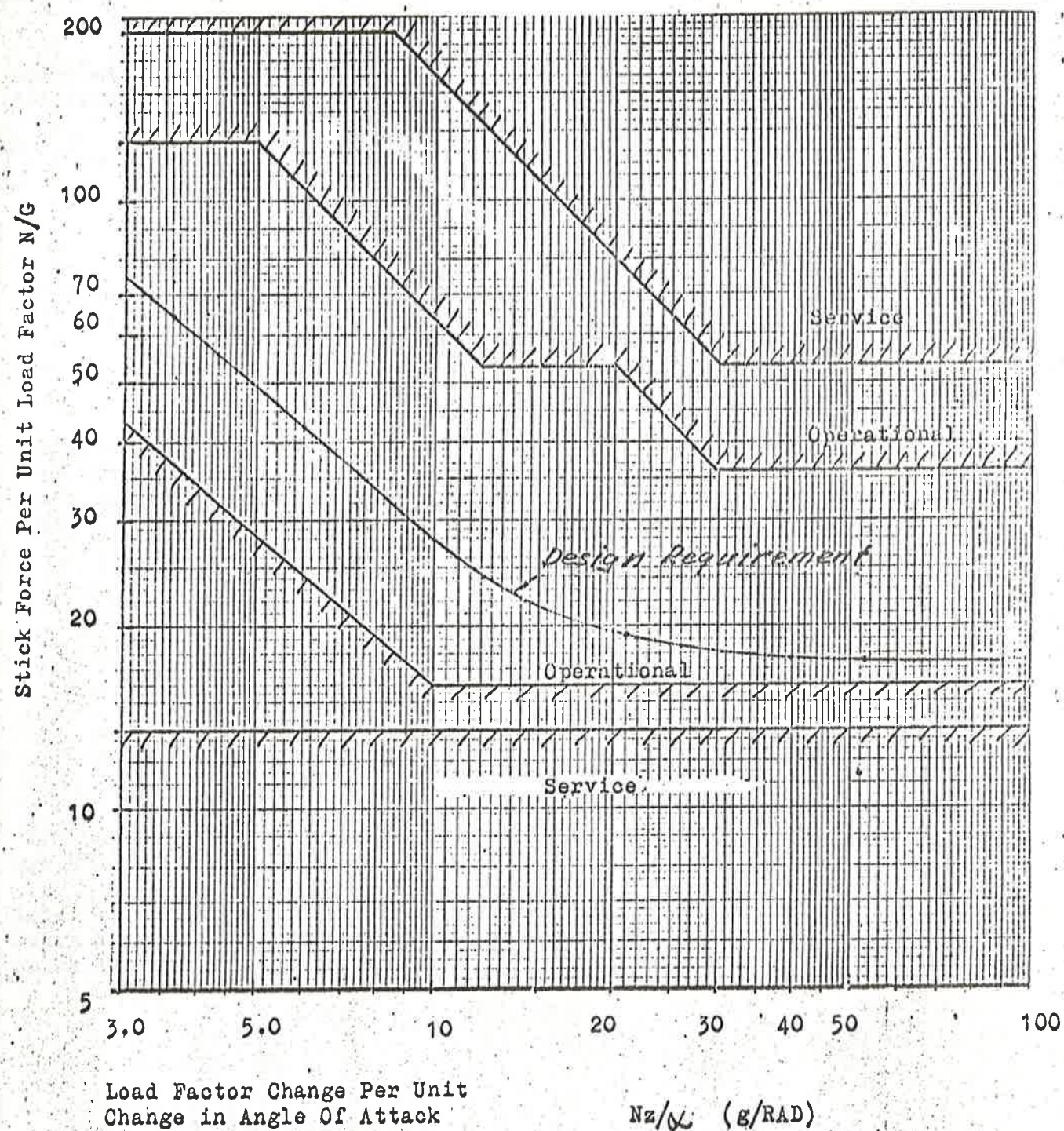


Figure 4.6 Pitch CAS Mode Stick Force Gradient Requirement

Utfärdad	Datum	Utgåva	Sida
----------	-------	--------	------

Den slutna överföringsfunktionen för lastfaktorn blir för de olika grenarna:

$$1. K_{xe} = 0$$

$$\frac{n_z}{\delta_{er1}} = \frac{H(s) G_s(s) G_{nz}(s)}{1 + H(s) G_g(s) G_s(s) G_q(s)}$$

$$2. M_e = 0$$

$$\frac{n_z}{\delta_{er2}} = \frac{G_s(s) G_{nz}(s)}{1 + H(s) G_g(s) G_s(s) G_q(s)}$$

För att bestämma statiska förstärkningen  $K'_{nz2}$  ur den slutna överföringsfunktionen förkortas poler mot nolltället bort som ligger i närheten av origo och därefter sätts  $s = 0$ . Detta ger med  $\beta q = 0.05$

$$M = 0.2 \quad Tp 1 \quad 13.2$$

$$Tp 2 \quad 36.8$$

$$M = 0.4 \quad Tp 1 \quad 26.8$$

$$Tp 2 \quad 39.7$$

$$M = 0.9 \quad Tp 1 \quad 63.0$$

$$Tp 2 \quad 72.3 \quad g/rad$$

$K'_{nz1}$  erhålls med hjälp av sambandet  $K'_{nz1} = H(0) K'_{nz2}$   
där  $H(0) = 0.05 \cdot 8 = 0.4$ .

Med  $K_{xe} = 0$  är  $M_e = 0.12 \% / N$  ett lämpligt värde.  
Detta ger vid de olika flygfallen följande värden på spakkraft per lastfaktorenhet.

$$M = 0.2 \quad Tp 1 \quad 90$$

$$Tp 2 \quad 32$$

$$M = 0.4 \quad Tp 1 \quad 45$$

$$Tp 2 \quad 30$$

$$M = 0.9 \quad Tp 1 \quad 18.9$$

$$Tp 2 \quad 16.5 \quad N/g$$

Dessa värden liger inom operational-gränserna.

Uttardad	Datum	Utgåva	Sida
----------	-------	--------	------

Känslighet vid överljudsfart

Vid överljudsfart minskar  $K_{nz}$  och det krävs betydligt större roderutslag för att erhålla en viss lastfaktor. Kravet är att kunna erhålla minst lastfaktorn 8 g vid spakraften 150 N.  $K_{nz}$  vid  $M = 1.1$  och vid höjden 3 km har räknats fram med hjälp av diagram 18-19, som visar trimvinkel för rodret som funktion av Machtal och lastfaktor.

$$\begin{aligned} K_{nz} &= 50.8 \text{ g/rad} & \text{Tp 1} \\ & 70.4 \text{ " } & \text{Tp 2} \end{aligned}$$

Återkopplat blir

$$K'_{nz} = \frac{K_{nz}}{1 + \beta q G_k(Q) Kq} = \frac{K_{nz}}{1 + \beta q 8 Kq}$$

För  $Kq$  och  $K_{nz}$  gäller approximativt  $K_{nz} = \frac{1}{g} V_o \cos \theta_o Kq$

$$K'_{nz} = \frac{K_{nz}}{1 + \frac{\beta q 8g}{V_o \cos \theta_o K_{nz}}}$$

Insatta värden ger

$$\begin{aligned} K_{nz} &= 32.7 \text{ g/rad} & \text{Tp 1} \\ K'_{nz} &= 39.9 \text{ " } & \text{Tp 2} \end{aligned}$$

Med  $M_e = 0.12$  och  $F_e = 150 \text{ N}$  erhålls en lastfaktorändring.

$$\begin{aligned} \Delta n_z &= 4.1 \text{ g Tp 1} \\ \Delta n_z &= 5.0 \text{ g Tp 2} \end{aligned}$$

Dessa värden uppfyller inte kravet  $\Delta n_z = 7 \text{ g}$ , varför förstärkningen måste höjas från 0.12 till 0.21. Med detta värde  $M_e = 0.21$  erhålls.

$$F_e / n_z (\text{N/g}) \quad \Delta n_z (\text{N}), \quad F_e = 150 \text{ N}$$

$M = 0.2$	Tp 1	51.7	2.9
	Tp 2	18.5	8.1
$M = 0.4$	Tp 1	25.5	5.9
	Tp 2	17.2	8.7
$M = 0.9$	Tp 1	10.8	13.9
	Tp 2	9.4	16.0
$M = 1.1$	Tp 2	20.8	7.2
	Tp 1	17.1	8.8

Utfärdad	Datum	Utgåva	Sida
----------	-------	--------	------

Vid underljuds fart har nu systemet blivit väldigt känsligt och uppfyller inte servicekravet på högsta känslighet 13.5 N/g. Emellertid har det ansetts möjligt vid ett nödsystem att sänka gränsen till ungefär 10 N/g varför  $M_e = 0.21$  är ett möjligt värde på förstärkningen.

## 10 SIMULERINGSRESULTAT FRÅN FOSIM, KTH

Vid FOSIM finns möjlighet att simulera flygplan med reducerad statisk stabilitet. Förarkabinen är uppbyggd på en plattform som är rörlig i tipp-, roll- och höjdled. Underlaget för modellen är i stort samma som för JA37 med den ändringen att momentkurvan har ökats med ett tilläggsmoment och därmed reducerat stabiliteten.

Styrautomaten i tippled är uppbyggd enligt fig 1. Här finns möjlighet att enkelt ändra styrlagen och använda olika givaretyper genom att från en panel trycka in olika switchar.

### 10.1 Stegsvar vid vindbystörning

Möjlighet finns också att erhålla stegsvar på en skrivare vid olika typer av störningar. Vid vindbystörning har en störning av 5 m/s använts. Detta innebär en ändring i anfallsvinkeln enligt formeln

$$\Delta \alpha = \frac{\Delta W}{V_0 \cos \theta_0}$$

Detta ger för de olika flygfallen

$$M = 0.2 \quad \Delta \alpha = 4.4^\circ$$

$$M = 0.4 \quad \Delta \alpha = 2.1^\circ$$

$$M = 0.9 \quad \Delta \alpha = 0.94^\circ$$

Stegsvar har tagits vid olika flygfall med PI-q-återföringen  $\beta q \cdot \frac{S+8}{S+1}$ .

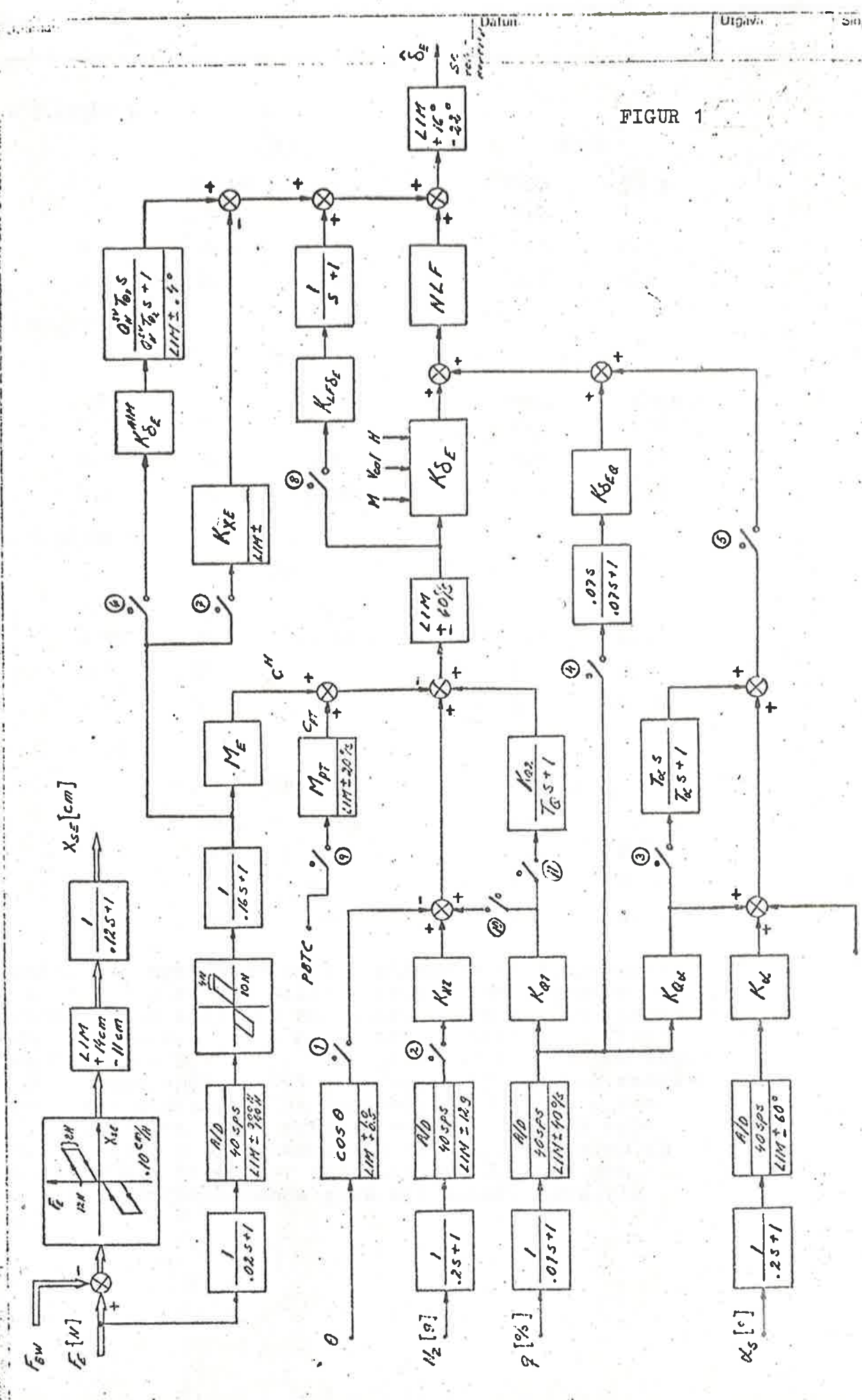
Denna styrlag erhålls med switcharna 10 och 8 intryckta och med följande värden på konstanterna

$$K_{Q1} = 1$$

$$K_{\delta e} = \beta q$$

$$K_{LF} = 7 \cdot \beta q$$

Ur stegvaren (se appendix) har för olika värden på återkopplingen egenfrekvens och dämpning approximativt beräknats.



Utfärdad	Datum	Utgåva	Sida
----------	-------	--------	------

 $M = 0.2/500 \text{ m}$ 

Tp 1 Tp 2

$\beta$	$\omega_{nsp}$	$\zeta_{nsp}$	$\omega_{nsp}$	$\zeta_{nsp}$
0.05	1.4	0.41	1.0	1
0.1	2.0	0.32	1.7	0.7
0.2	2.7	0.29	2.3	0.5

 $M = 0.4/500 \text{ m}$ 

Tp 1 Tp 2

$\beta$	$\omega_{nsp}$	$\zeta_{nsp}$	$\omega_{nsp}$	$\zeta_{nsp}$
0.05	2.3	0.50	2.5	0.76
0.1	3.5	0.43	3.6	0.57
0.2	5.2	0.30	5.3	0.33

 $M = 0.9/500 \text{ m}$ 

Tp 1 Tp 2

$\beta$	$\omega_{nsp}$	$\zeta_{nsp}$	$\omega_{nsp}$	$\zeta_{nsp}$
0.05	7.1	0.38	6.3	0.56
0.1	10	0.18	8.9	0.27
0.2	12	-	13	-0.05

 $M = 1.1/6 \text{ km}$ 

Tp 1 Tp 2

$\beta$	$\omega_{nsp}$	$\zeta_{nsp}$	$\omega_{nsp}$	$\zeta_{nsp}$
0.05	5.8	0.13	5.7	0.18
0.1	6.7	0.11	6.4	0.16
0.2	9.0	0.05	8.8	0.08

Dämpning och egenfrekvens är beräknade ur stegsvaret för q. Värdena från simuleringsarna stämmer ganska bra överens med de tidigare beräknade värdena. Vid underljudsfart  $M=0.2, 0.4$  och  $0.9$  uppfylls nivå I på tippsvängningen då  $B_q=0.05$ . Vid  $B_q=0.1$  är dämpningen låg vid  $M=0.9$  och endast nivå 3 är uppfyllt.  $B_q=0.2$  resulterar i att systemet blir instabilt vid  $M=0.9$ . För  $M=1.1$  gäller att dämpningen är väldigt låg och uppfyller ej nivå 3 där gränsen på dämpningen  $\zeta_{nsp}=0.15$ . Simulering med pilot gav dock att med  $B_q=0.05$  och  $B_q=0.1$  planet fortfarande gick att kontrollera vid  $M=1.1$ .

Utlärdad	Datum	Utgåva	Sida
----------	-------	--------	------

### 10.2 Stegsvar vid spakkommandon

Vid simulerings med pilot erhölls att en del av spakkommandot borde gå igenom den direkta grenen med switchen 7 inttryckt och  $K_{xe} = 0$ . Detta ger en snabbare respons på spakkommandot.

Stegsvar har tagits med PI-q-återföringen  $\beta q \frac{S+8}{S+1}$  med  $\beta q = 0.1$ . Storleken på spakkraft  $F_e = 32 N$  vilket innehåller ett spakkommando på 22 N eftersom det är en dödzon på 10 N. Förstärkningen i framgrenen är vald till  $M = -0.12$  och  $K_{xe} = 0.02$ .

Ur stegsvaren är storheten spakkraft per lastfaktorenhet  $F_e/n_z$  beräknat för de olika flygfallen. Dessutom har med hjälp av egenvärdeskörning  $K_{nz}$  framtagits och därur beräknats.

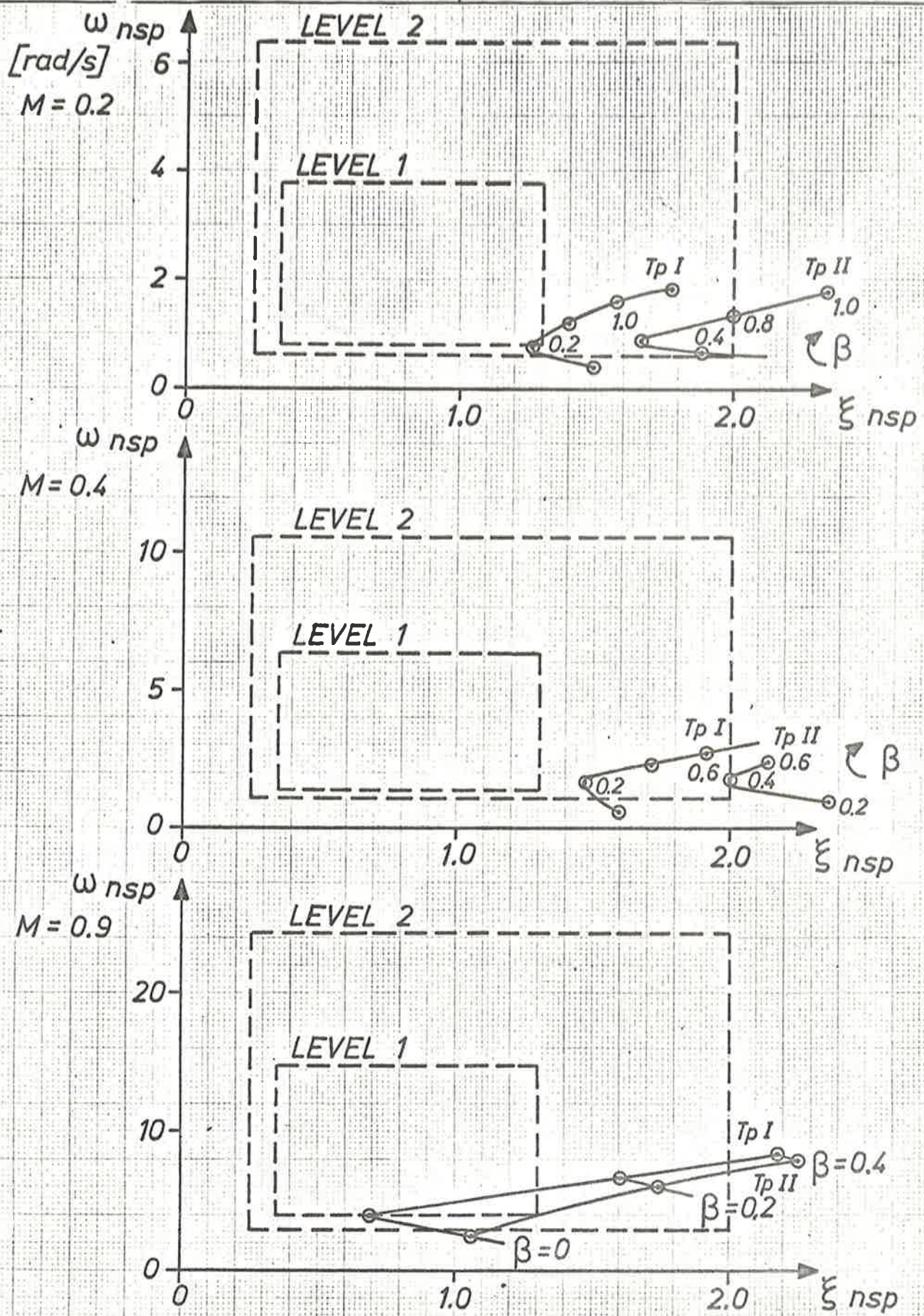
		$F_e/n_z$ , FOSIM	$F_e/n_z$ , beräknade
$M = 0.2$	Tp 1	92	69
$H = 0.5$ km	Tp 2	61	43
$M = 0.4$	Tp 1	42	33
$H = 0.5$ km	Tp 2	26	27
$M = 0.9$	Tp 1	15	14
$H = 0.5$ km	Tp 2	14	13
$M = 1.1$	Tp 1	22	22
$H = 3$ km	Tp 2	19	19 N/g

Dessa värden uppfyller servicekraven på spakkraft per lastfaktorenhet. Med spakkraften 150 N blir lastfaktorn vid  $M = 1.1$  Tp 1  $\Delta n_z = 150/22 = 6.8$  g

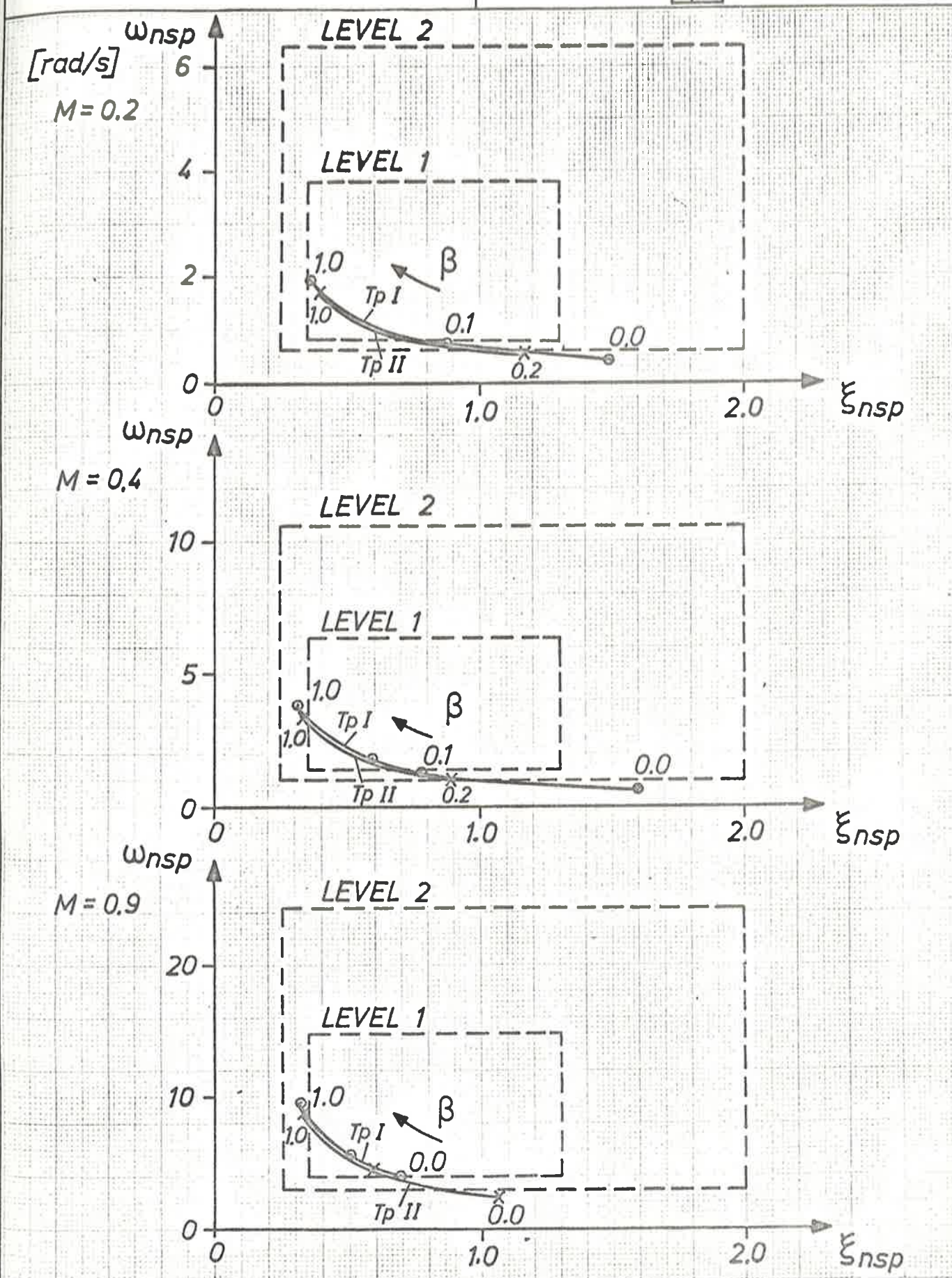
$M = 1.1$  Tp 2  $\Delta n_z = 150/19 = 7.9$  g

Kravet på 7 g uppfylls nästan. En ökning är möjlig om  $K_{xe}$  och  $M_e$  ökas och känsligheten vid  $M = 0.9$  kan sänkas till 10 N/g.

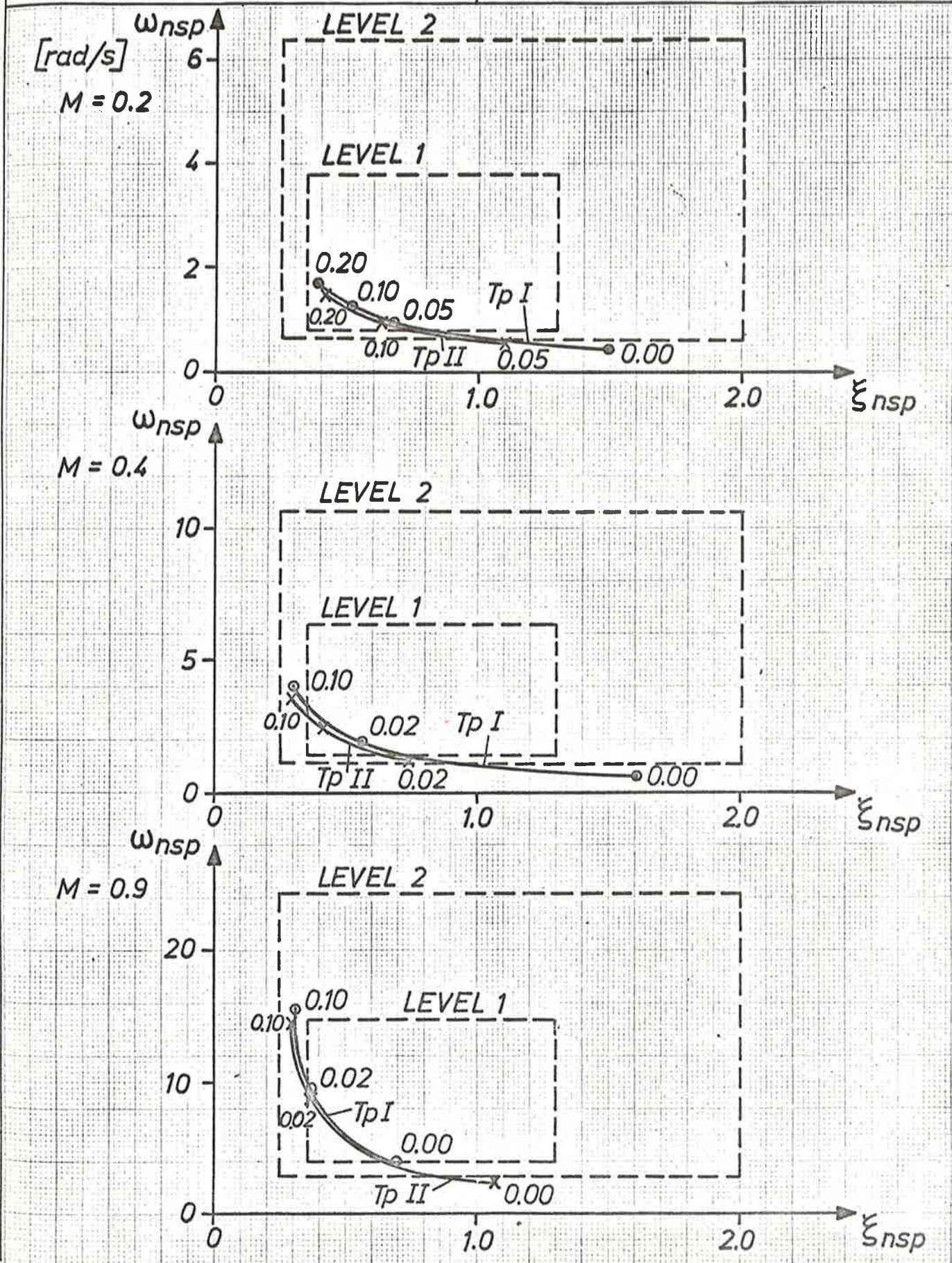
Uttärdad	Godkänd	Datum	Reg. nr/Objekt
Bearbetad	sign/datum	Kontrollerad	sign/datum
Fördelening		Ärende	$\text{Ser} + + \otimes Gq q - \beta$



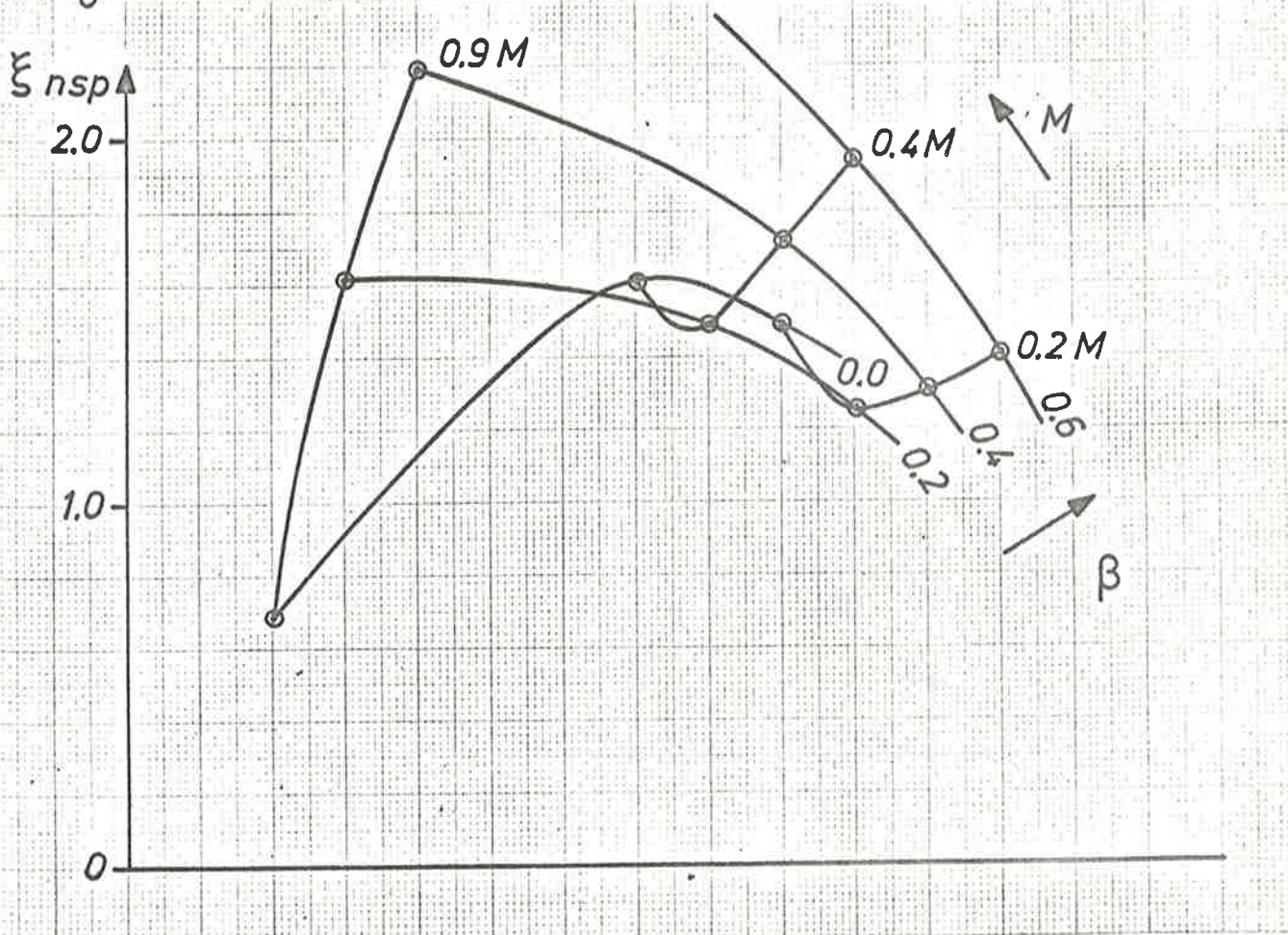
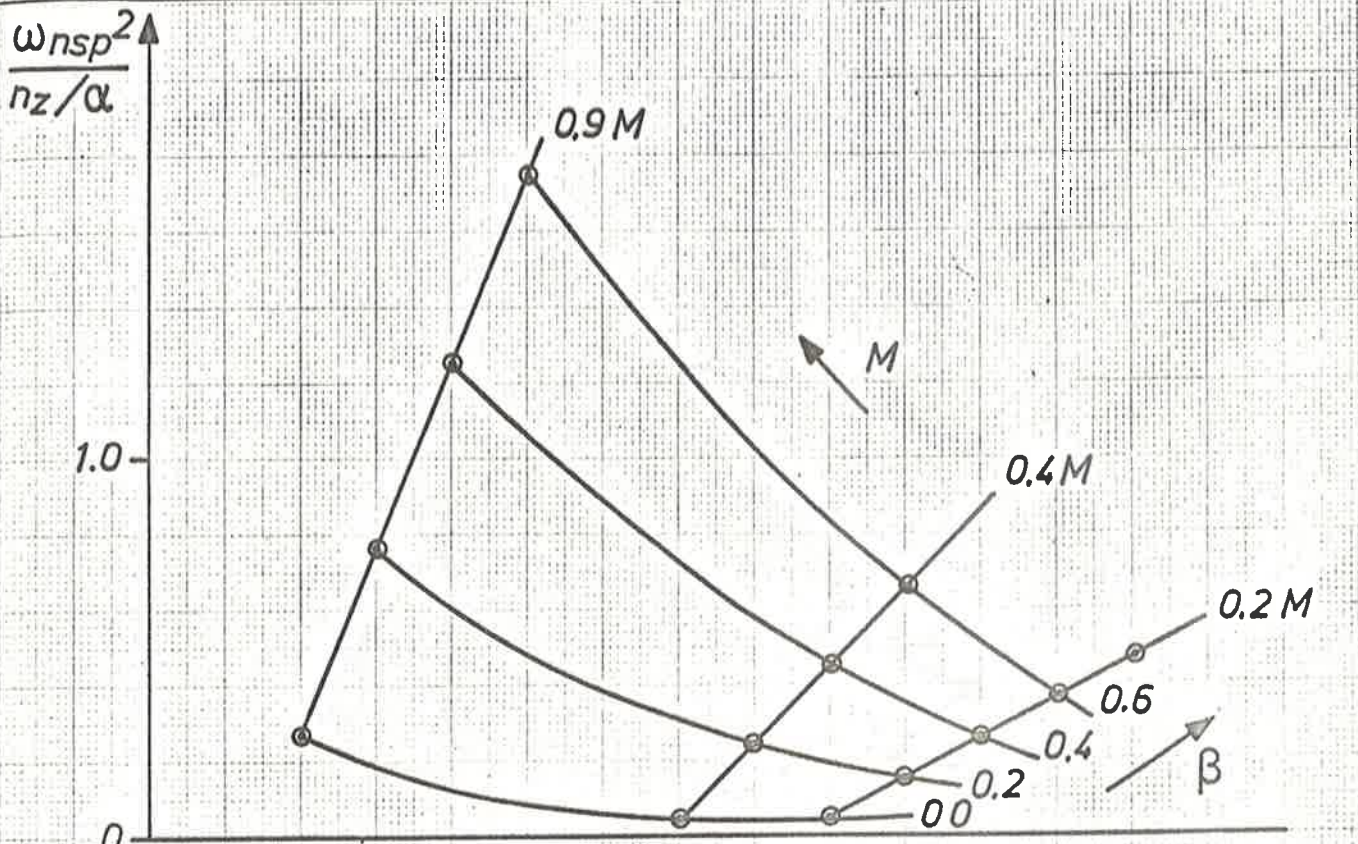
Uttärad	Godkänd	Datum	Reg. nr/Objekt
Bearbetad sign/datum	Kontrollerad sign/datum	Ärende	Ser + + G $\alpha$ + - $\beta$ $\alpha$
Fördelning			



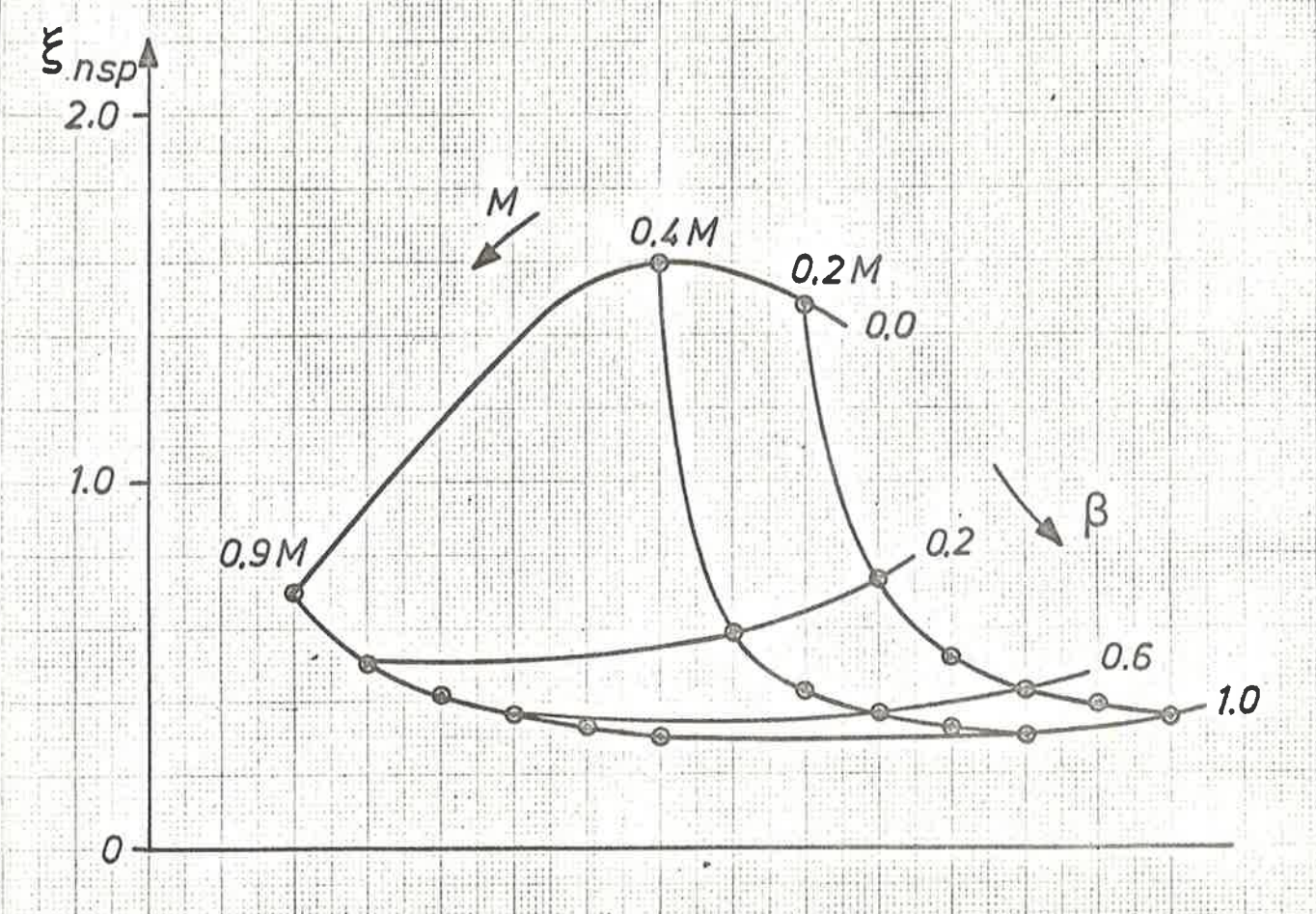
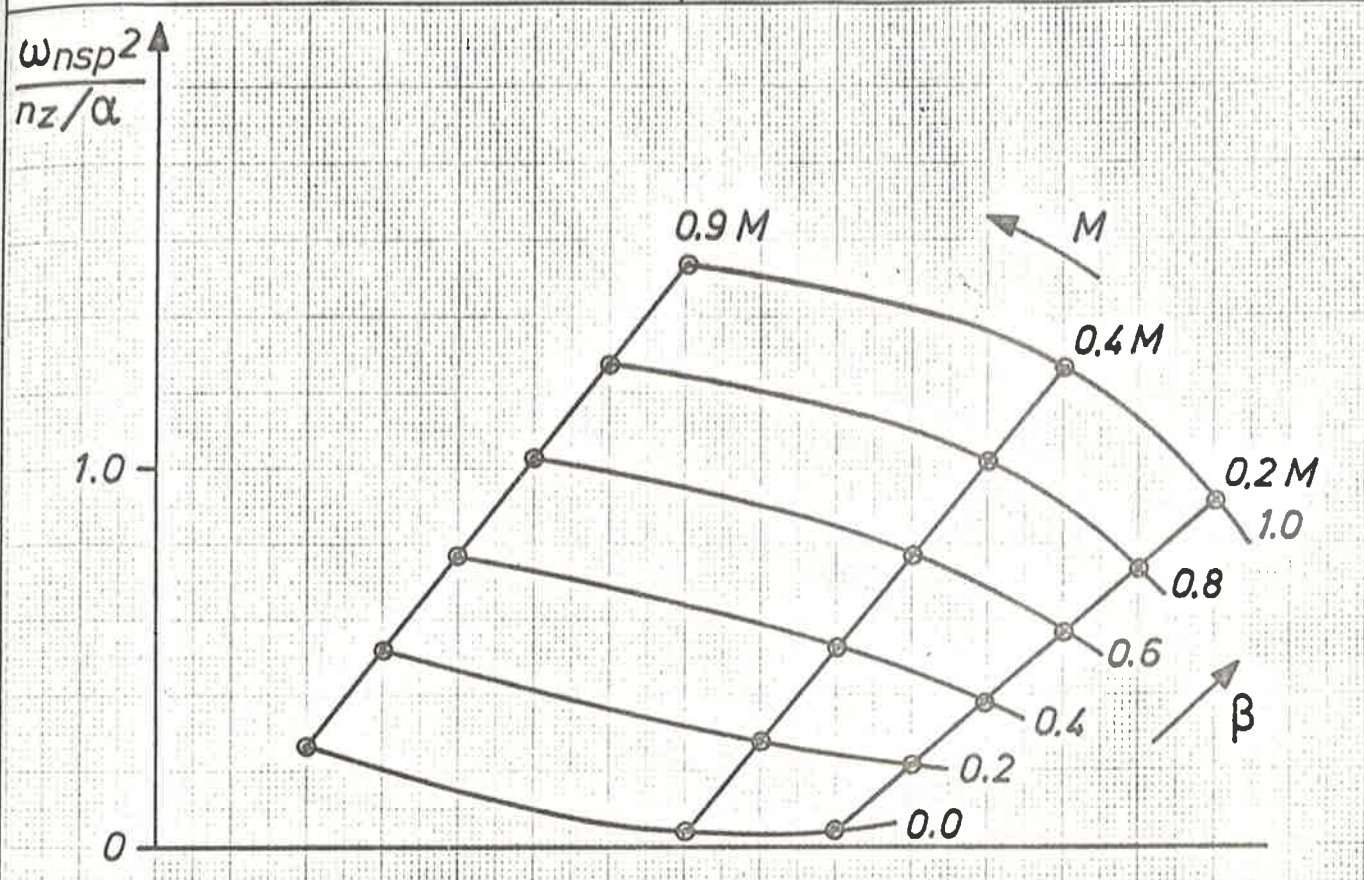
Utfärdad	Godkänd	Datum	Reg. nr/Objekt
Bearbetad	[sign/datum]	Kontrollerad	[sign/datum]
Fördelning		Ärende	$\text{Ser} + \otimes G_{nz} n_z - \beta$



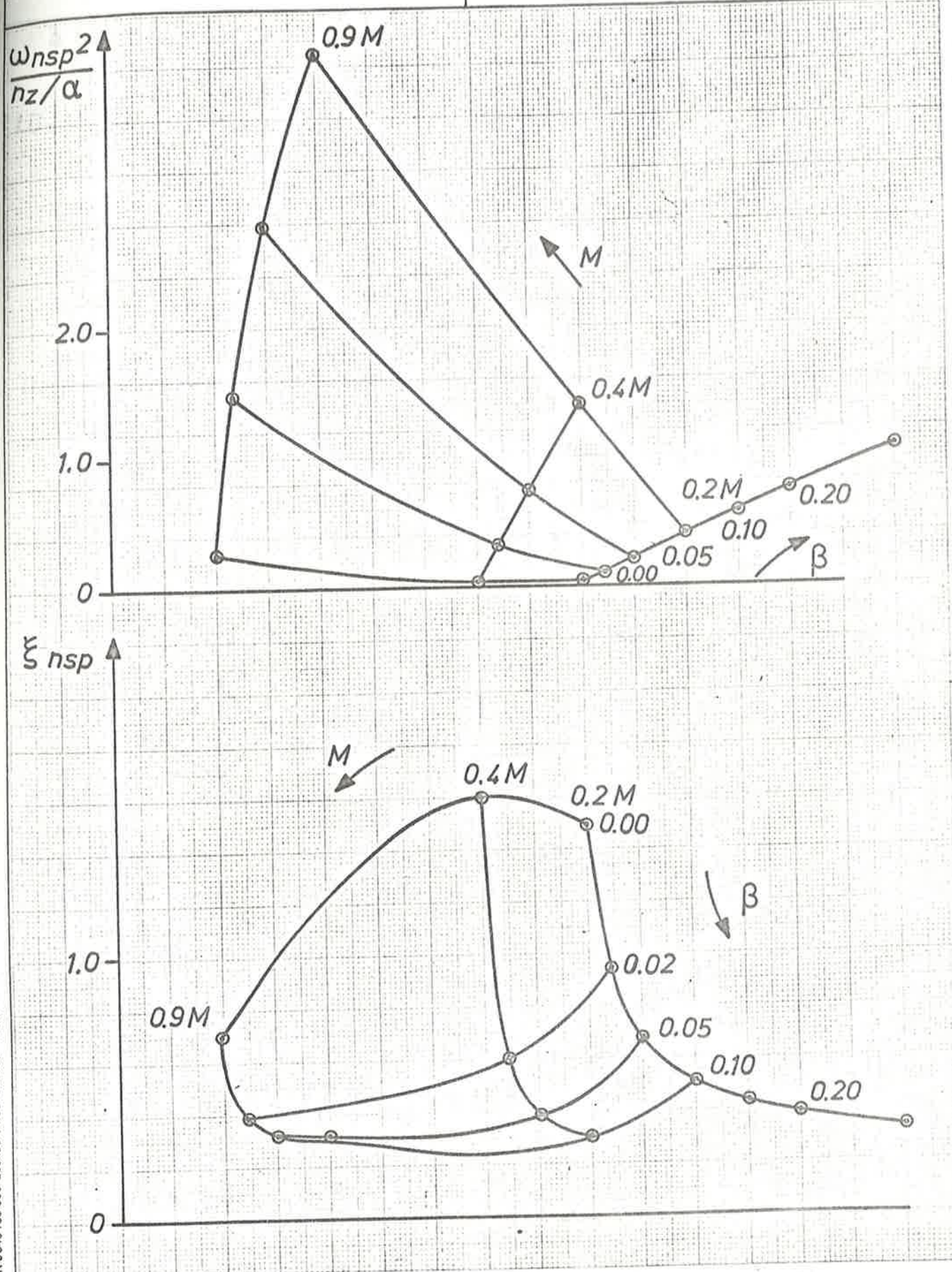
Utfärdad	Godkänd	Datum	Reg. nr/Objekt
Bearbetad	sign/datum	Kontrollerad	sign/datum
Fördelning			Ärende <i>q</i> -återkoppling

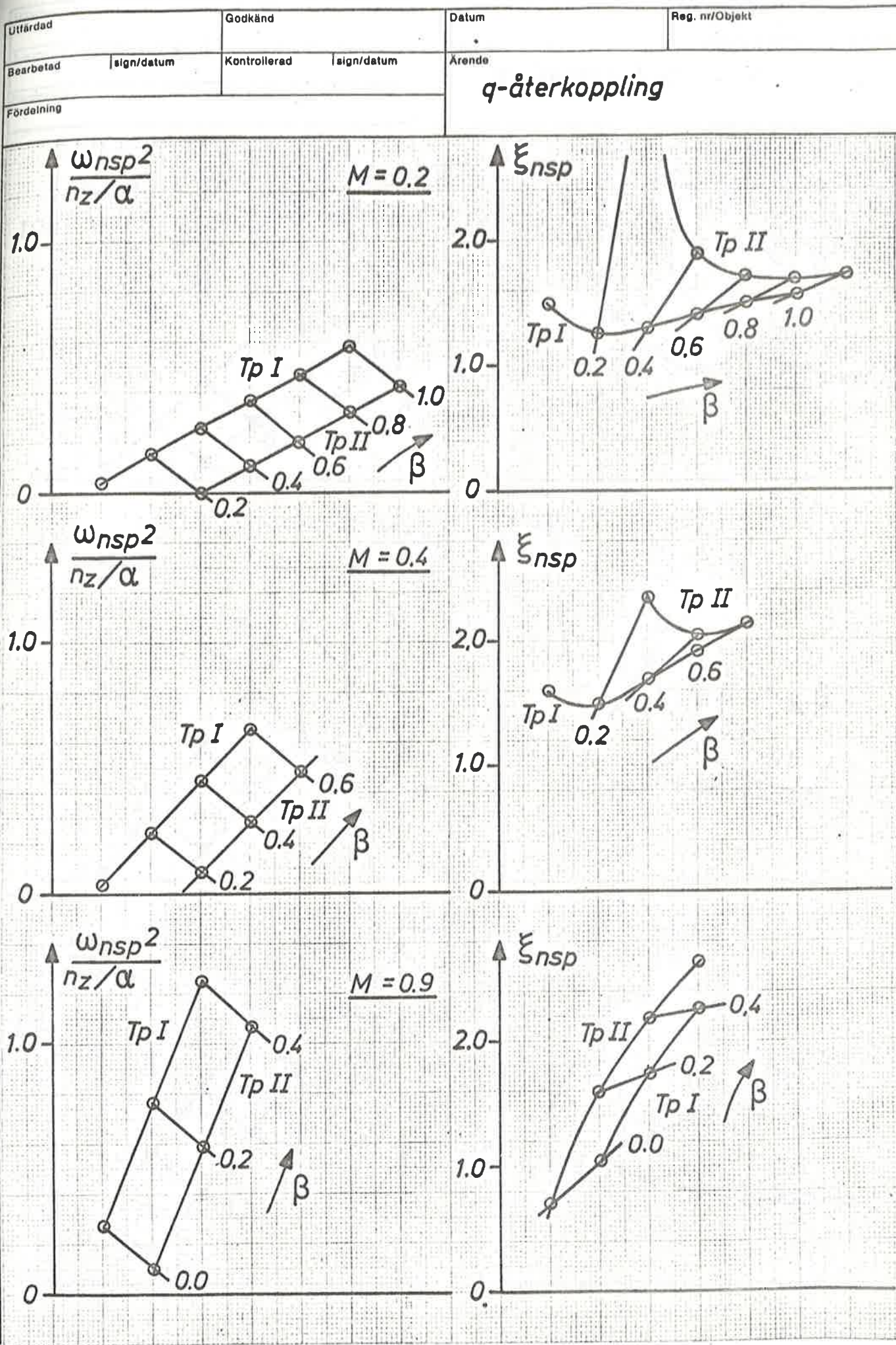


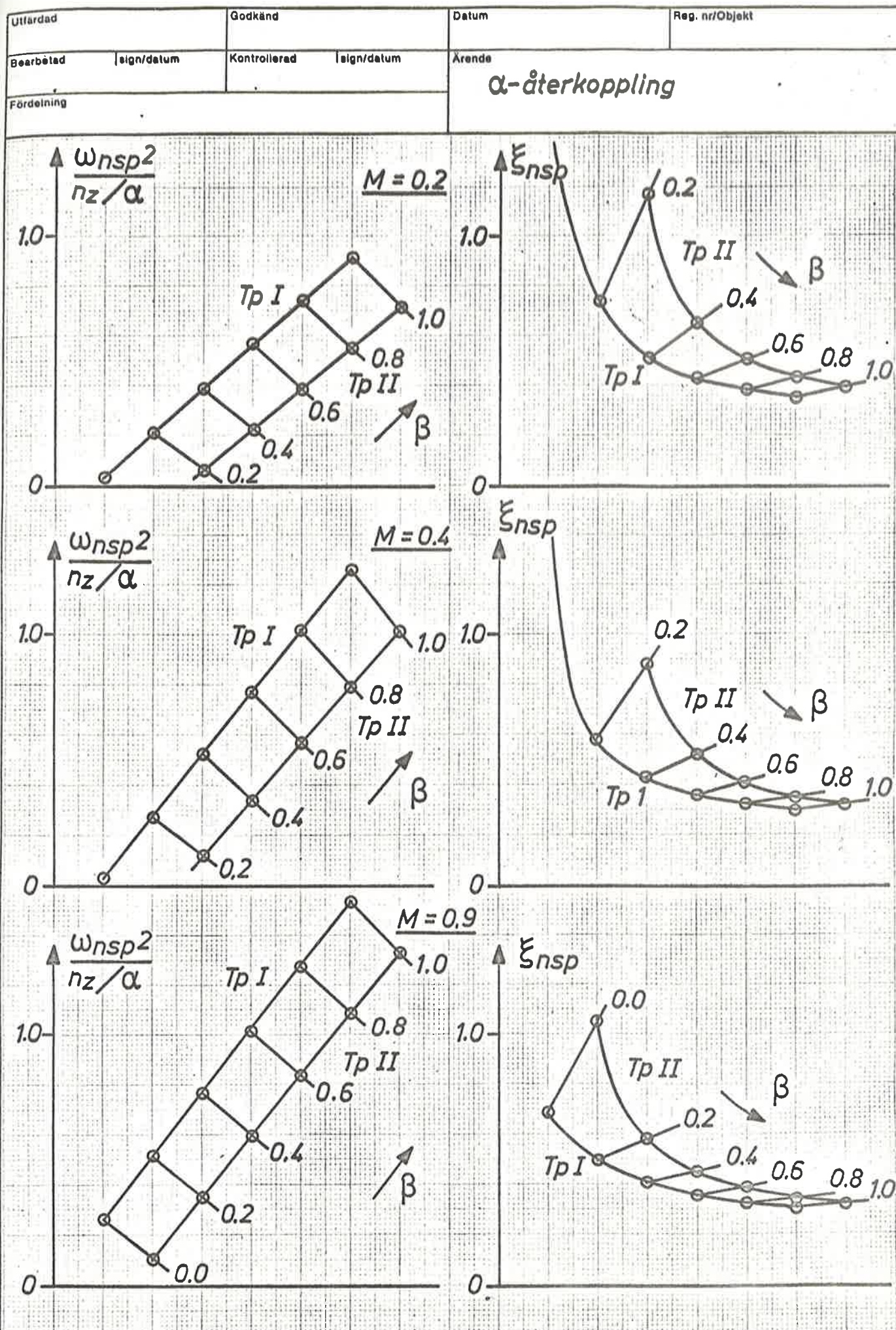
Utfärdad	Godkänd	Datum	Reg. nr/Objekt
Bearbetad	sign/datum	Kontrollerad	sign/datum
Fördelening		Ärende	<i>α - återkoppling</i>



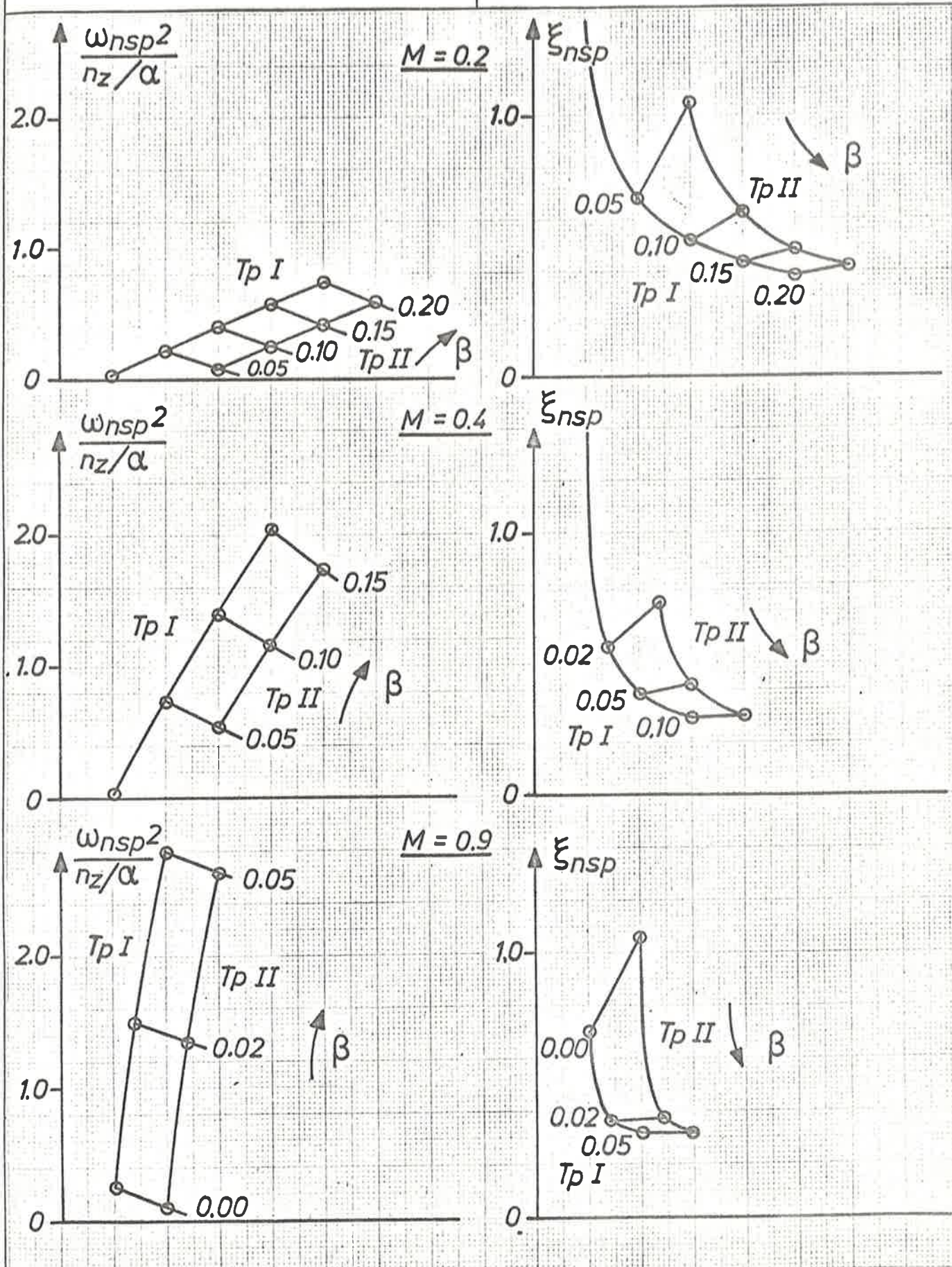
Utfärdad	Godkänd	Datum	Reg. nr/Objekt
Bearbetad	sign/datum	Kontrollerad	sign/datum
Fördelning			Ärende nz-återkoppling



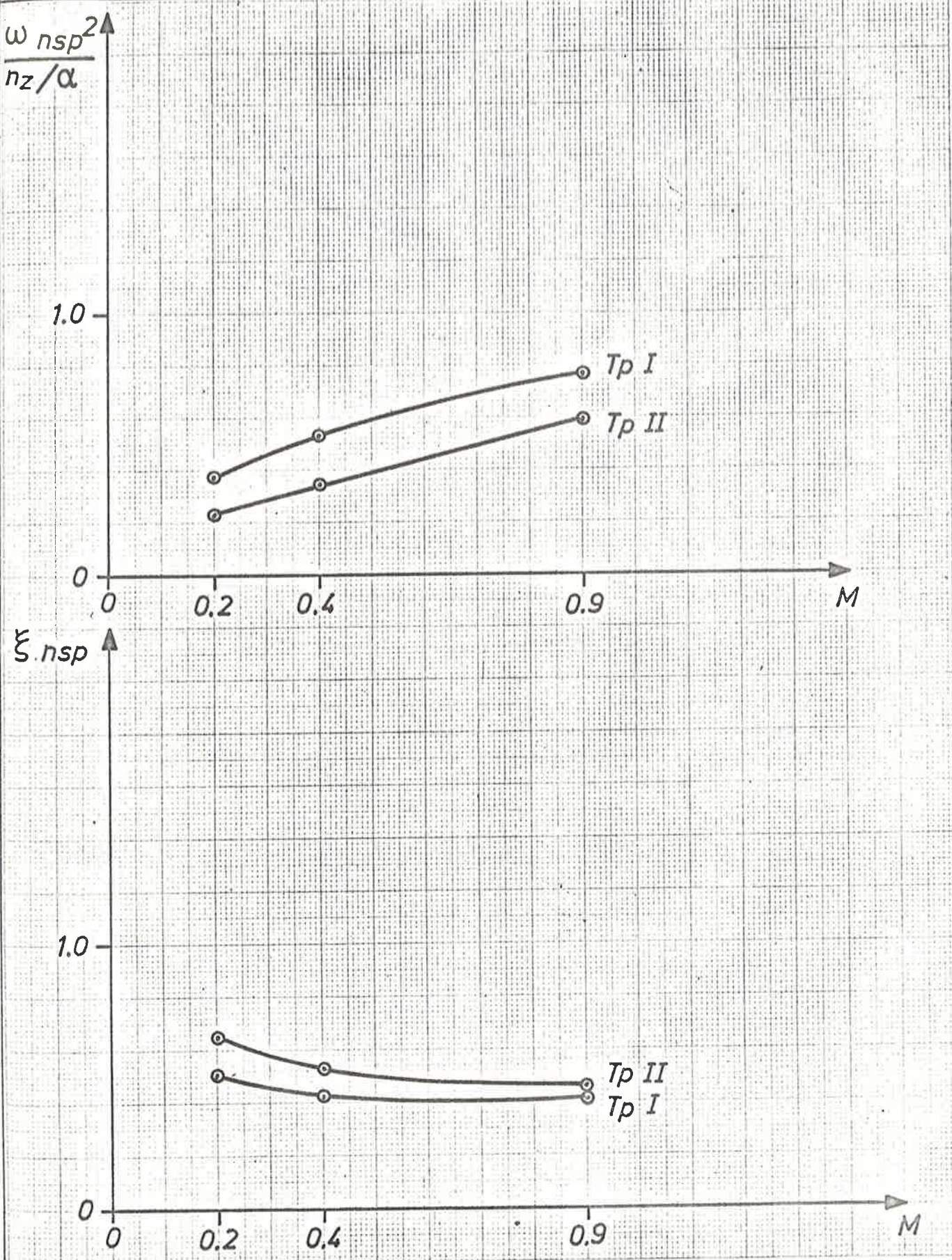




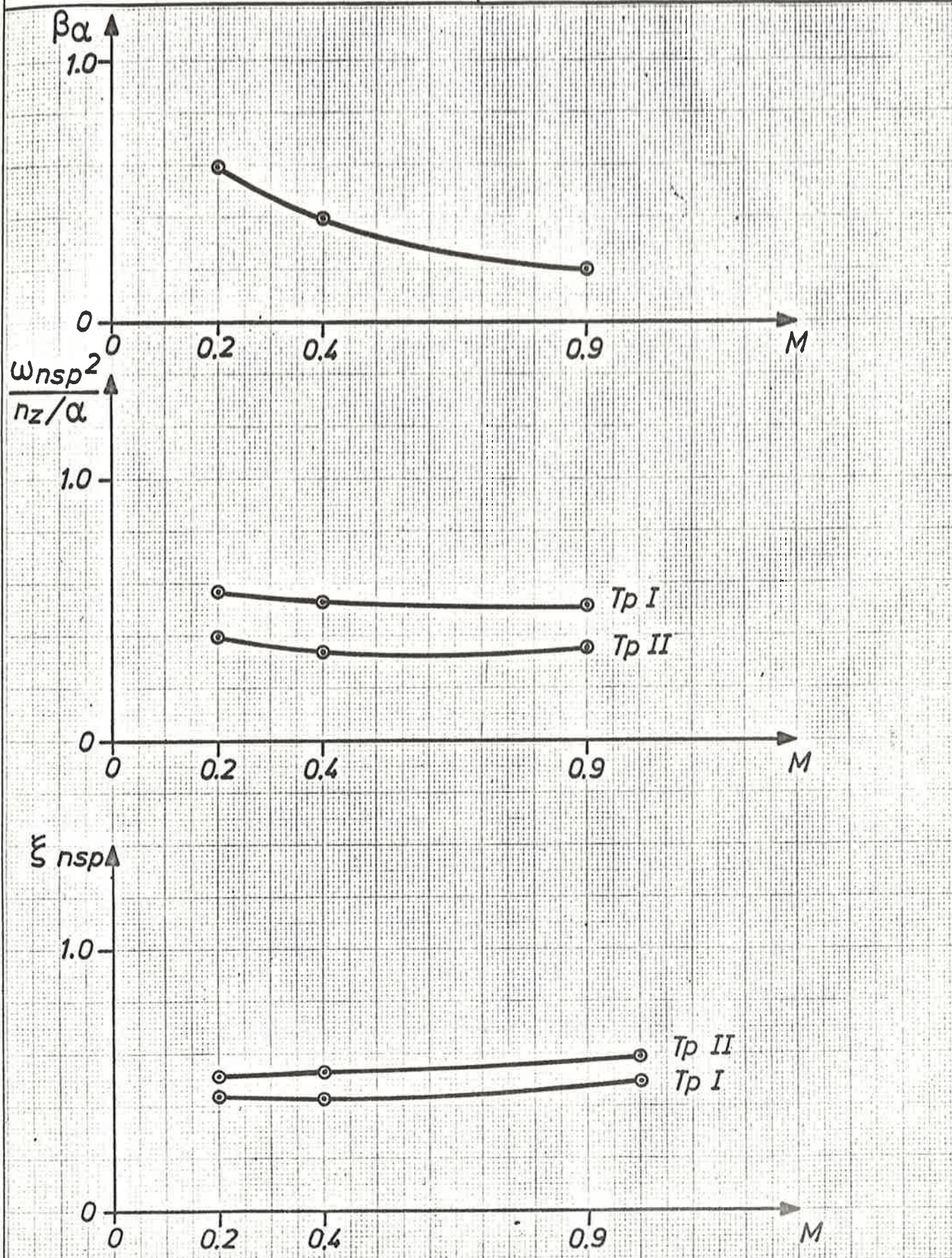
Utfärdad	Godkänd	Datum	Reg. nr/Objekt
Bearbetad sign/datum	Kontrollerad sign/datum	Ärende	
Fördelning			<i>nz</i> -återkoppling



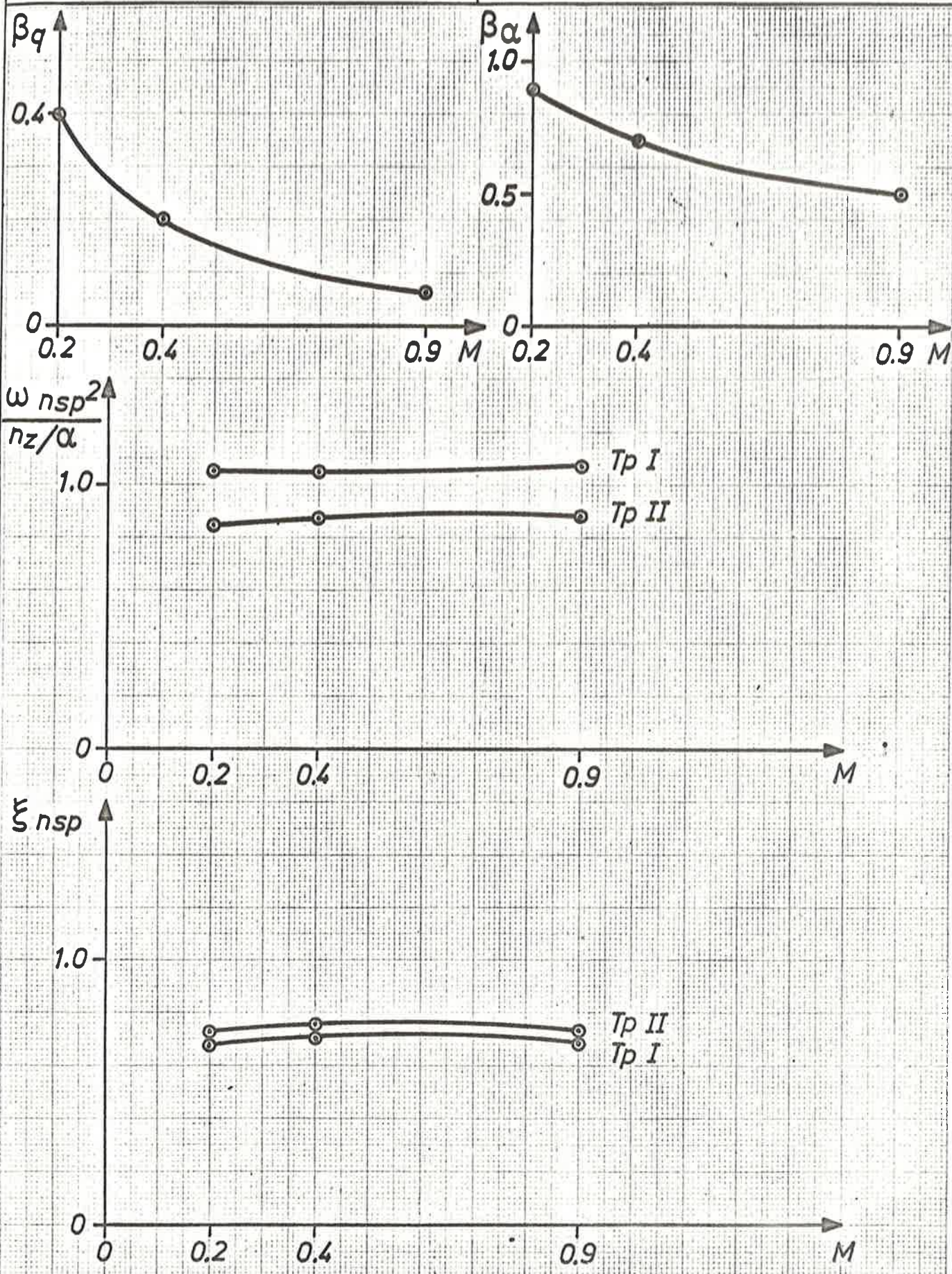
Ulfärdad	Godkänd	Datum	Reg. nr/Objekt
Bearbetad	sign/datum	Kontrollerad	sign/datum
Fördeining			Ärende Konstant $\alpha$ -återkoppling $\beta\alpha = 0.4$



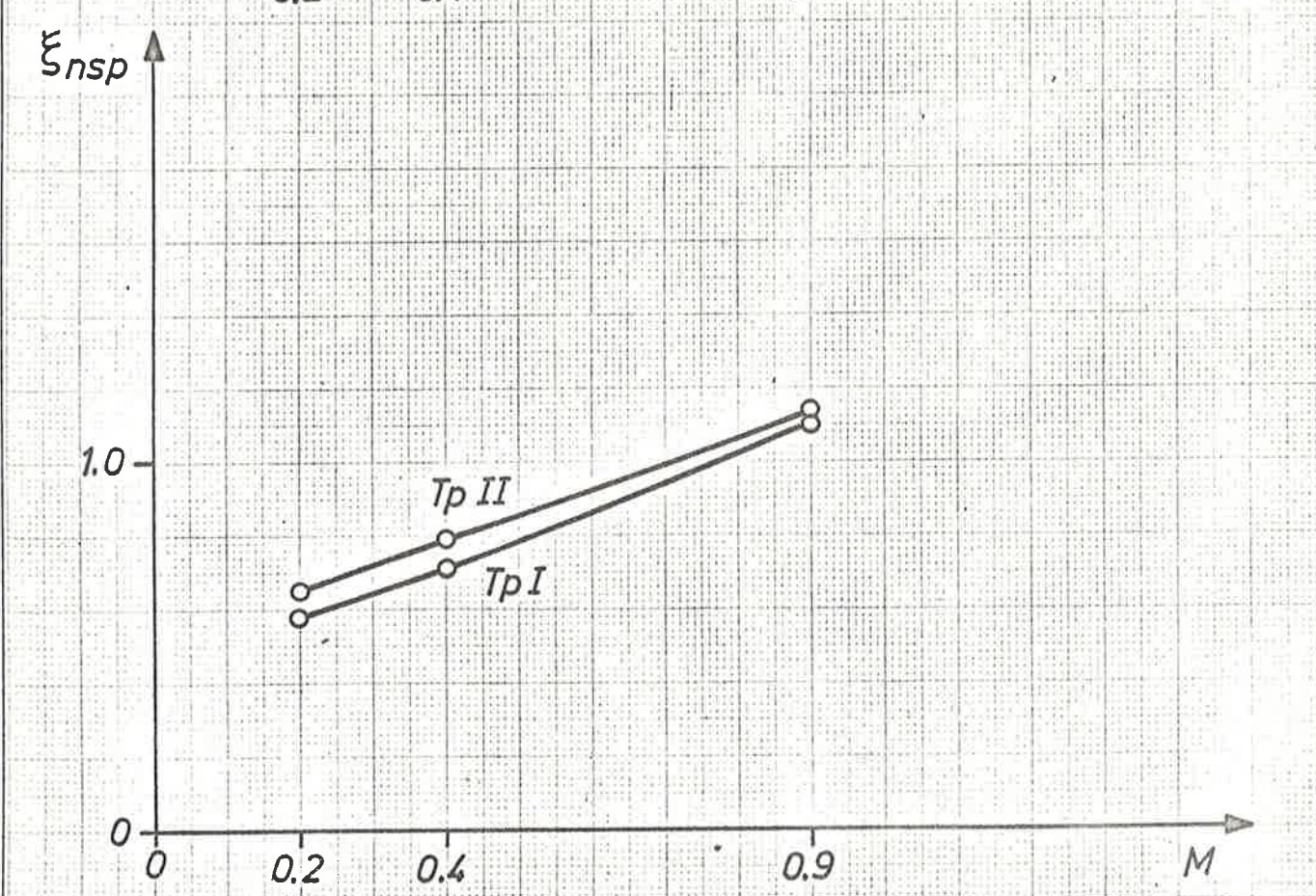
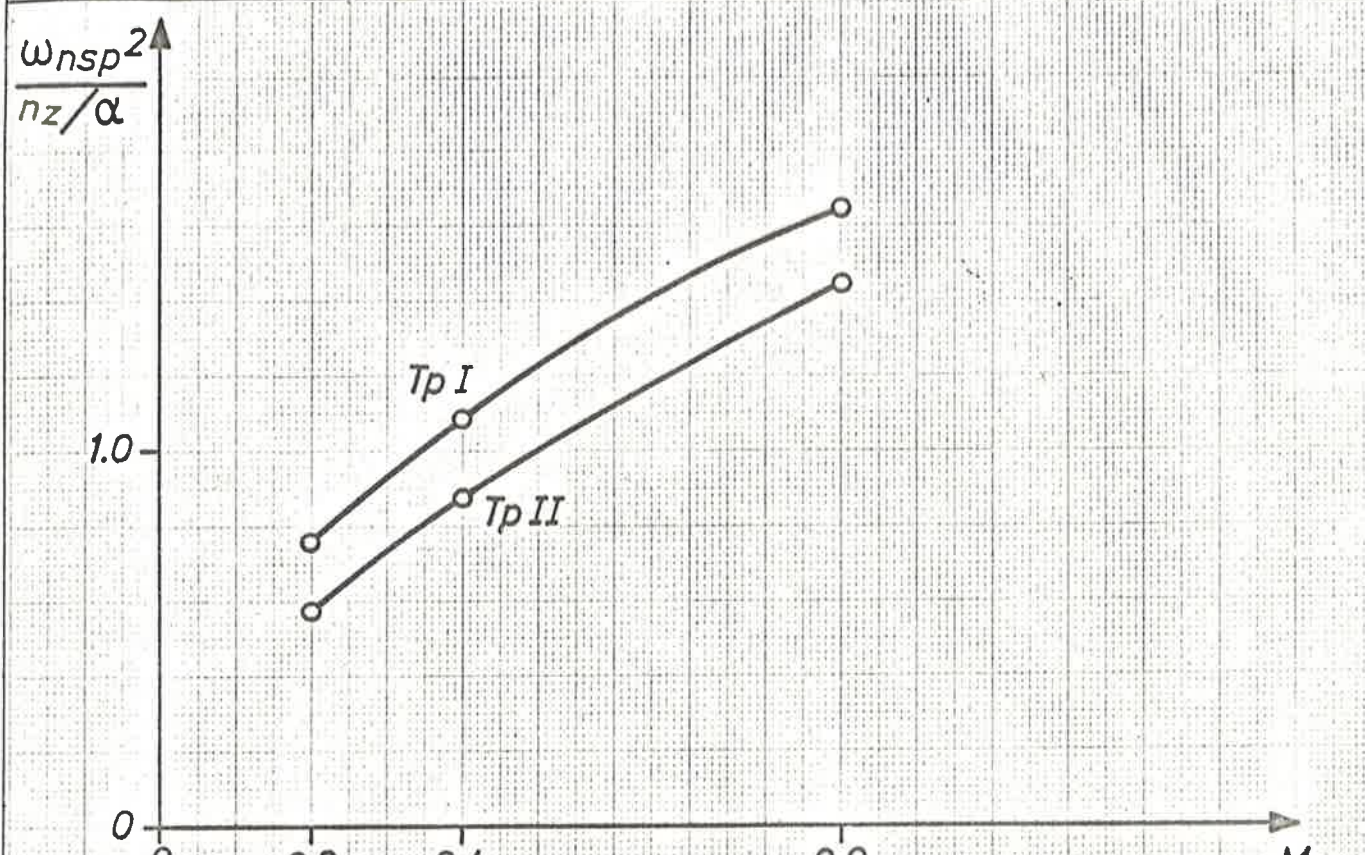
Utfärdad	Godkänd	Datum	Reg. nr/Objekt
Bearbetad	sign/datum	Kontrollerad	sign/datum
Fördelning	Ärende Variabel $\alpha$ -återkoppling		



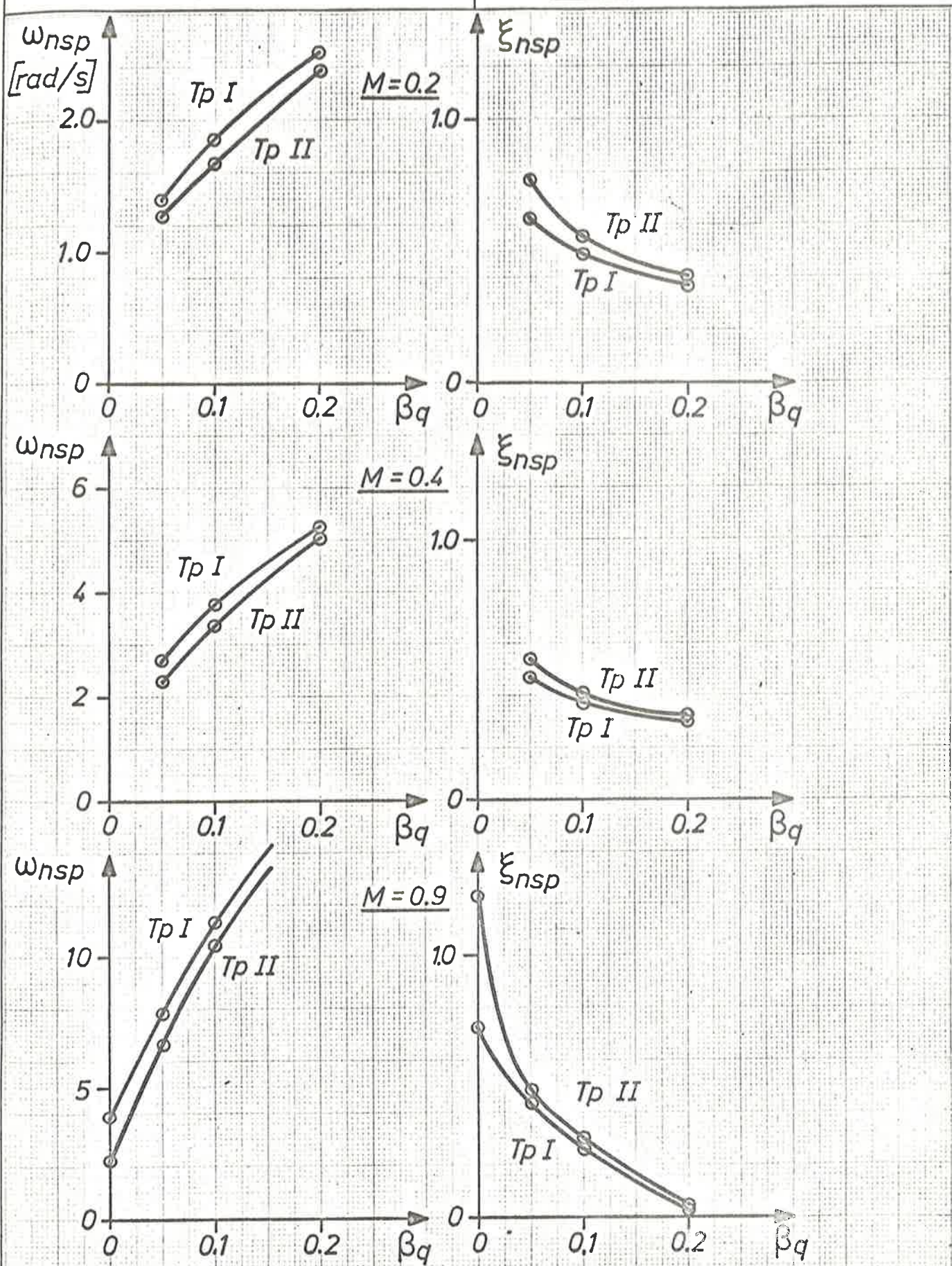
Utfärdad	Godkänd	Datum	Reg. nr/Objekt
Bearbetad	sign/datum	Kontrollerad	sign/datum
Fördelning	Ärende Variabel $q$ - och $\alpha$ -återkoppling		

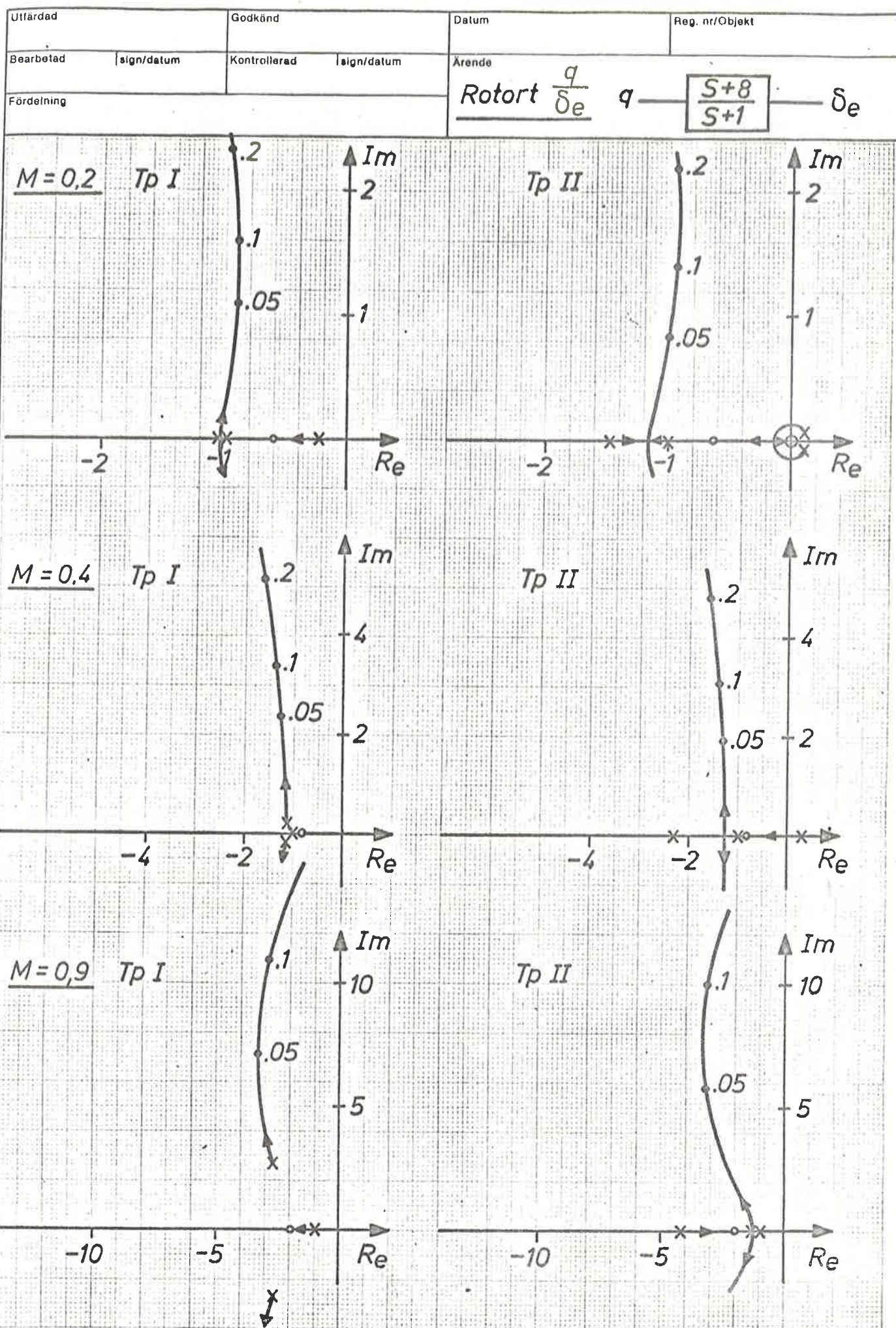


Uttärdad	Godkänd	Datum	Reg. nr/Objekt
Bearbetad	sign/datum	Kontrollerad	sign/datum
Fördelning	Ärende <i>Konstant q- och α-återkoppling</i> $\beta_q = 0.2 \quad \beta_\alpha = 0.7$		



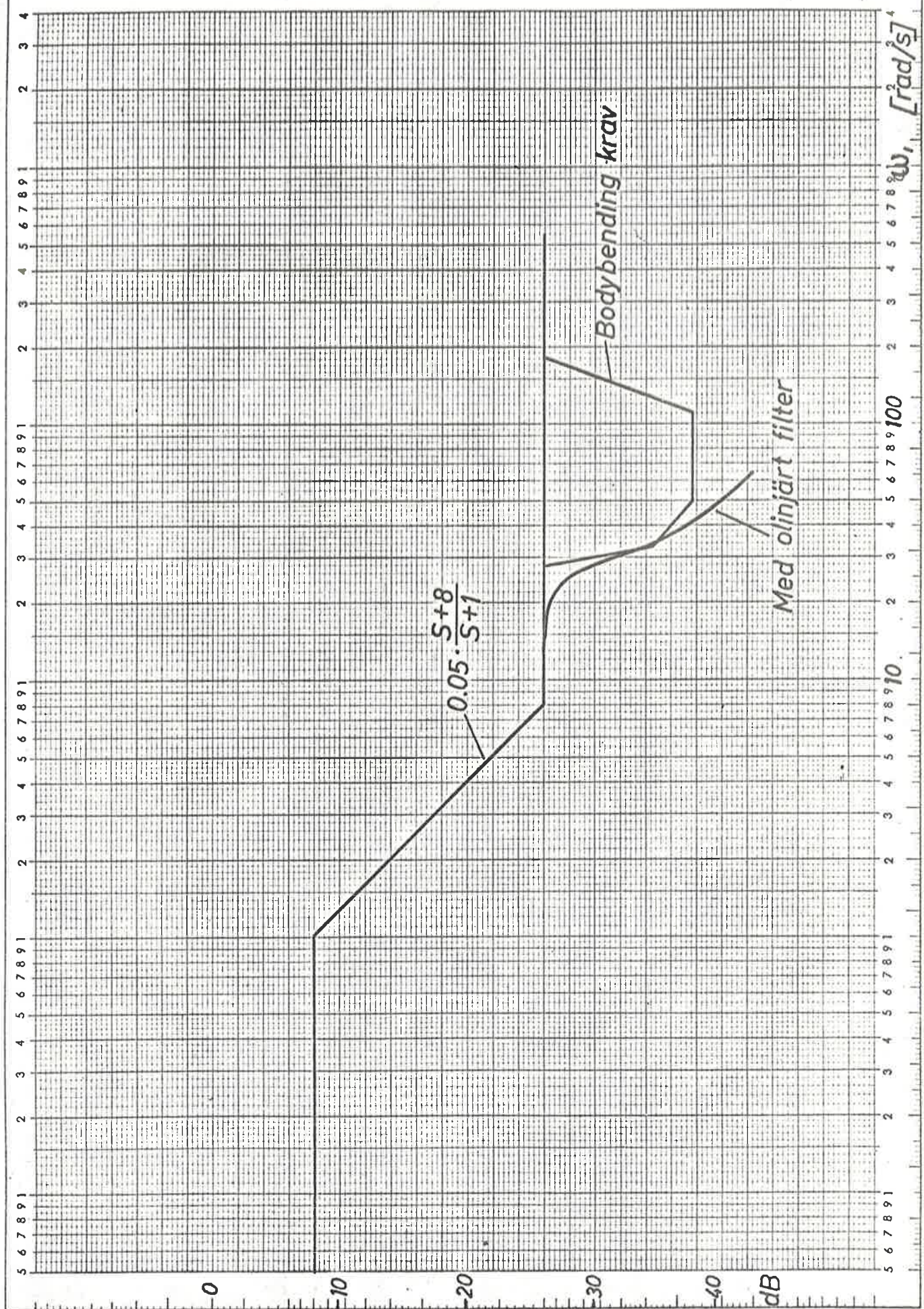
Uttärdad	Godkänd	Datum	Reg. nr/Objekt
Bearbetad	sign/datum	Kontrollerad	sign/datum
Fördelning		Ärende	$q \rightarrow \frac{S+8}{S+1} \rightarrow \delta_e$



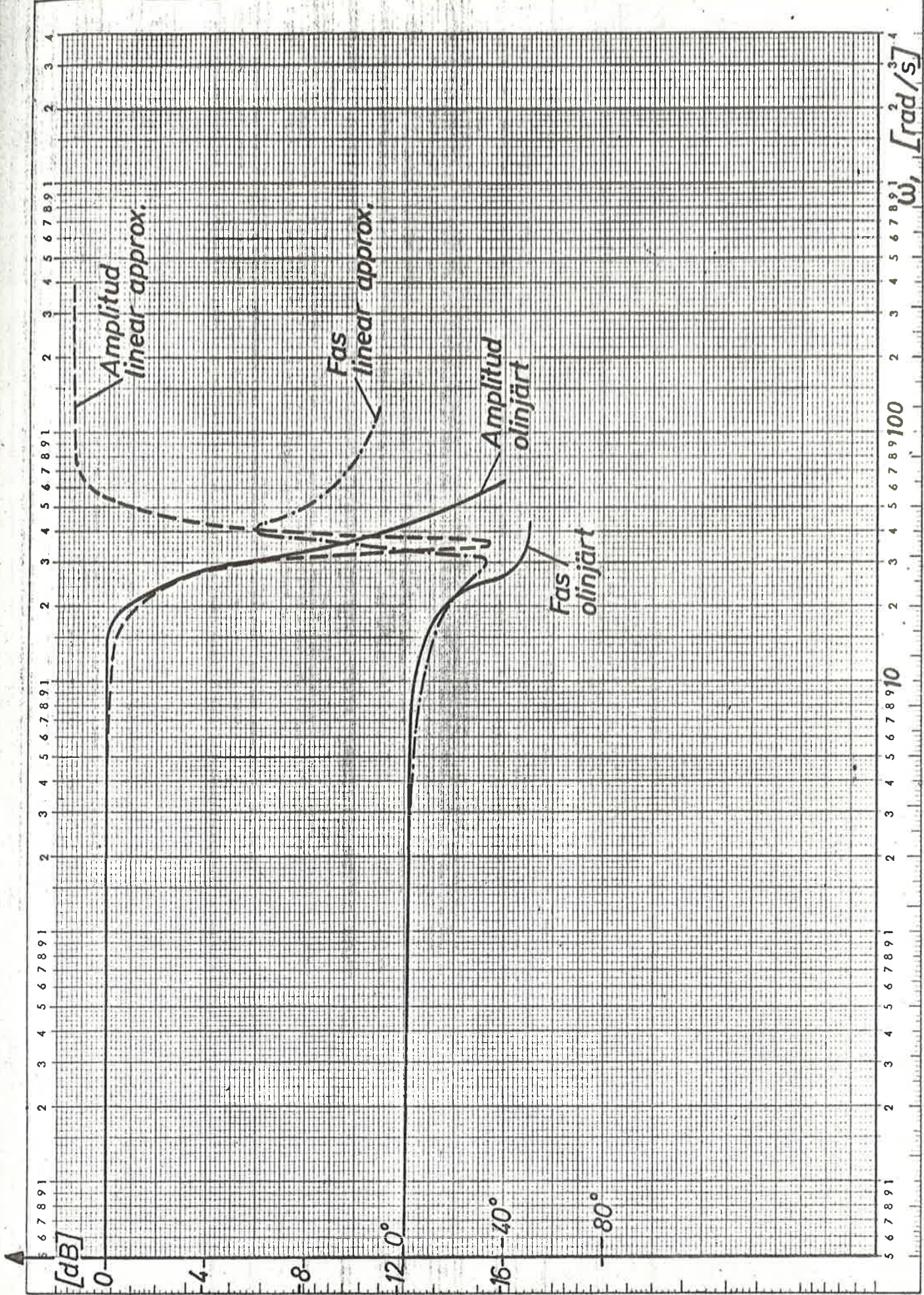


Bodybending krav  
PI-q-återföring

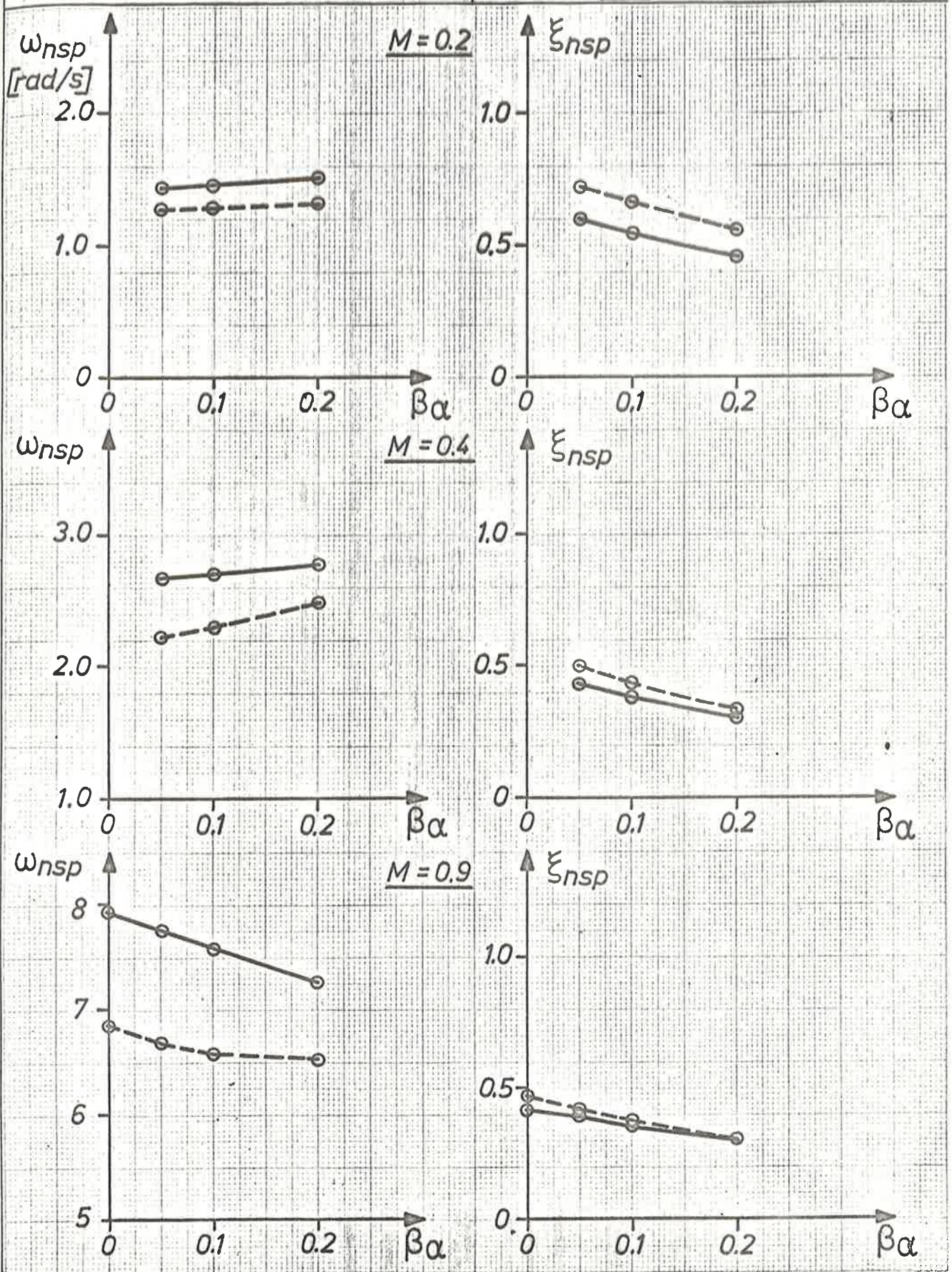
16



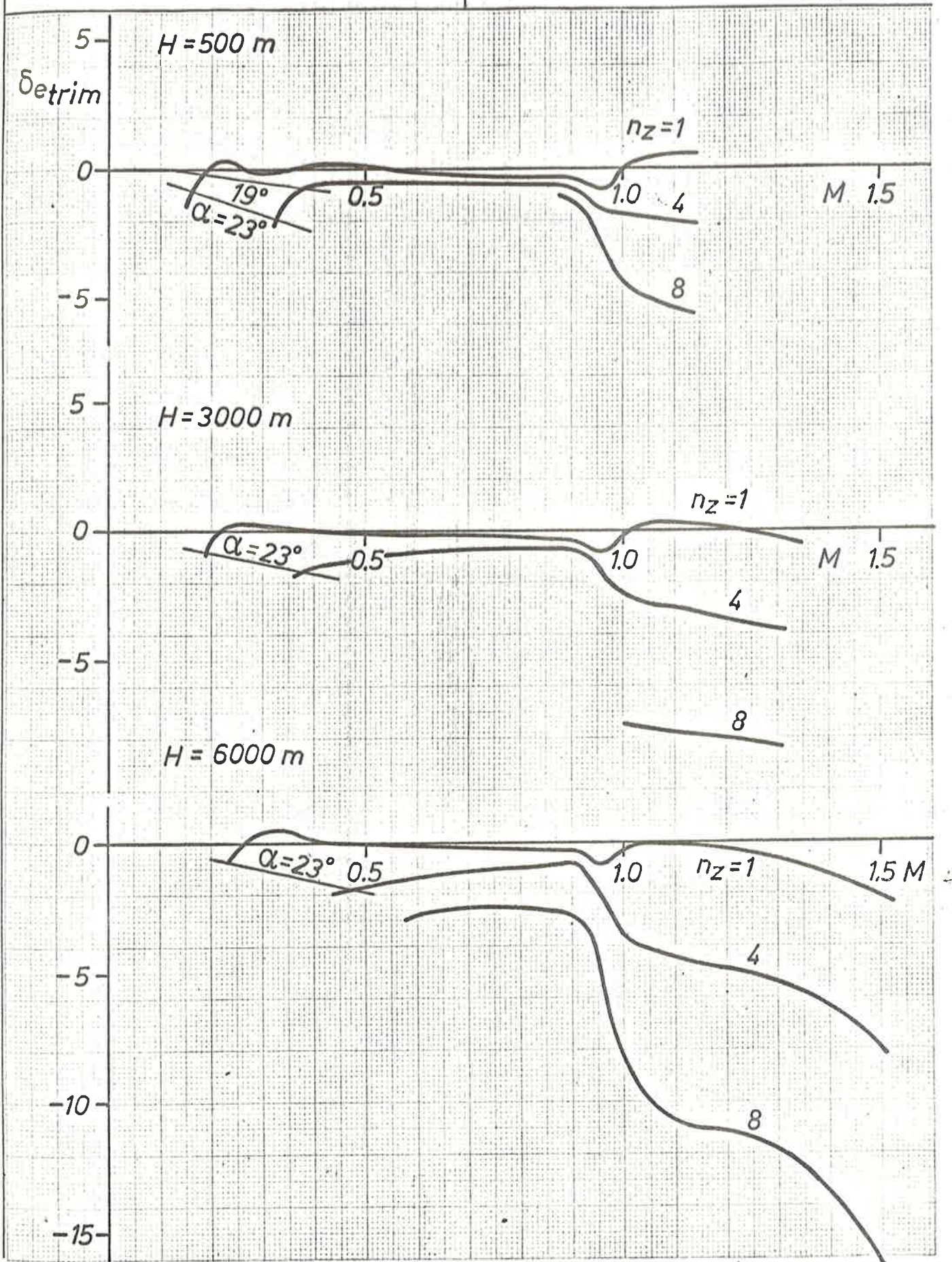
Amplitud och faskurva för  
olinjärt filter



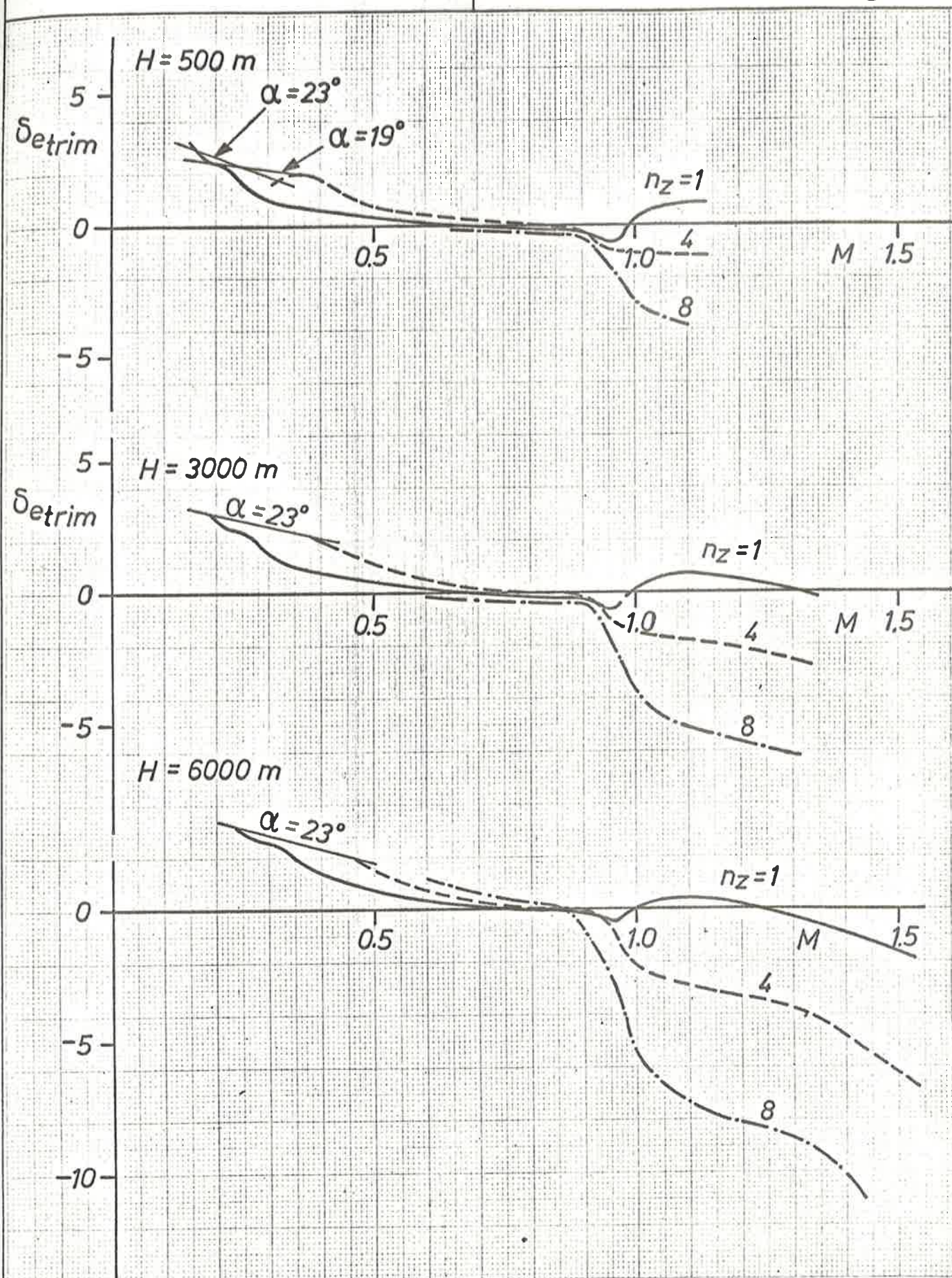
Utfärdad	Godkänd	Datum	Reg. nr/Objekt
Bearbetad	sign/datum	Kontrollerad	sign/datum
Fördelning		Ärende	$q \xrightarrow{0.05 \cdot \frac{s+\delta}{s+1}} + \alpha_e$



Utfärdad	Godkänd	Datum	Reg. nr/Objekt
Bearbetad	sign/datum	Kontrollerad	sign/datum
Fördelning		Ärende	$\delta_{etrim}$ 37 RSS/ESS $T_p I$ $m = 14.000 \text{ kg}$



Utfärdad	Godkänd	Datum	Reg. nr/Objekt
Bearbetad sign/datum	Kontrollerad sign/datum	Ärende 37 RSS/ESS Tp II	Detrim
Fördelning			$m = 14000 \text{ kg}$



Uttärdad	Datum	Utgåva	Sida
----------	-------	--------	------

Stegsvar vid vindbystörning

t sek

w

5 m/s

q

20 linj =  
1/80 rad/s

n z

20 linj =  
.8 g

$\alpha$

20 linj =  
1/20 rad

$\delta_e$

20 linj =  
1/320 rad

M = 2

H = 5 km

TP 1

$\beta = .05$

t sek

w

5 m/s

q

20 linj =  
1/80 rad/s

n z

20 linj =  
.8 g

$\alpha$

20 linj =  
1/20 rad

$\delta_e$

20 linj =  
1/320 rad

M=.2

H=.5km

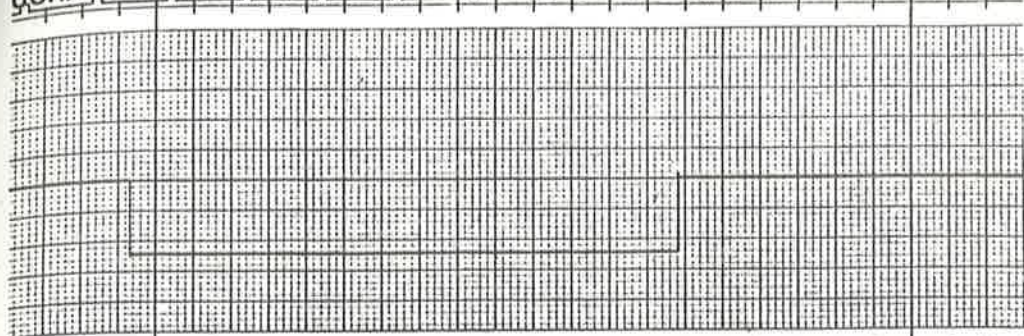
TP 1

$\beta = .1$

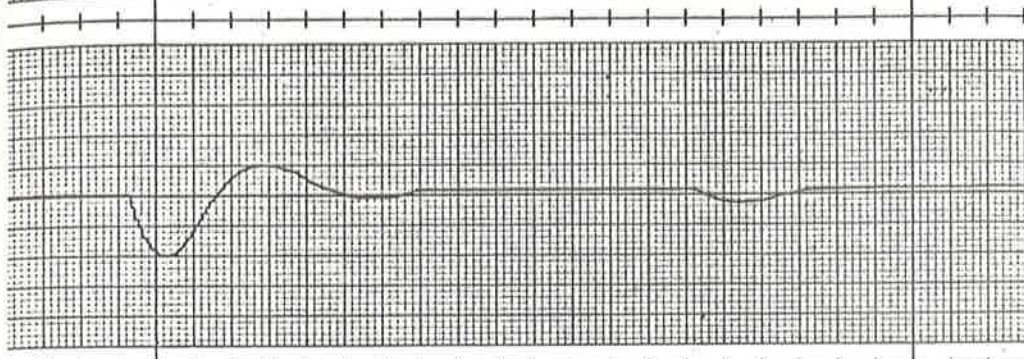
U-CHART

Gould Inc., Instrument Systems Division

Cleveland, Ohio

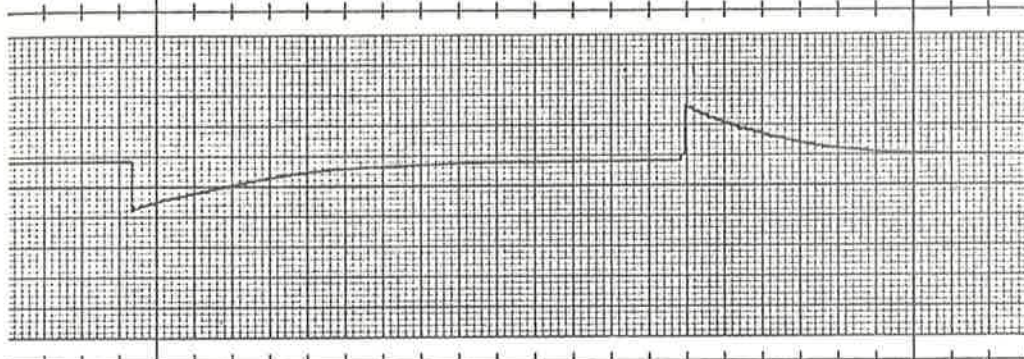


t sek



w

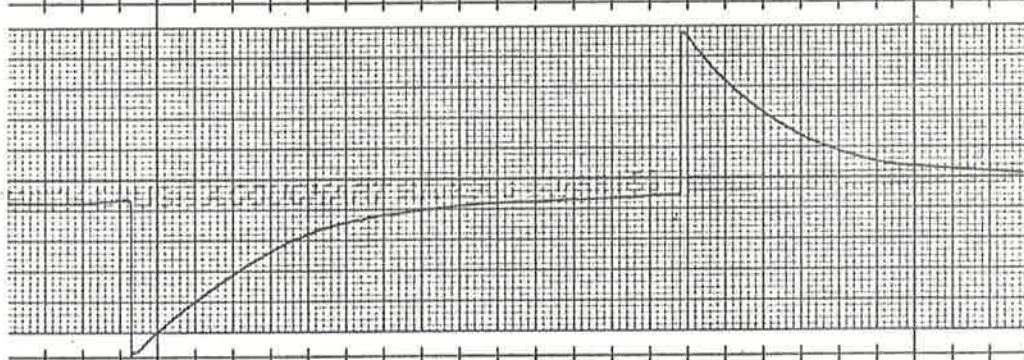
5 m/s



q

20 linj =

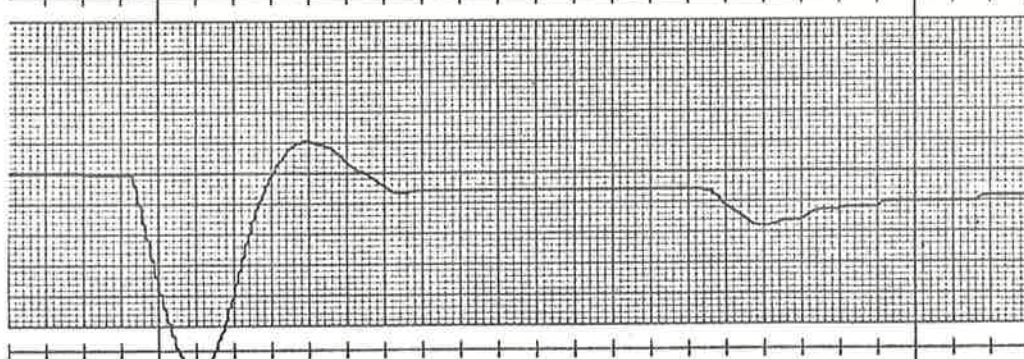
1/80 rad/s



n z

20 linj =

.8 g



$\alpha$

20 linj =

1/20 rad

$\delta_e$

20 linj =

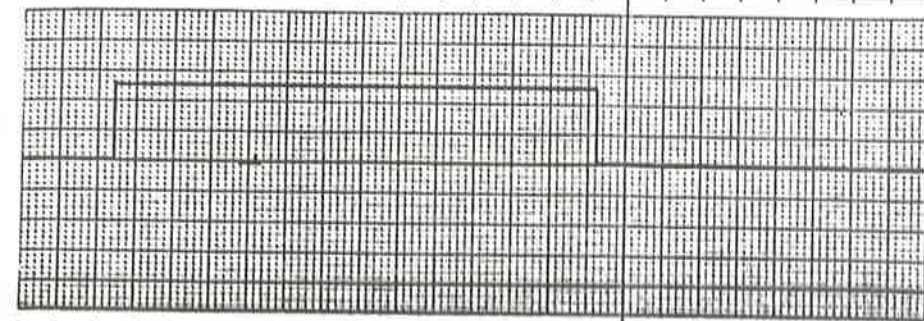
1/320 rad

M=.2

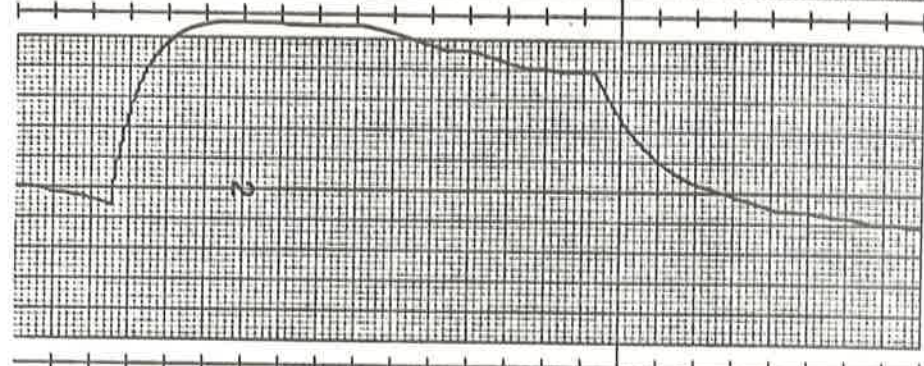
H=.5km

TP 1

$\beta=.2$

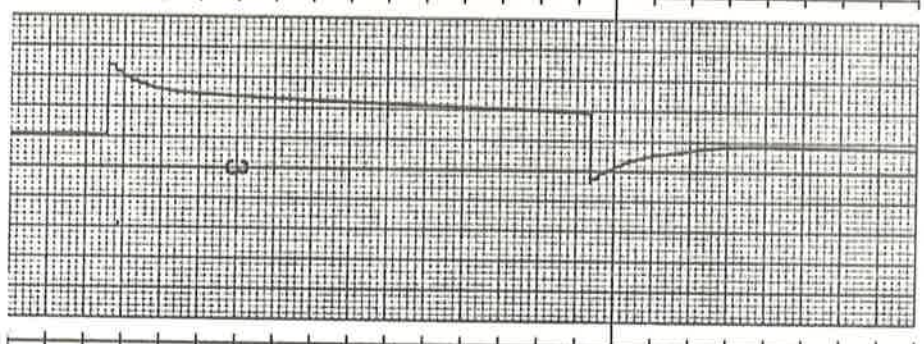


$t$  sek



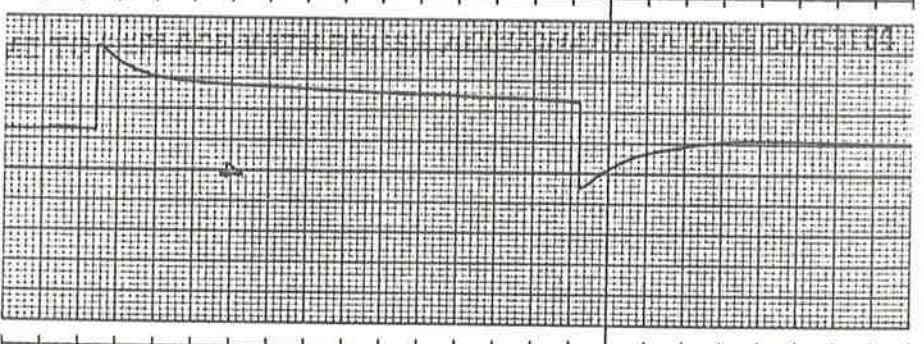
$\dot{\theta}$

$$20 \text{ linj} = \\ 1/80 \text{ rad/s}$$



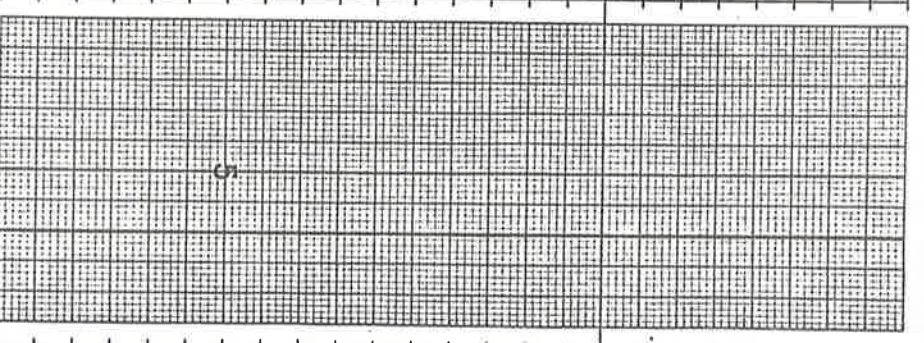
$n_z$

$$20 \text{ linj} = \\ .8 \text{ g}$$



$\alpha$

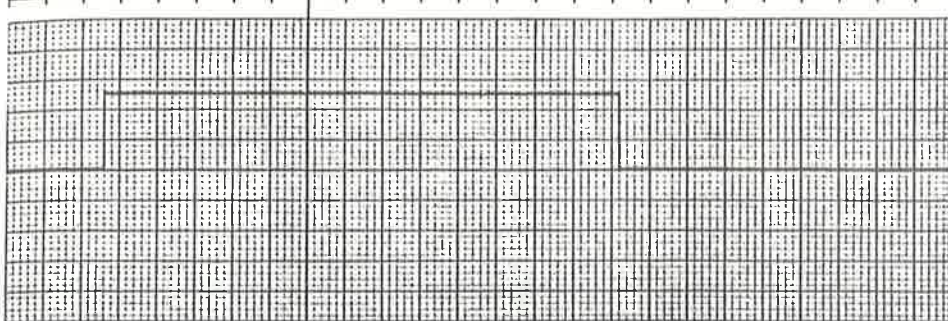
$$20 \text{ linj} = \\ 1/20 \text{ rad}$$



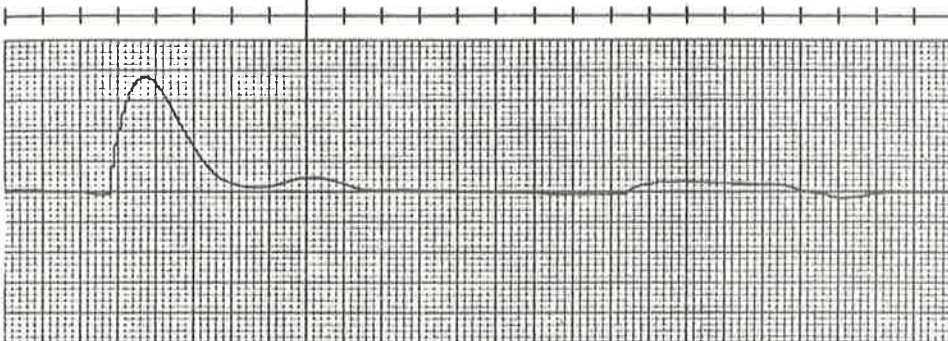
$\delta_e$

$$20 \text{ linj} = \\ 1/320 \text{ rad}$$

$M = .4$   
 $H = .5 \text{ km}$   
 $TP 1$   
 $\beta = 0$

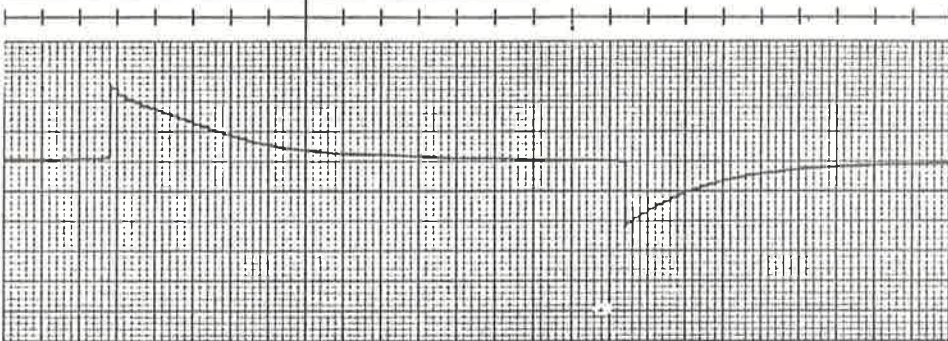


t sek



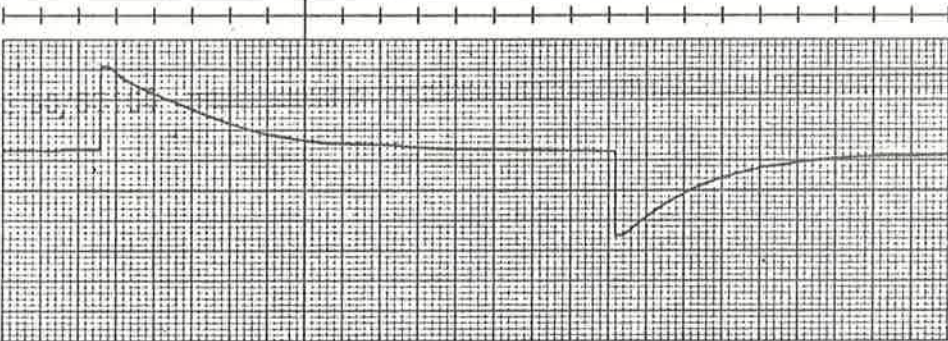
w

5 m/s



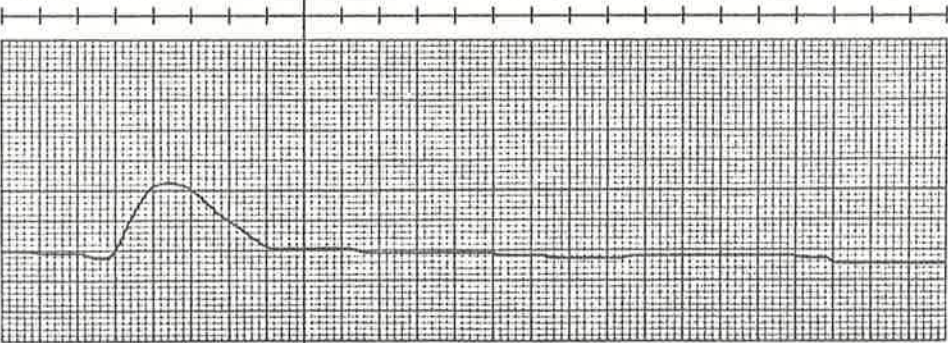
q

20 linj =  
1/80 rad/s



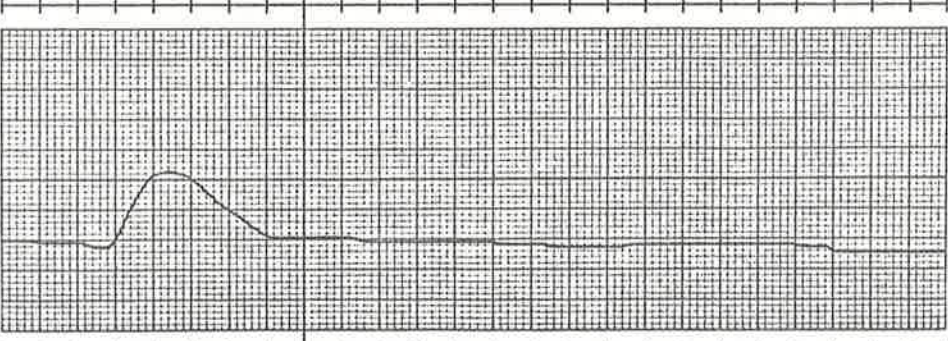
$n_z$

20 linj =  
.8 g



$\alpha$

20 linj =  
1/20 rad



$\delta_e$

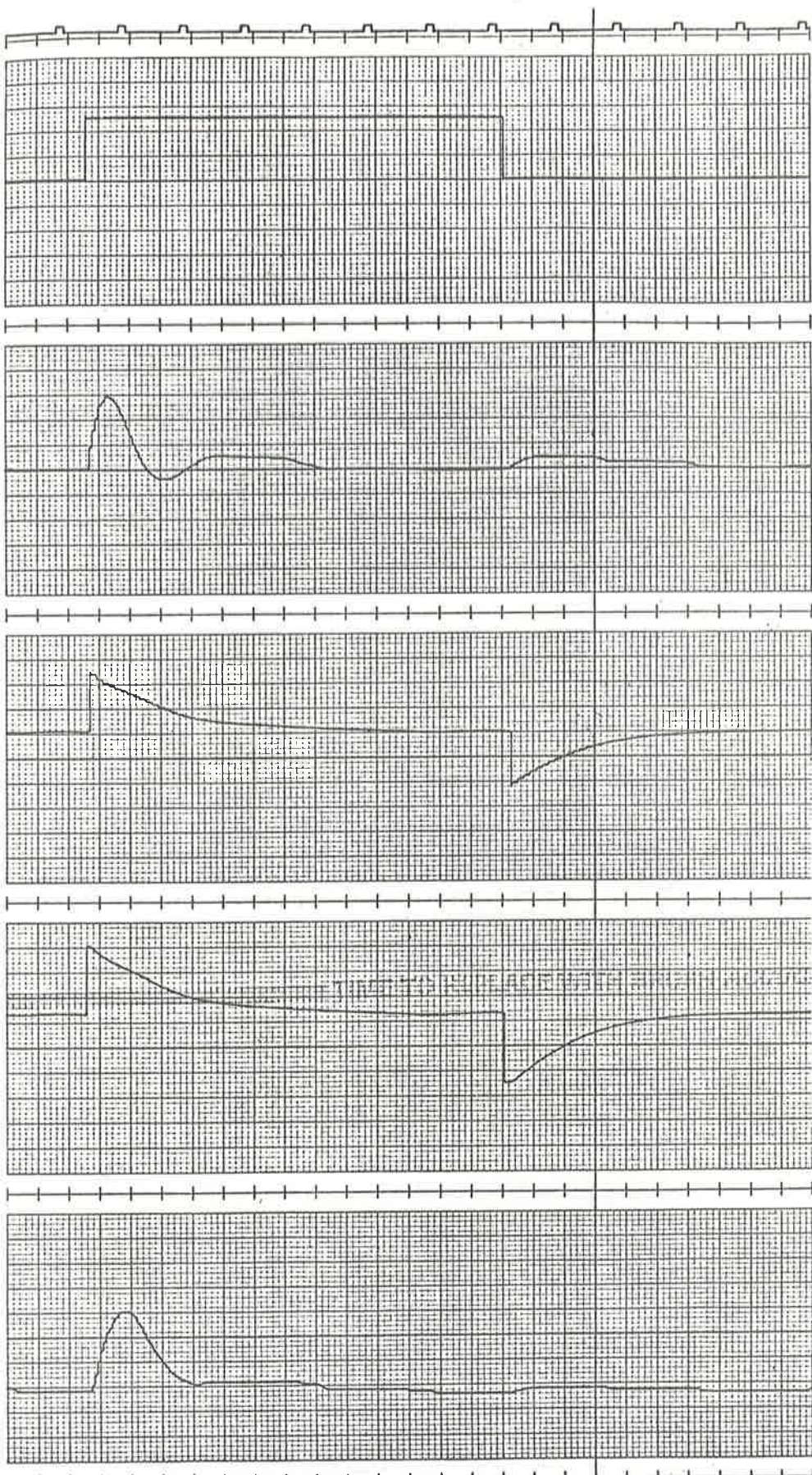
20 linj =  
1/320 rad

M=.4

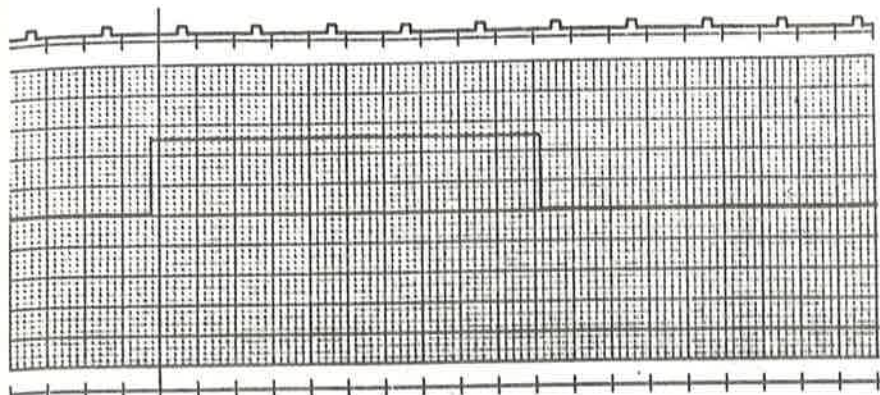
H=.5km

TP1

$\beta=.05$



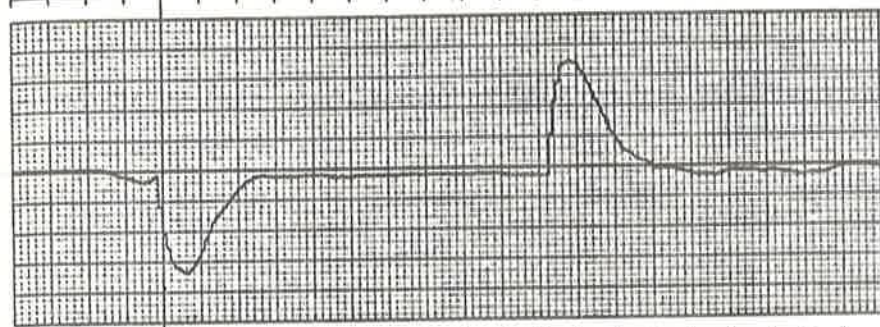
$t$  sek  
 $w$   
 $5 \text{ m/s}$   
 $\beta$   
 $20 \text{ linj} = 1/80 \text{ rad/s}$   
 $n_z$   
 $20 \text{ linj} = .8 \text{ g}$   
 $\alpha$   
 $20 \text{ linj} = 1/20 \text{ rad}$   
 $\delta_e$   
 $20 \text{ linj} = 1/320 \text{ rad}$   
 $M=4$   
 $H=5\text{km}$   
 $TP1$   
 $\beta=.1$



$t$  sek

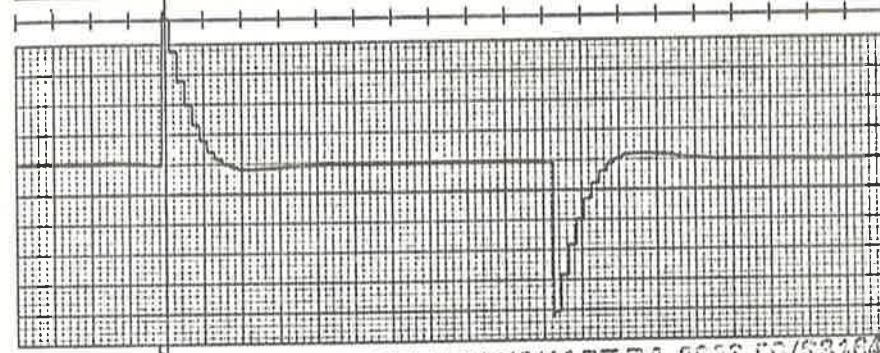
w

5 m/s



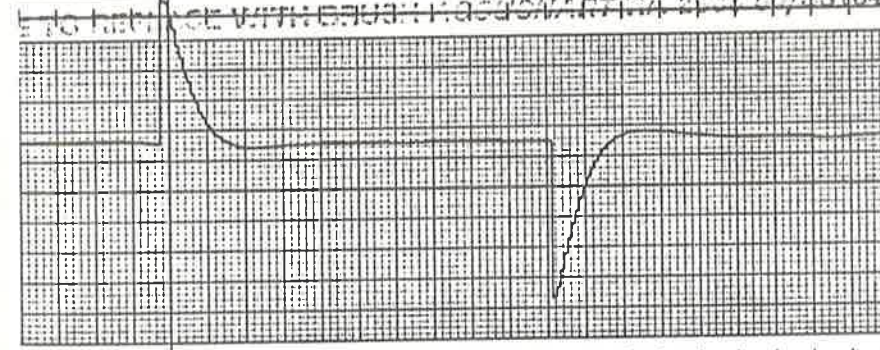
q

20 linj =  
1/80 rad/s



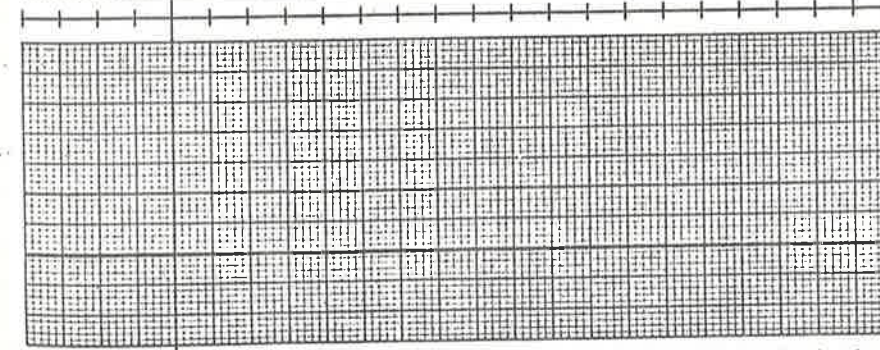
$n_z$

20 linj =  
.8 g



$\alpha$

20 linj =  
1/80 rad



$\delta_e$

20 linj =  
1/640 rad

$M = .9$

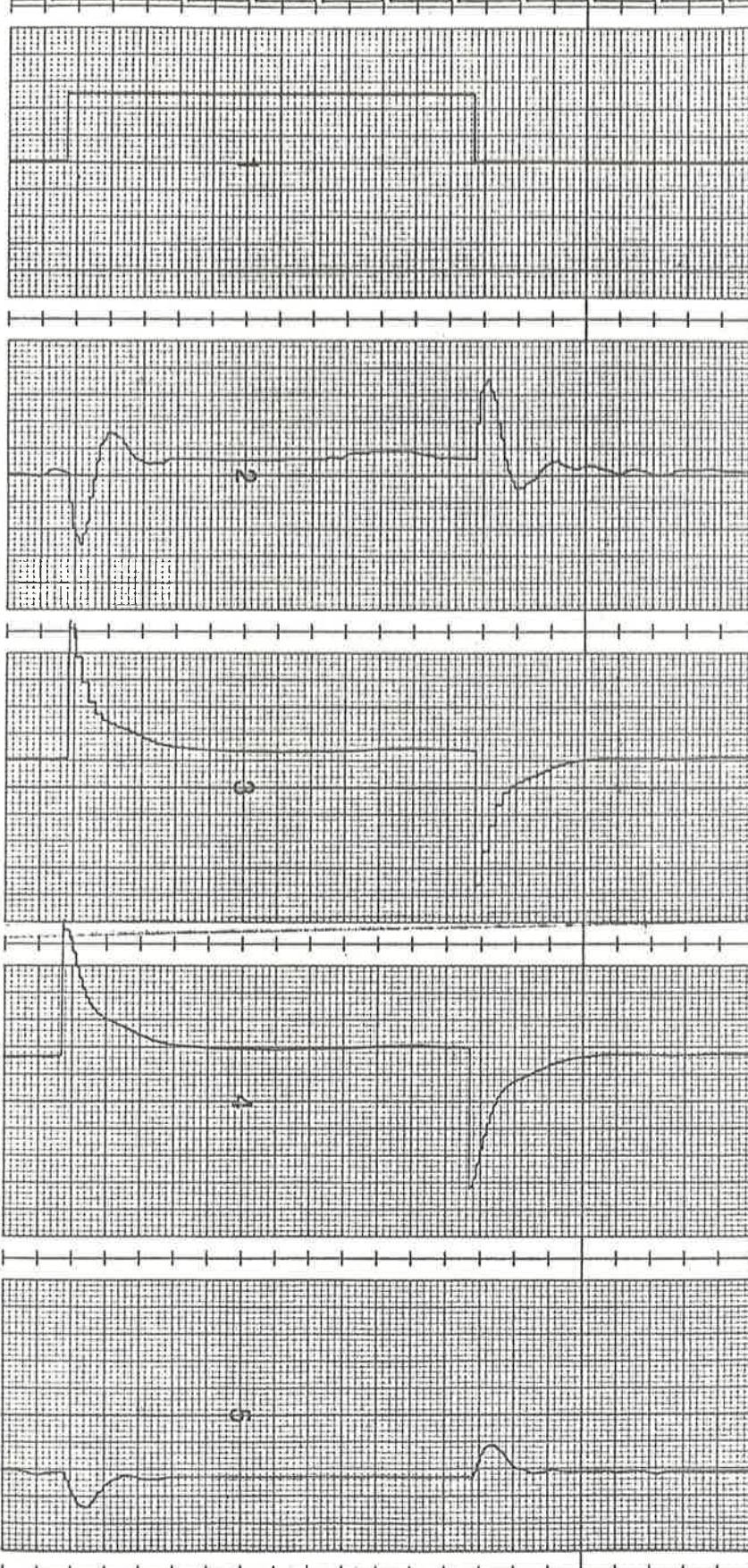
$H = .5 \text{ km}$

TP 1

$\beta = 0$

BRUSH ACCUCHART

Gould



t sek

w

5 m/s

q

20 linj =  
1/80 rad/s

n z

20 linj =  
.8 g

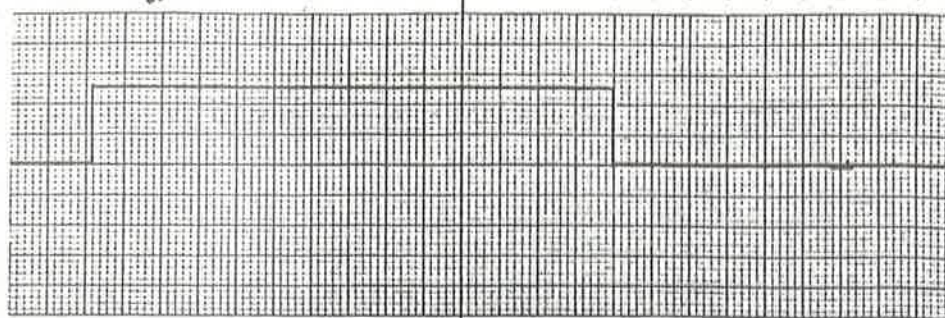
$\alpha$

20 linj =  
1/80 rad

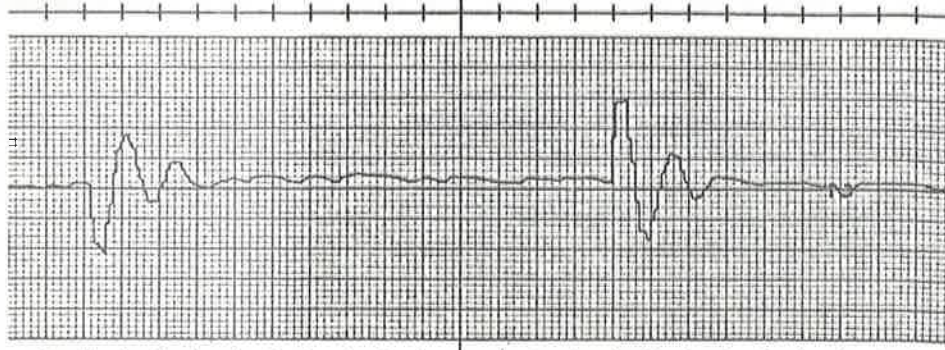
$\delta_e$

20 linj =  
1/640 rad

M=.9  
H=.5km  
TP 1  
 $\beta=.05$

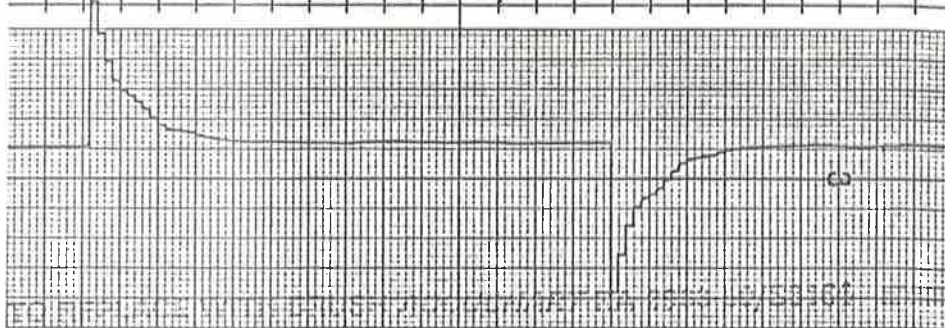


$t$  sek



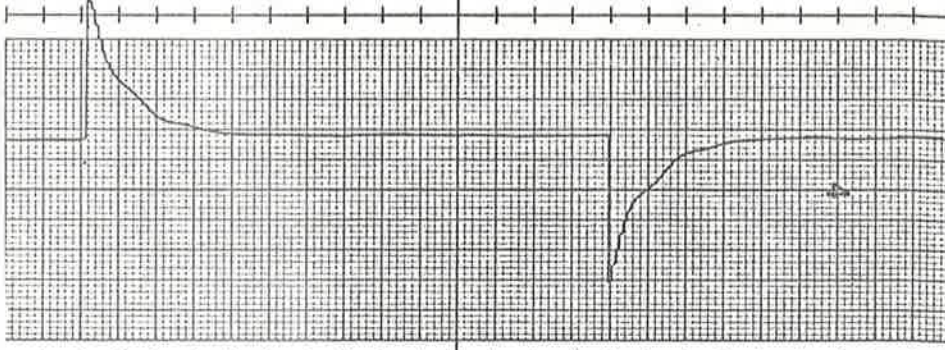
$w$

5 m/s



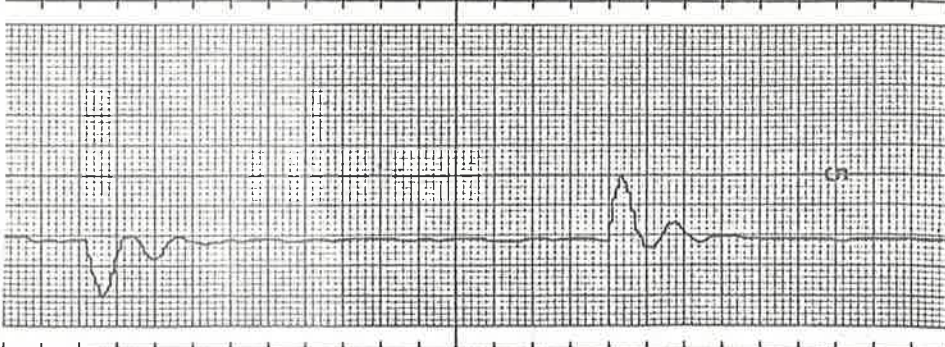
$q$

20 linj =  
1/80 rad/s



$n_z$

20 linj =  
.8 g



$\alpha$

20 linj =  
1/80 rad

$\delta_e$

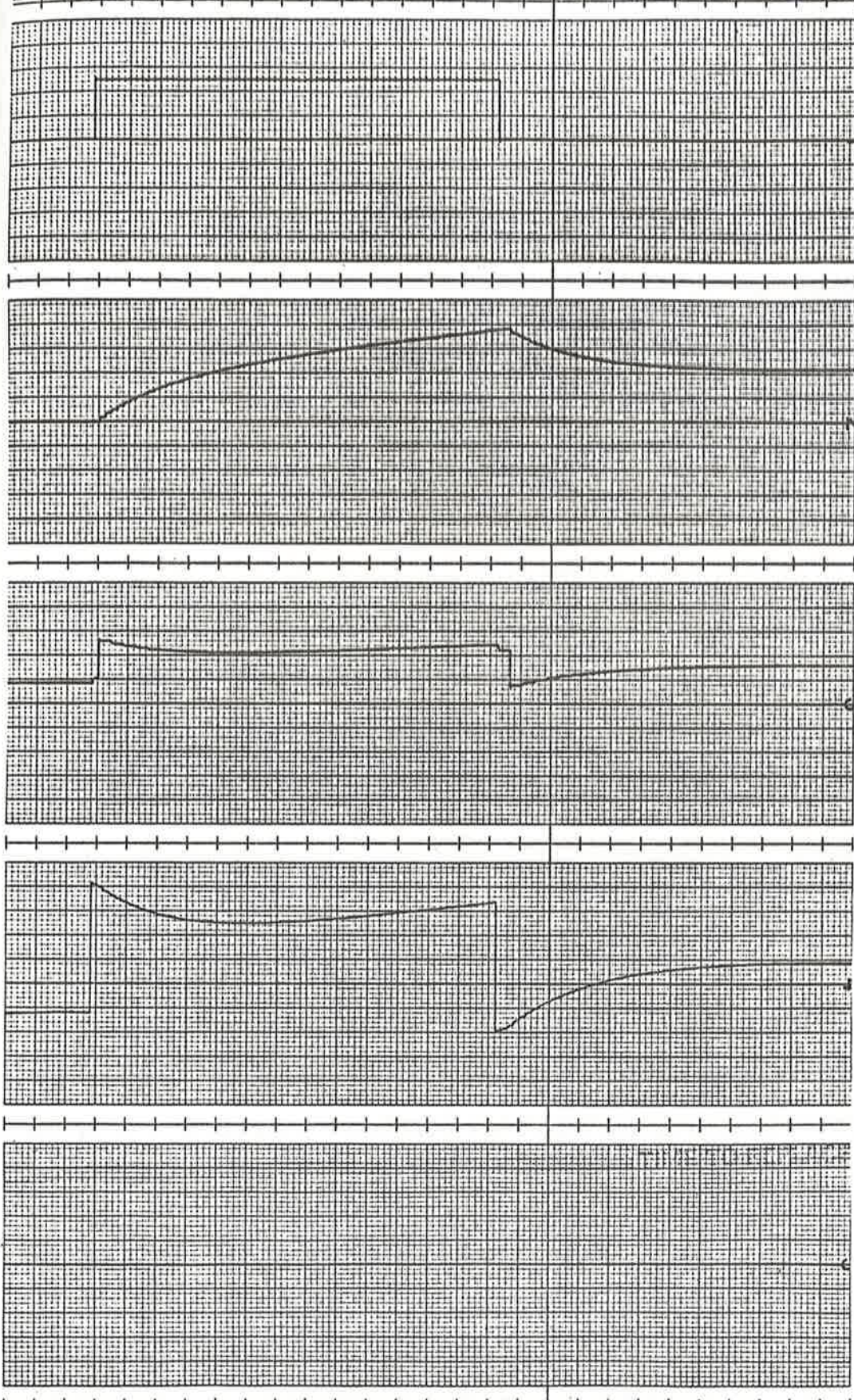
20 linj =  
1/640 rad

$M=.9$

$H=.5 \text{ km}$

TP 1

$\beta=.1$



t sek

w

5 m/s

q

20 linj =  
1/16 rad/s

n z

20 linj =  
.8 g

$\alpha$

20 linj =  
1/20 rad

$\delta_e$

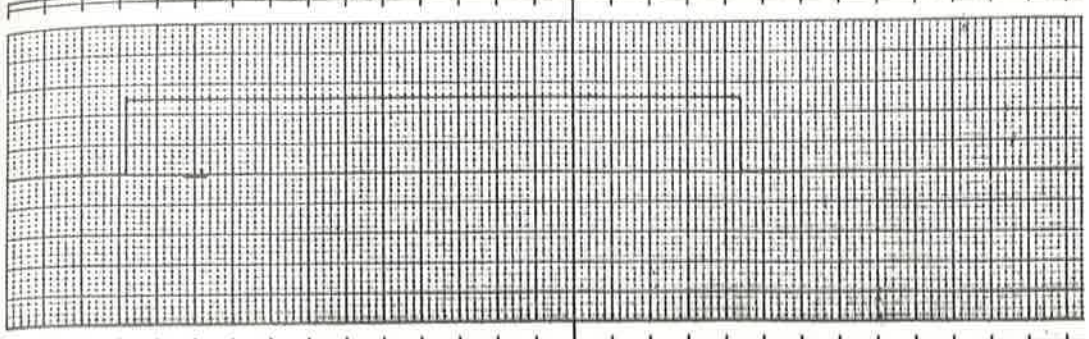
20 linj =  
1/64 rad

M=.2

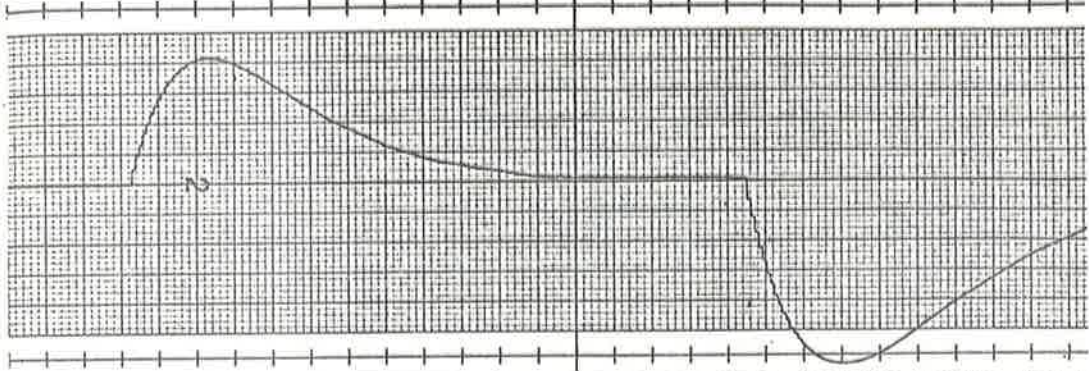
H=.5km

TP2

$\beta = 0$

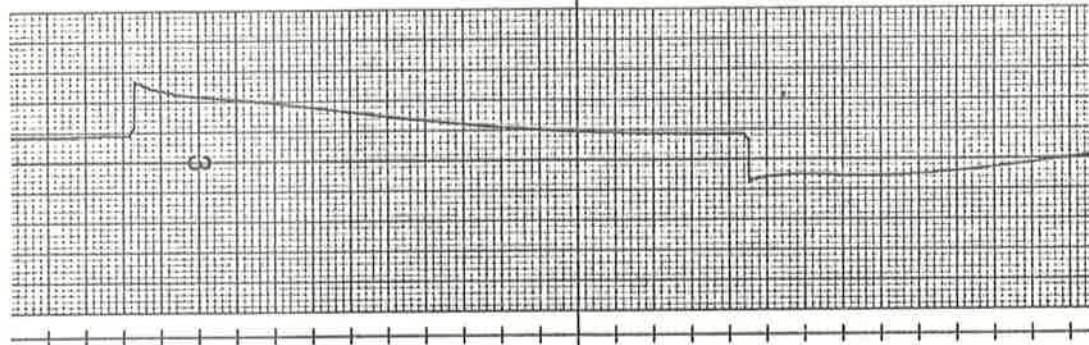


t sek



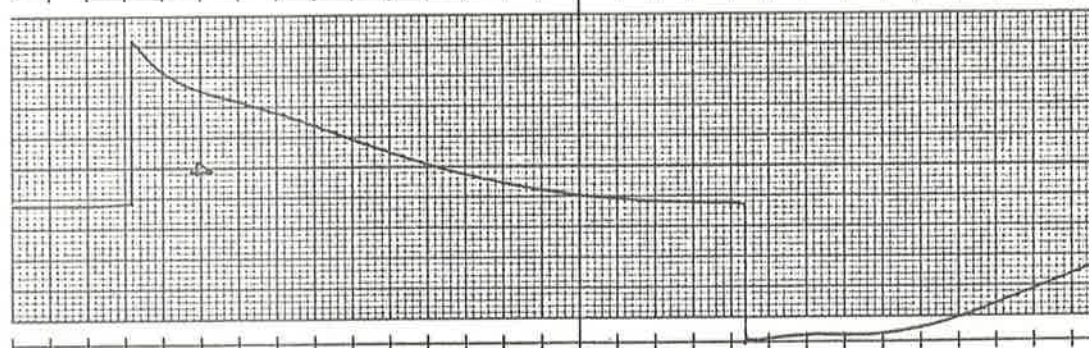
q

$$20 \text{ linj} = \\ 1/40 \text{ rad/s}$$



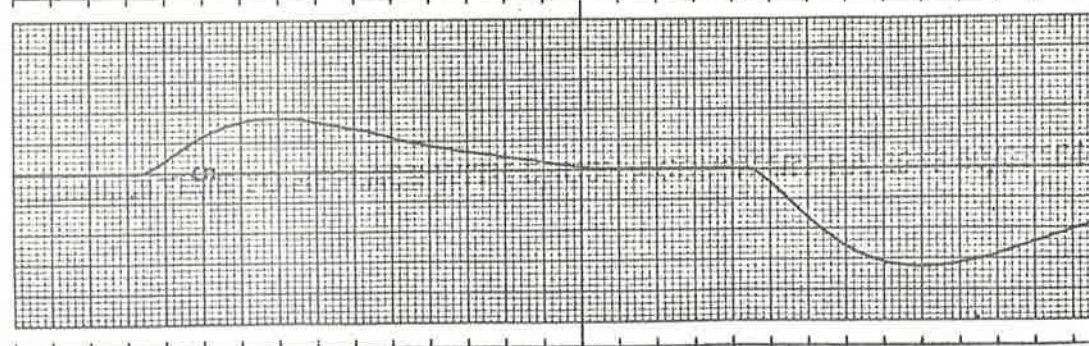
$n_z$

$$20 \text{ linj} = \\ .8 \text{ g}$$



$\alpha$

$$20 \text{ linj} = \\ 1/20 \text{ rad}$$



$\delta_e$

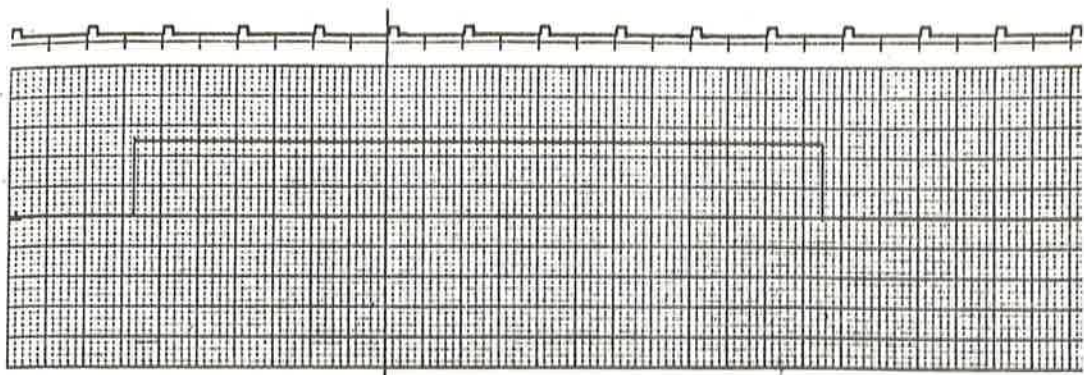
$$20 \text{ linj} = \\ 1/64 \text{ rad}$$

M=.2

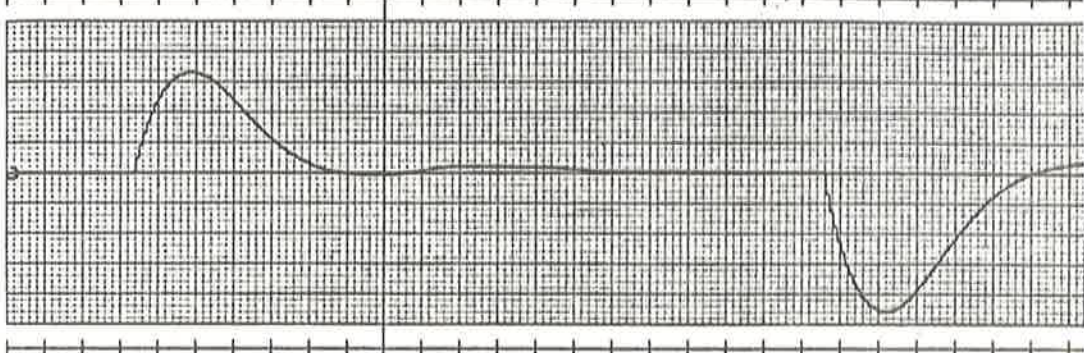
H=5km

TP2

$\beta=.05$

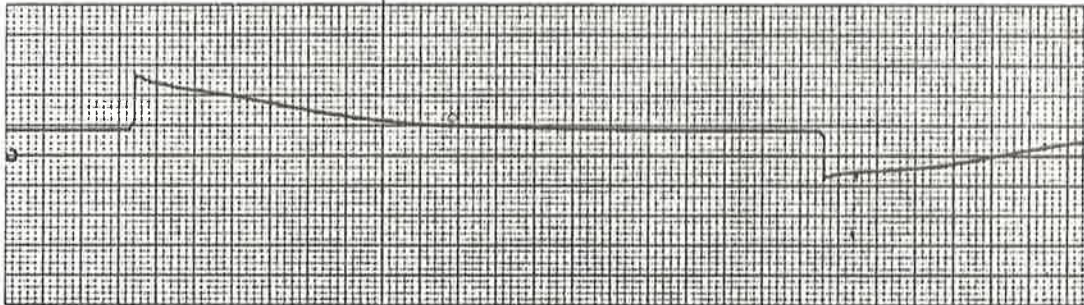


$t$  sek



$w$

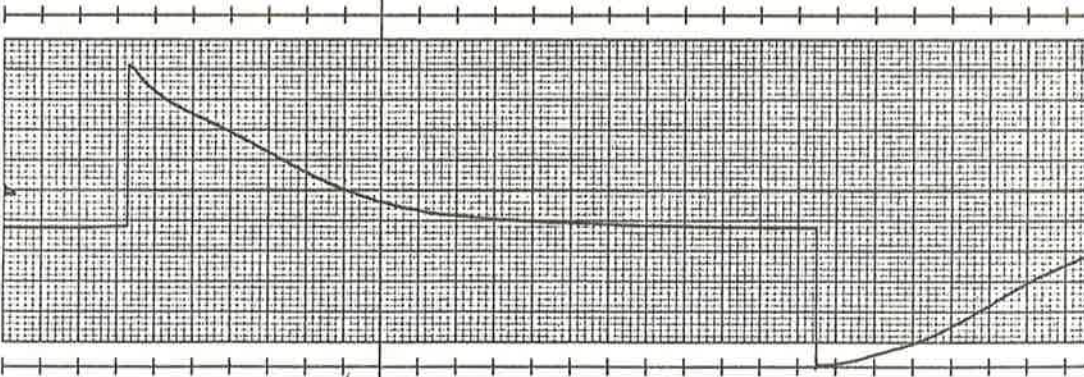
5 m/s



$n_z$

20 linj =

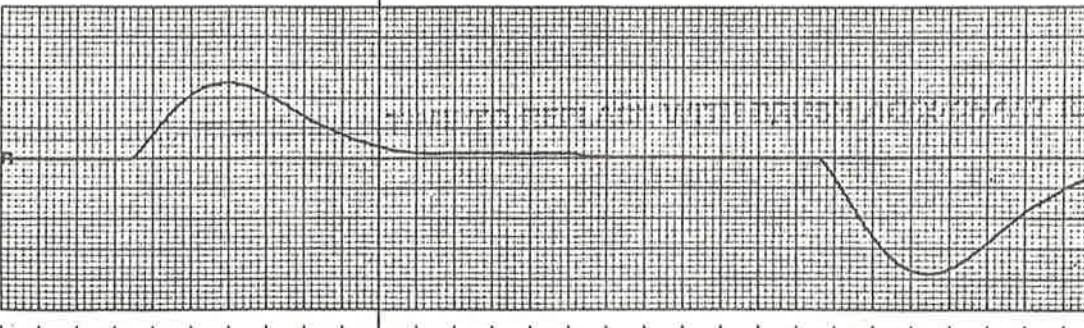
.8 g



$\alpha$

20 linj =

1/20 rad



$\delta_e$

20 linj =

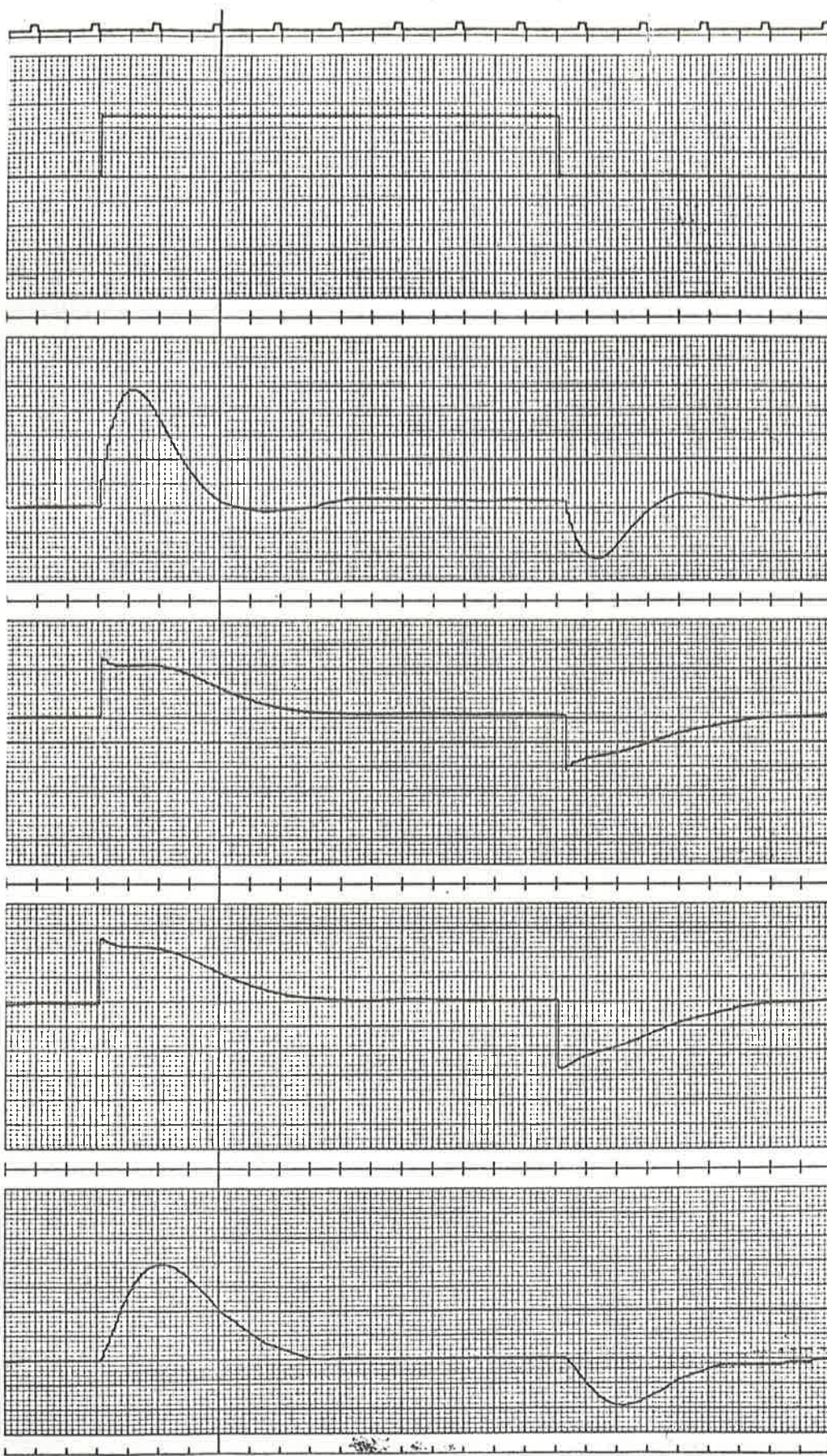
1/64 rad

$M = 2$

$H = 5 \text{ km}$

TP 2

$R = 1$



$t$  sek

w

5 m/s

q

20 linj =  
1/40 rad/s

$n_z$

20 linj =  
.8 g

$\alpha$

20 linj =  
1/20 rad

$\delta_e$

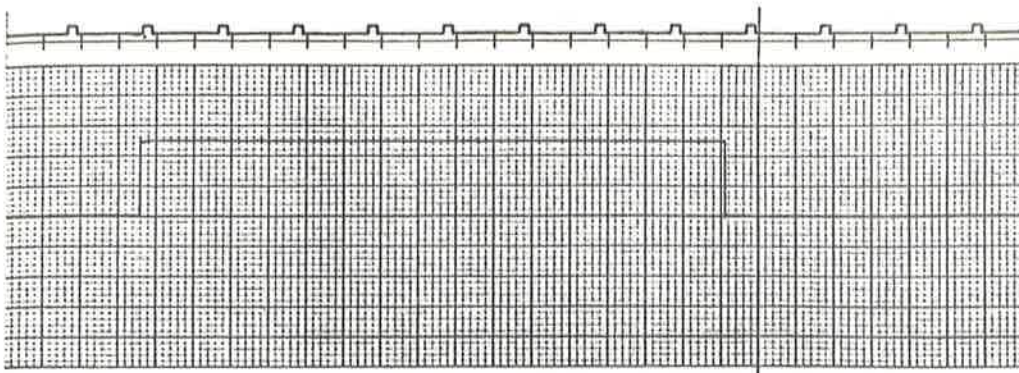
20 linj =  
1/160 rad

$M=.4$

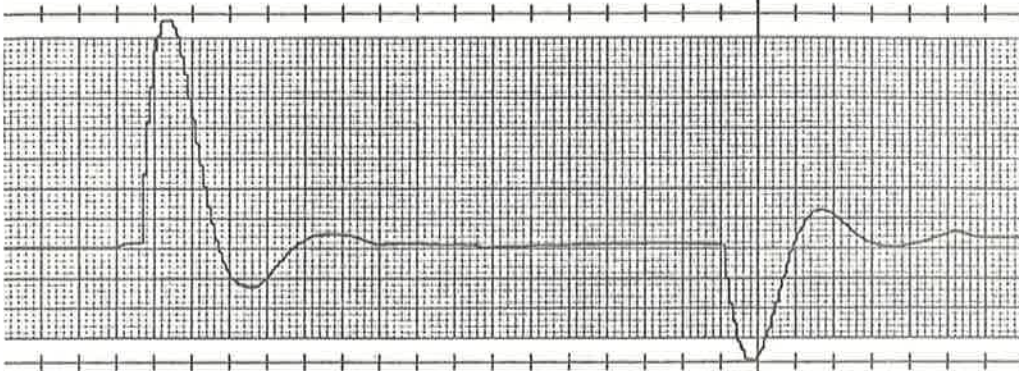
$H=5\text{ km}$

TP2

$\beta=.05$

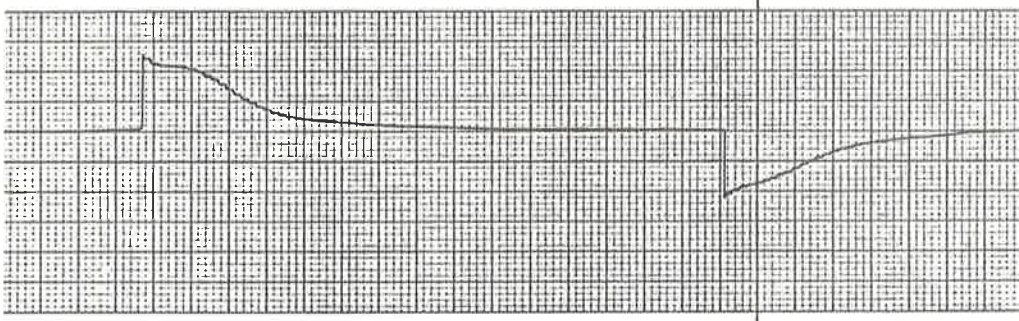


t sek



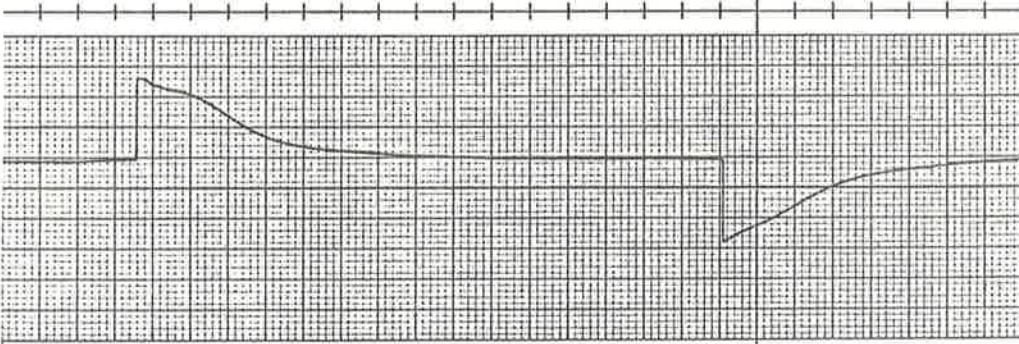
w

5 m/s



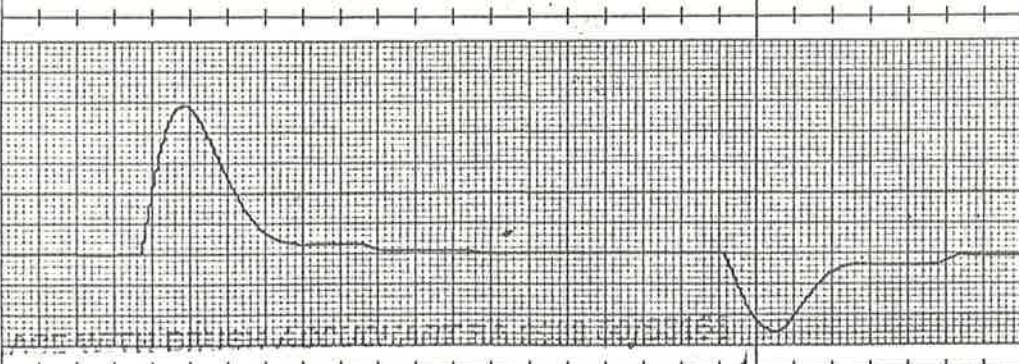
q

20 linj =  
1/80 rad/s



n z

20 linj =  
.8 g



$\alpha$

20 linj =  
1/20 rad

$\delta_e$

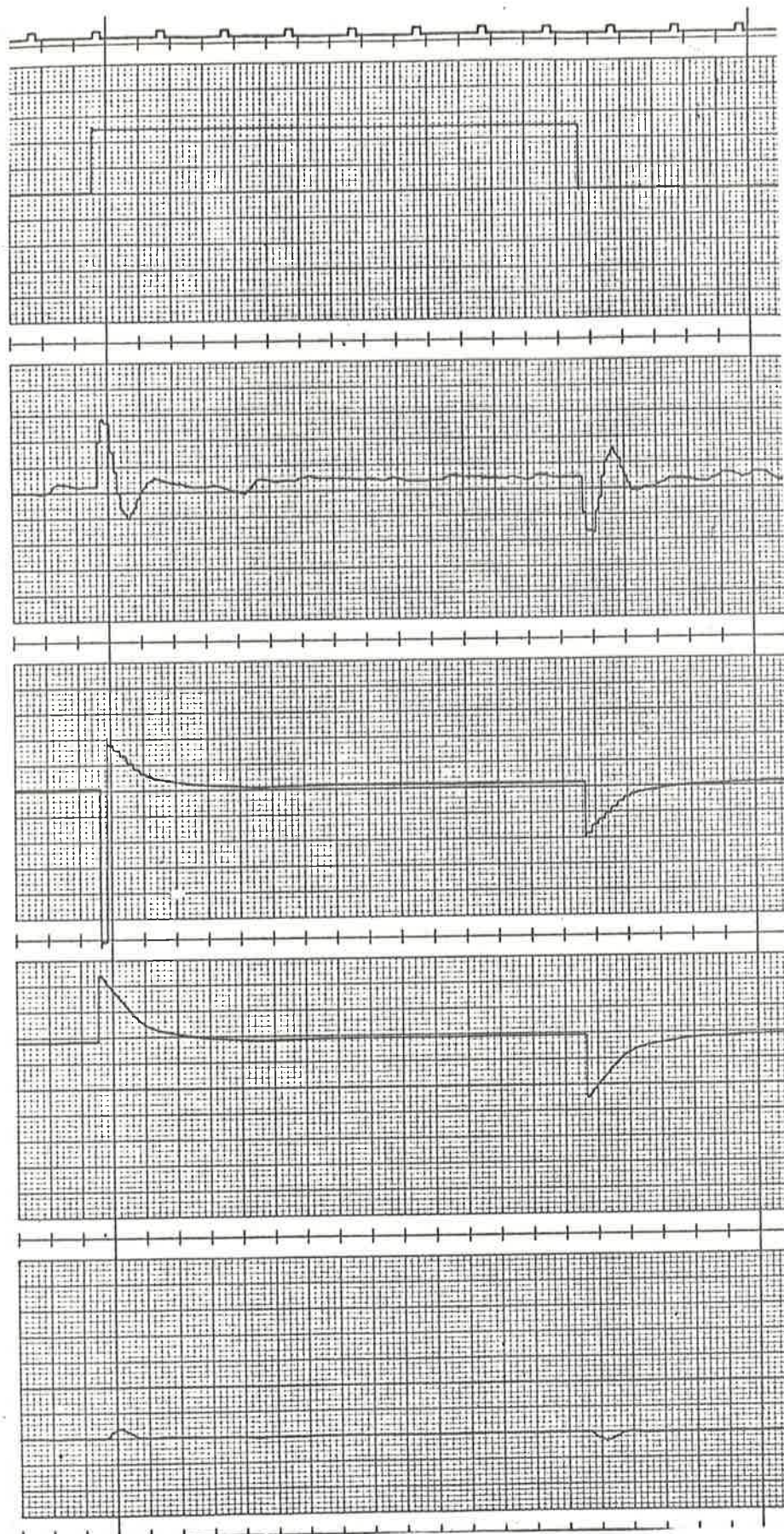
20 linj =  
1/160 rad

M=.4

H=.5 km

TP 2

R=1



$t$  sek

w

5 m/s

q

20 linj =  
1/80 rad/s

$n_z$

20 linj =  
2 g

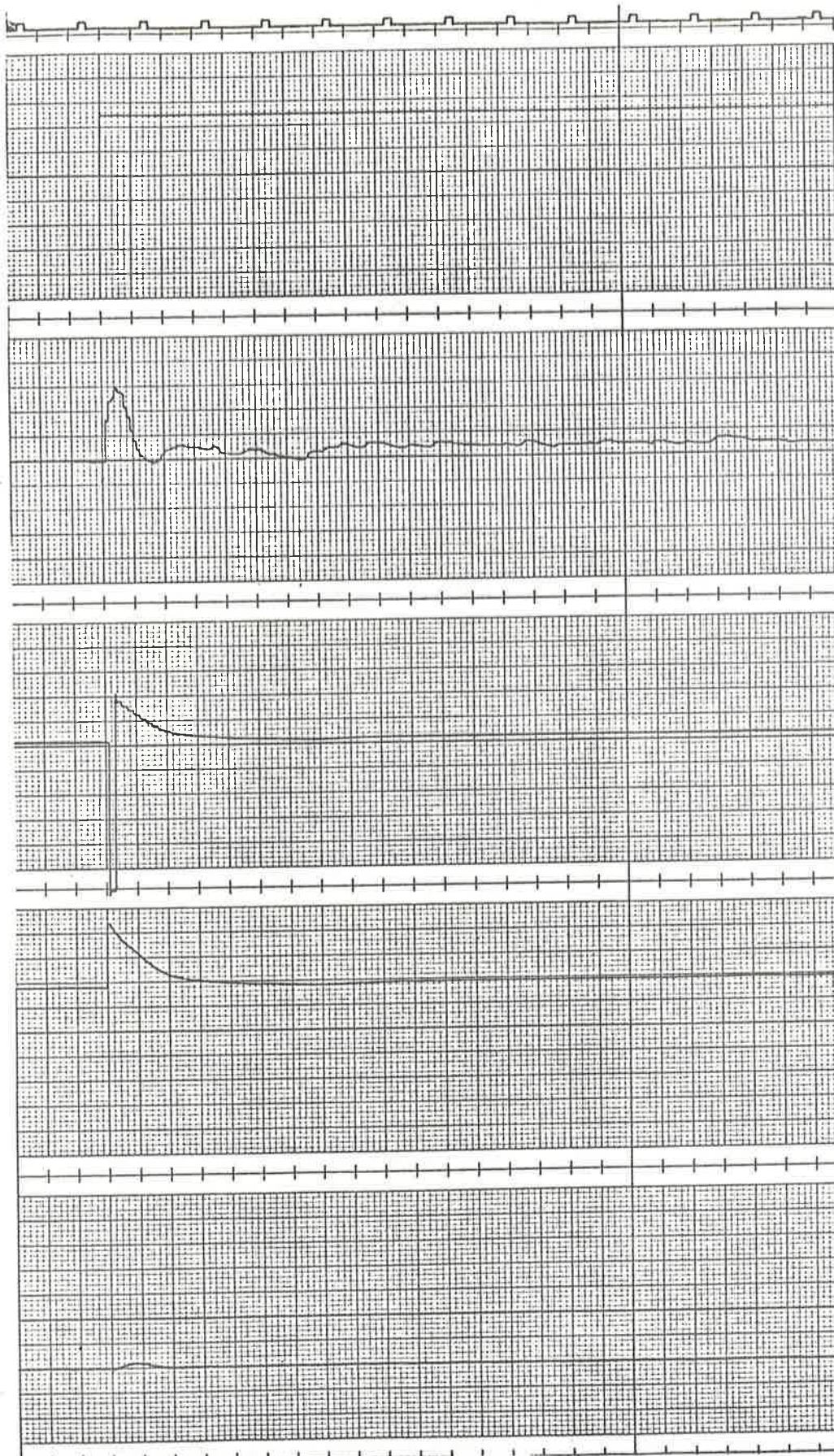
$\alpha$

20 linj =  
1/40 rad

$\delta_e$

20 linj =  
1/160 rad

$M = .9$   
 $H = .5 \text{ km}$   
 $TP2$   
 $\beta = .1$



$t \text{ sek}$

w

$5 \text{ m/s}$

q

$20 \text{ linj} =$   
 $1/80 \text{ rad/s}$

$n_z$

$20 \text{ linj} =$   
 $2 \text{ g}$

$\alpha$

$20 \text{ linj} =$   
 $1/40 \text{ rad}$

$\delta_e$

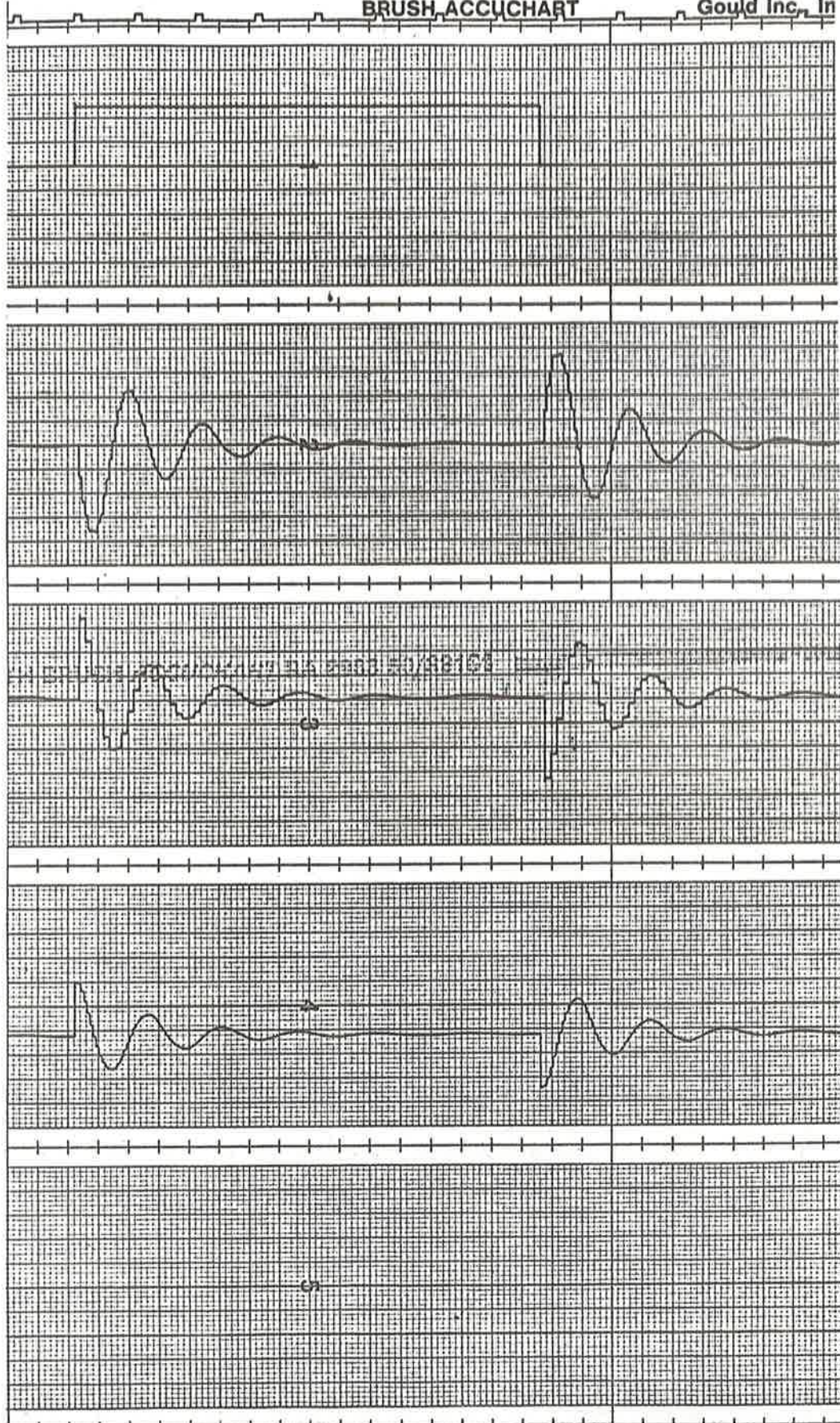
$20 \text{ linj} =$   
 $1/160 \text{ rad}$

$M=9$

$H=5 \text{ km}$

TP2

$\beta=0.05$



t sek

w

5 m/s

q

20 linj =  
1/16 rad/s

n z

20 linj =  
.8 g

$\alpha$

20 linj =  
1/40 rad

$\delta_e$

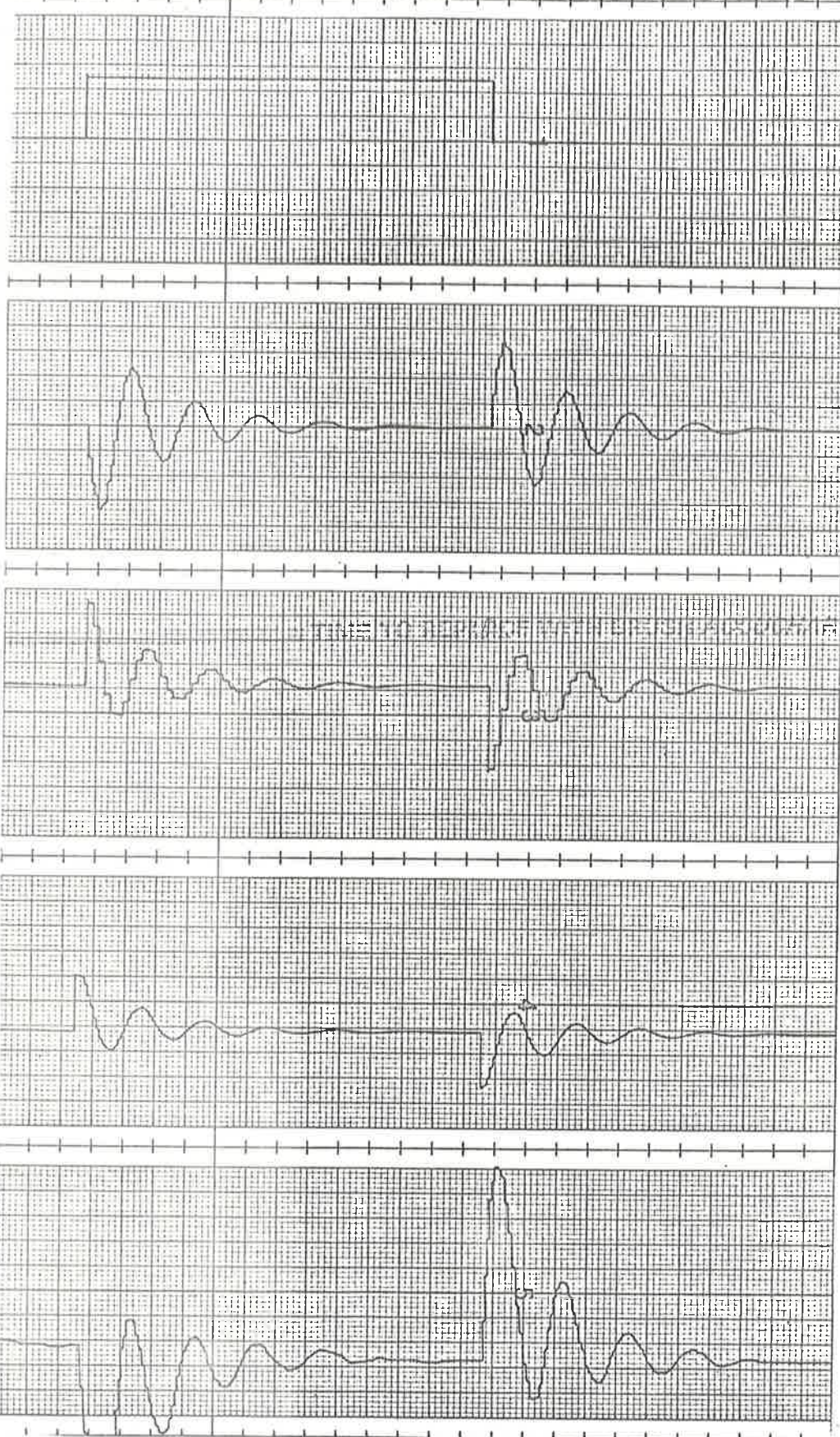
20 linj =  
1/320 rad

M = 1.1

H = 6 km

TP 1

$\beta = 0$



t sek

w

5 m/s

q

20 linj =  
1/16 rad/s

n z

20 linj =  
.8 g

$\alpha$

20 linj =  
1/40 rad

$\delta_e$

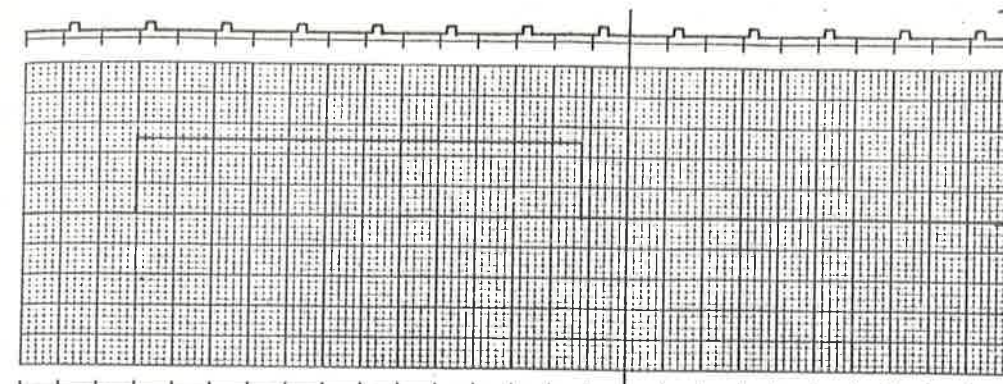
20 linj =  
1/320 rad

M = 1.1

H = 6 km

TP 1

$\beta = .05$



$t$  sek

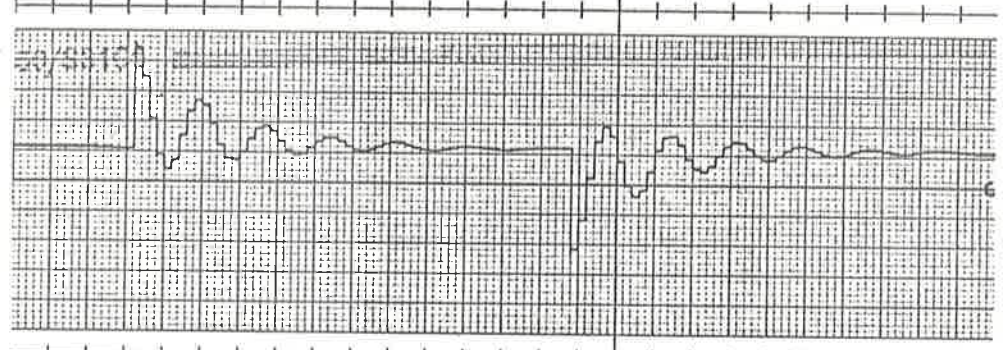
$w$

5 m/s



$q$

20 linj =  
1/16 rad/s



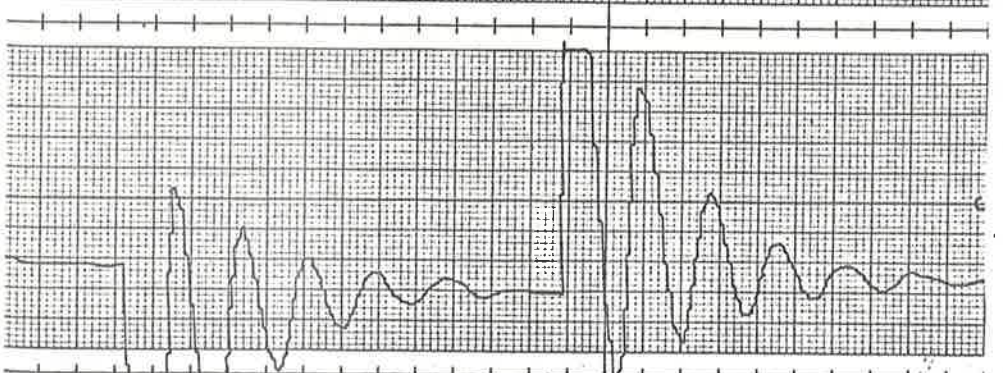
$n_z$

20 linj =  
.8 g



$\alpha$

20 linj =  
1/40 rad



$\delta_e$

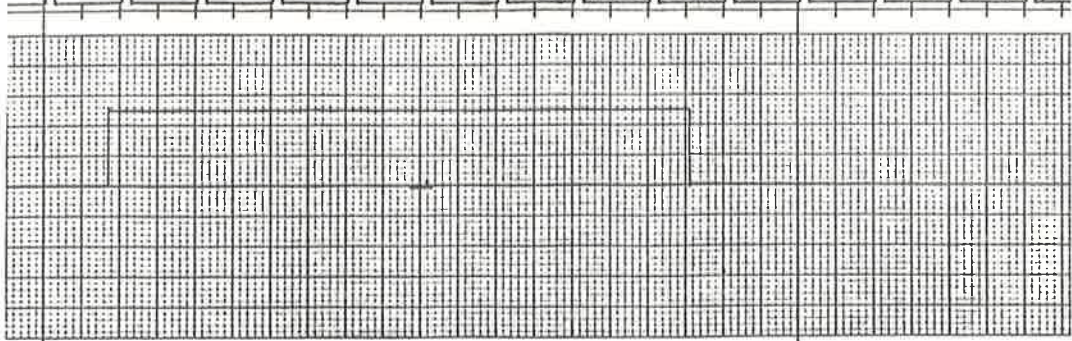
20 linj =  
1/320 rad

$M = 1.1$

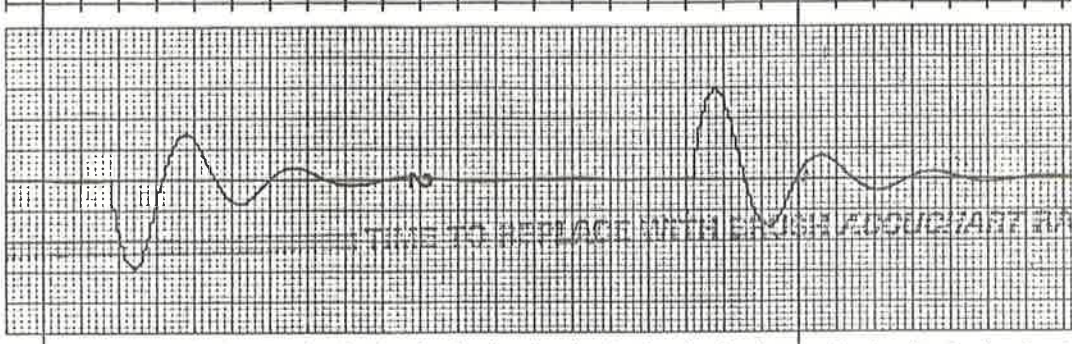
$H = 6 \text{ km}$

TP 1

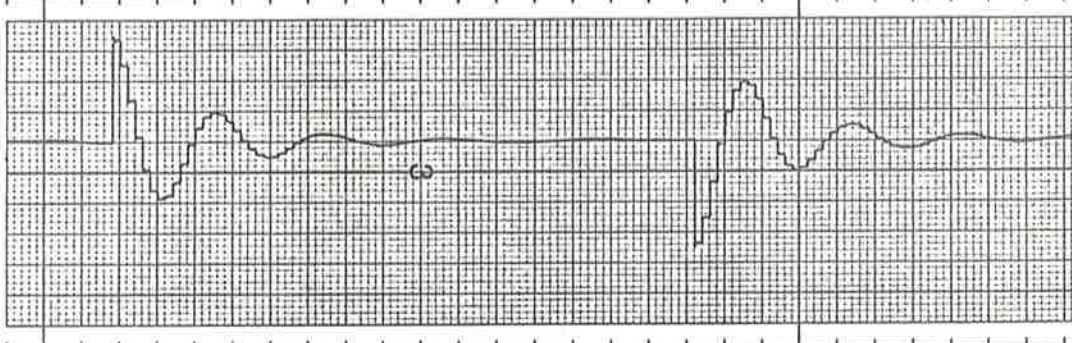
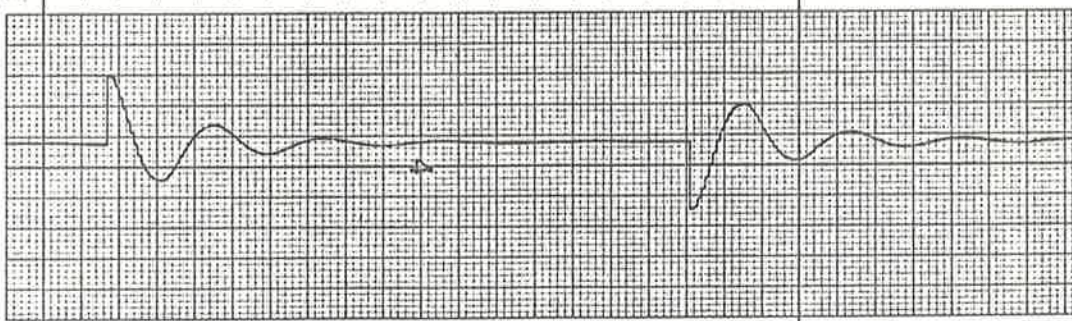
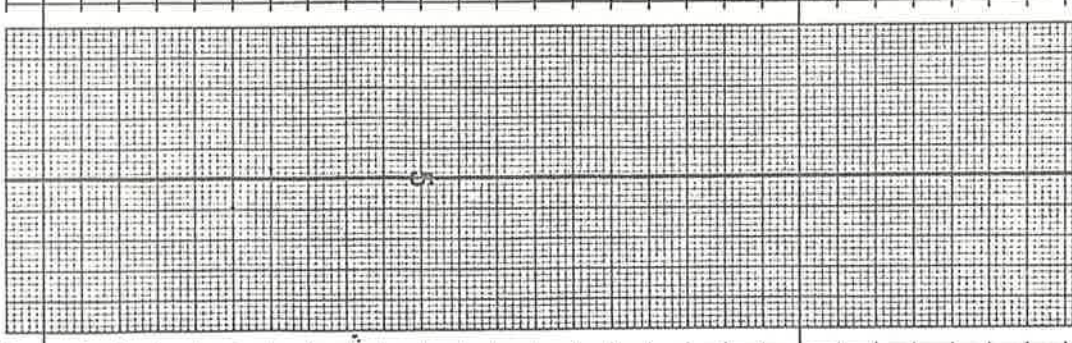
$\beta = .1$



t sek

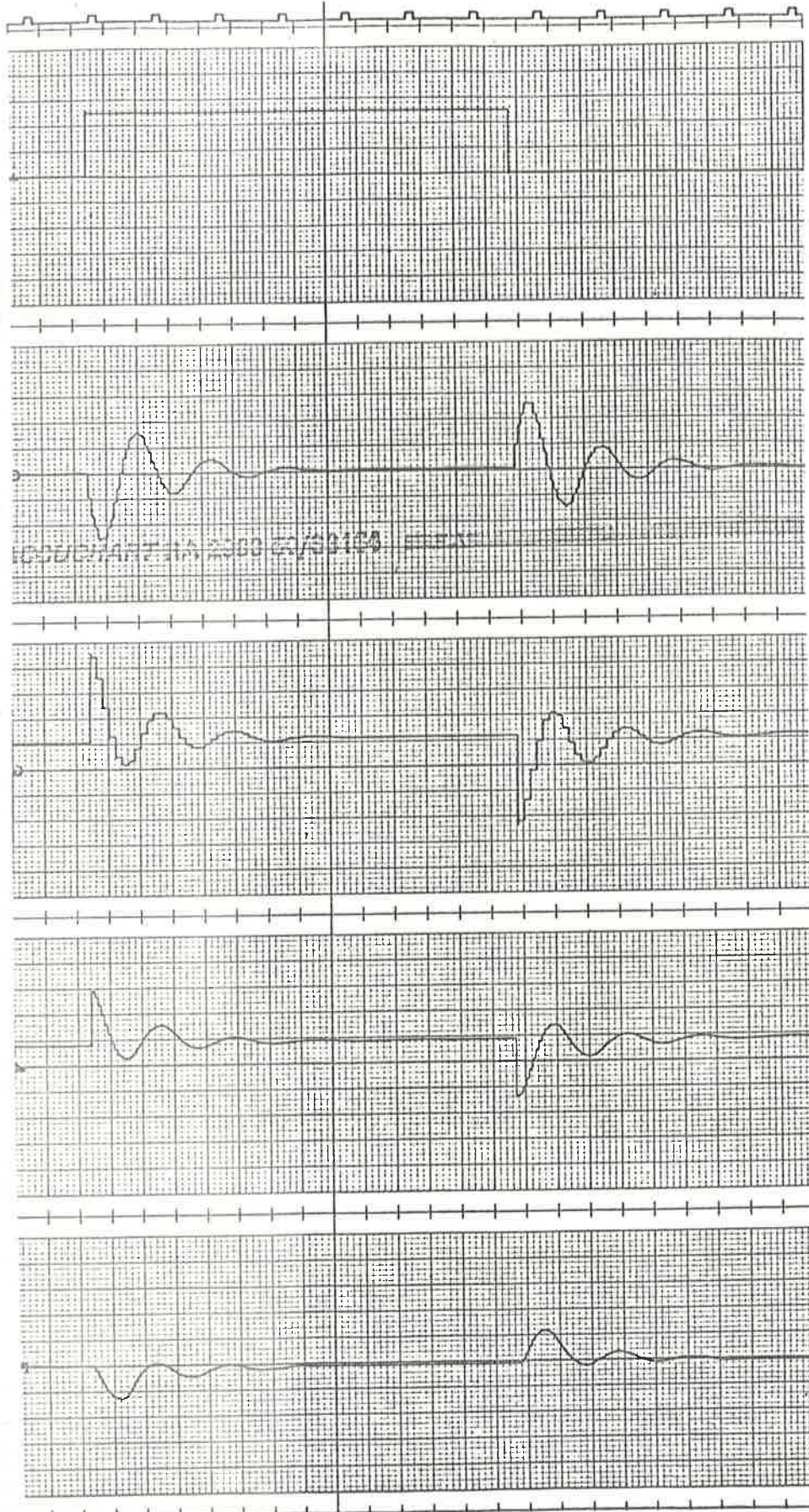


q

20 linj =  
1/16 rad/s $n_z$ 20 linj =  
.8 g $\alpha$ 20 linj =  
1/40 rad $\delta_e$ 20 linj =  
1/64 rad $M = 1.1$  $H = 6 \text{ km}$ 

TP 2

 $\beta = 0$



$t$  sek

w

5 m/s

q

20 linj =  
1/16 rad/s

$n_z$

20 linj =  
.8 g

$\alpha$

20 linj =  
1/40 rad

$\delta_e$

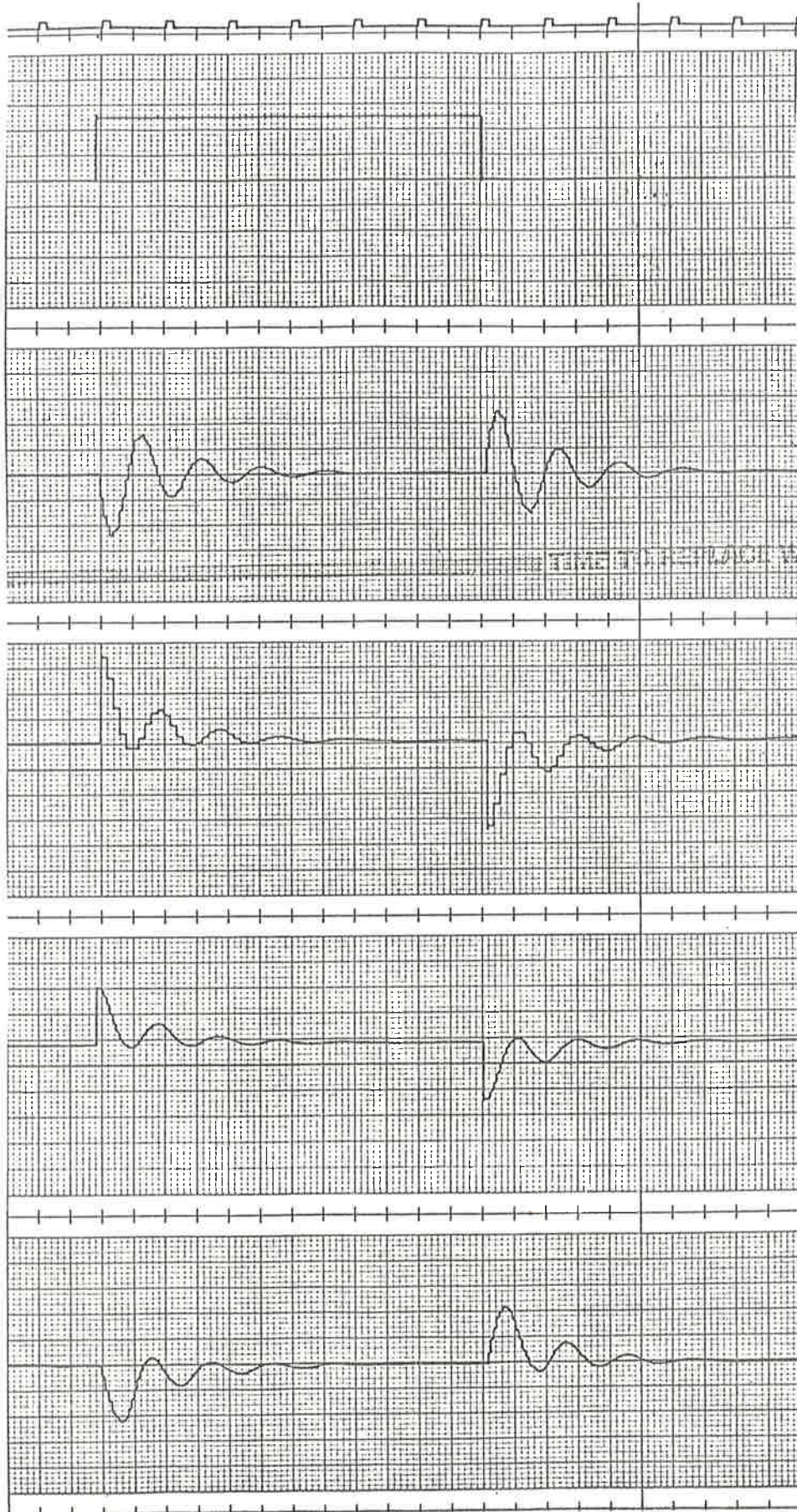
20 linj =  
1/64 rad

M 1.1

H = 6 km

TP 2

$\beta = .05$



$t$  sek

w

5 m/s

q

20 linj =  
1/16 rad/s

$n_z$

20 linj =  
.8 g

$\alpha$

20 linj =  
1/40 rad

$\delta_e$

20 linj =  
1/64 rad

$M = 1.1$

$H = 6 \text{ km}$

TP 2

$\beta = .1$

Utfärdad	Datum	Utgåva	Sida

Stegsvar vid spakkommando

$t$  sek  $M = .2$   
 $F_e$   $H = .5\text{km}$   
22 N  $TP2$   
 $\beta = .1$

$q$   
20 linj =  
 $1/8 \text{ rad/s}$

$n_z$   
20 linj =  
.8 g

$\alpha$   
20 linj =  
 $1/8 \text{ rad}$

$\gamma$   
20 linj =  
 $45^\circ$

$\delta_e$   
20 linj =  
 $1/32 \text{ rad}$

$t$  sek     $M=2$   
 $H=5\text{km}$   
 $F_e$        $TP1$   
 $22\text{ N}$      $\beta=1$

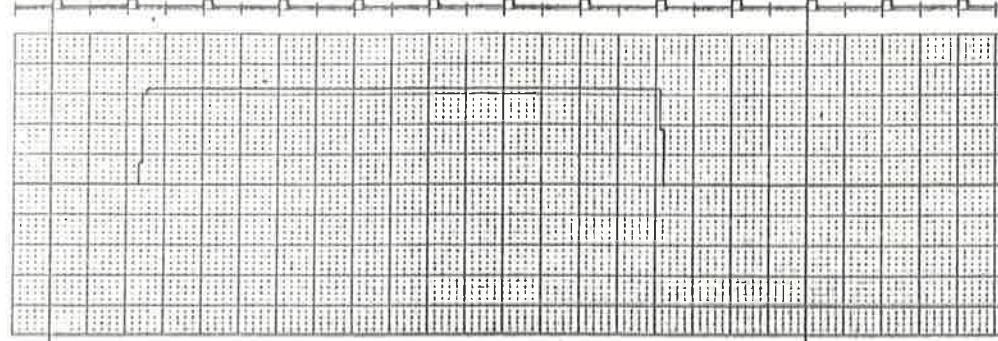
$q$   
20 linj =  
 $1/8 \text{ rad/s}$

$n_z$   
20 linj =  
.8 g

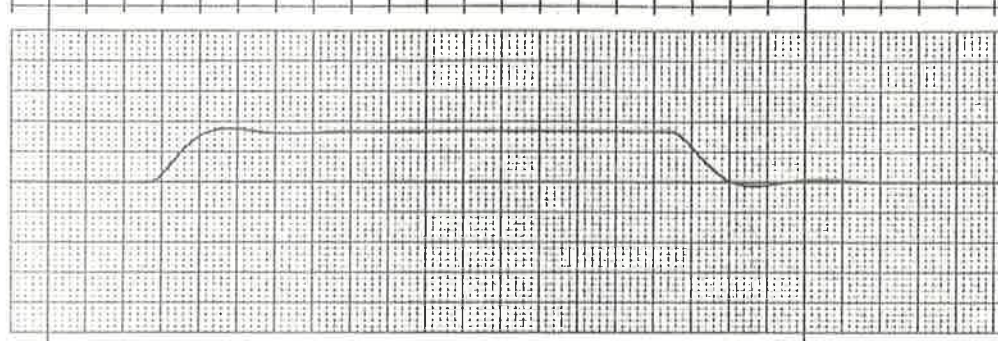
$\alpha$   
20 linj =  
 $1/8 \text{ rad}$

$\gamma$   
20 linj =  
 $45^\circ$

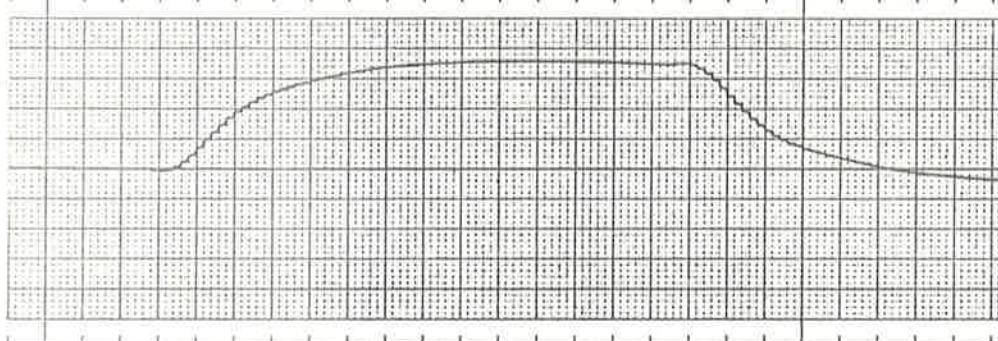
$\delta_e$   
20 linj =  
 $1/32 \text{ rad}$



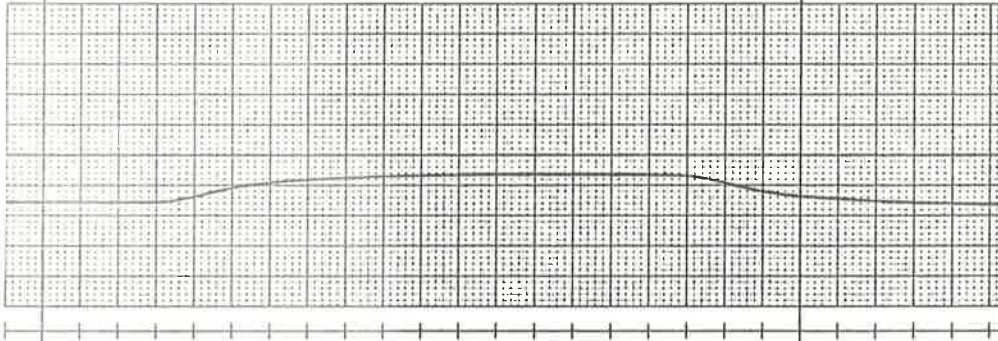
t sek M=4  
H=5km  
Fe TP 1  
22 N  $\beta=.1$



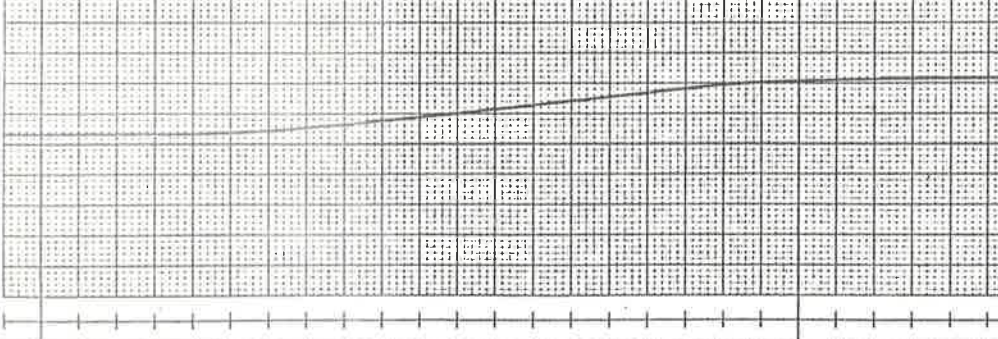
q  
20 linj=  
1/8 rad/s



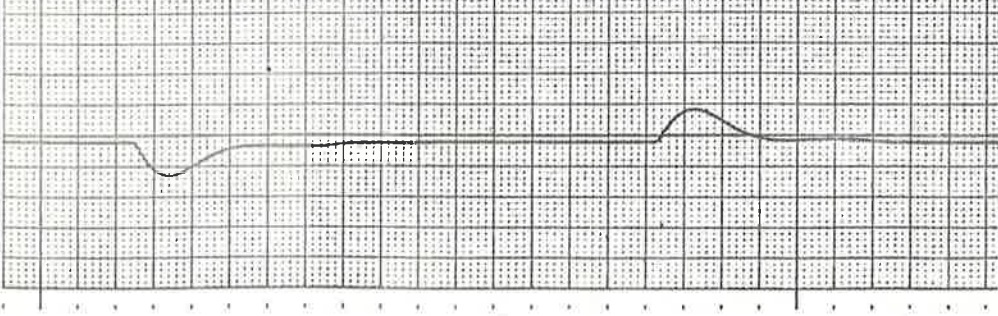
n<sub>z</sub>  
20 linj=  
.8 g



alpha  
20 linj=  
1/4 rad



gamma  
20 linj=  
45 °



delta<sub>e</sub>  
20 linj=  
1/32 rad

$t$  sek  $M=4$   
 $H=5\text{ km}$   
 $F_e$  TP2  
22 N  $\beta=.1$

$q$   
20 linj =  
 $1/8 \text{ rad/s}$

$n_z$   
20 linj =  
.8 g

$\alpha$   
20 linj =  
 $1/4 \text{ rad}$

$\gamma$   
20 linj =  
 $45^\circ$

$\delta_e$   
20 linj =  
 $1/32 \text{ rad}$

t sek

M=9  
H=5km  
TP 1  
 $\beta=.1$

$F_e$   
22 N

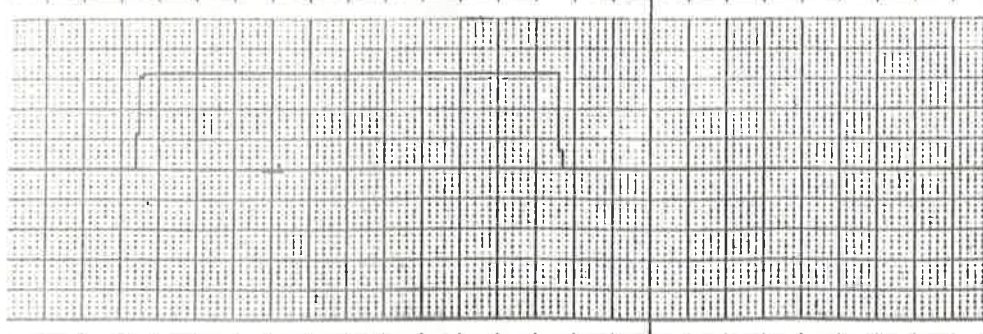
$q$   
20 linj =  
1/16 rad/s

$n_z$   
20 linj =  
1.6 g

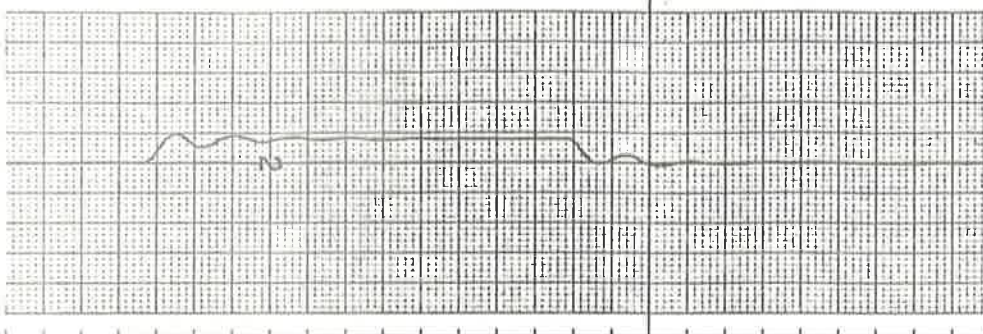
$\alpha$   
20 linj =  
1/4 rad

$\gamma$   
20 linj =  
45 °

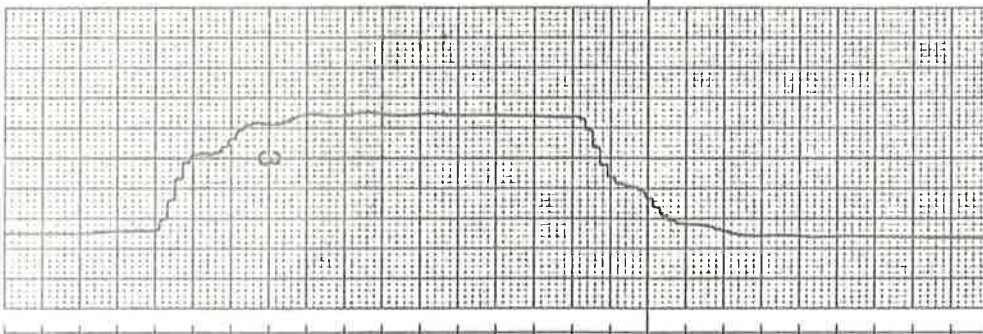
$\delta_e$   
20 linj =  
1/32 rad



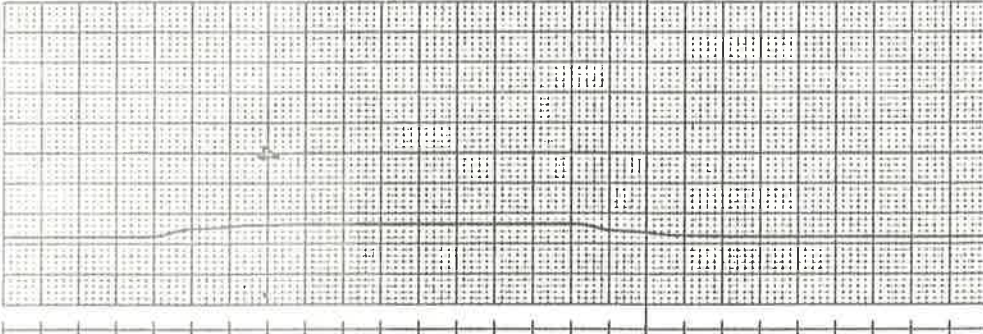
t sek    M=.9  
H=5km  
TP2  
β=.1  
Fe  
22 N



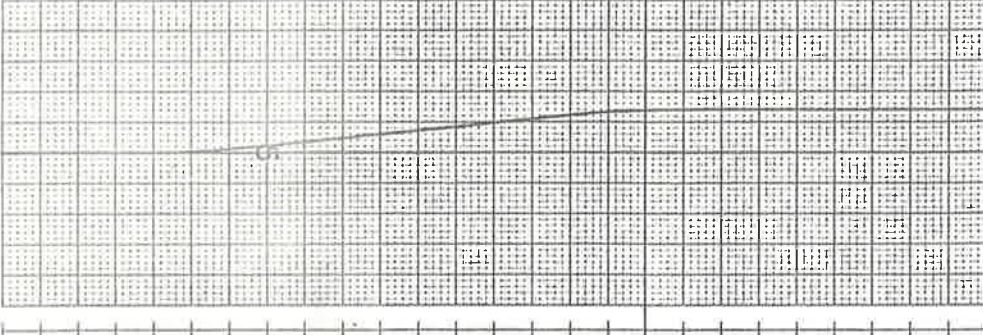
q  
20linj=  
1/16 rad/s



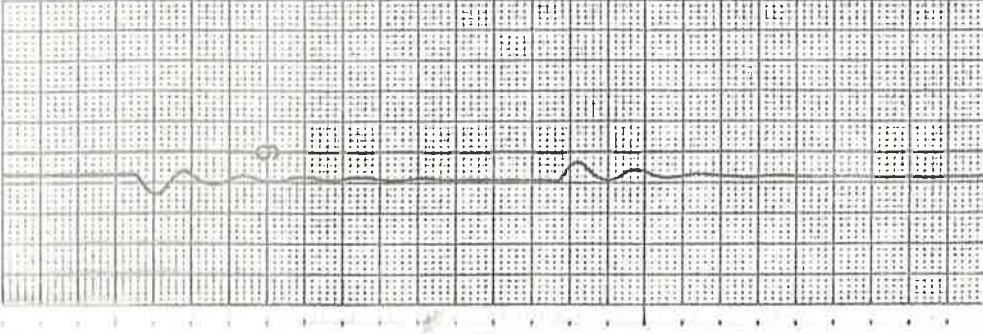
n\_z  
20linj=  
1.6 g



α  
20linj=  
1/4 rad



γ  
20linj=  
45 °



δ\_e  
20linj=  
1/32 rad

$t$  sek  $M = 1.1$   
 $H = 3 \text{ km}$   
 $F_e$  TP 1  
 $22 \text{ N}$   $\beta = .1$

$q$   
20 linj =  
 $1/8 \text{ rad/s}$

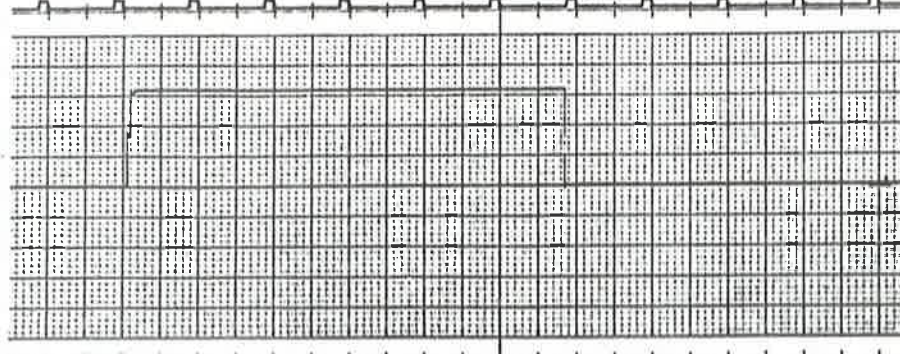
$n_z$   
20 linj =  
1.6 g

$\alpha'$   
20 linj =  
 $1/4 \text{ rad}$

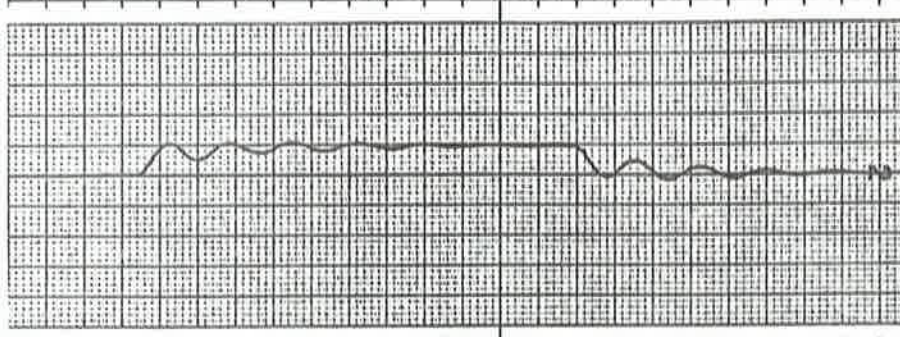
$\gamma$   
20 linj =  
 $45^\circ$

$\delta_e$   
20 linj =  
 $1/32 \text{ rad}$

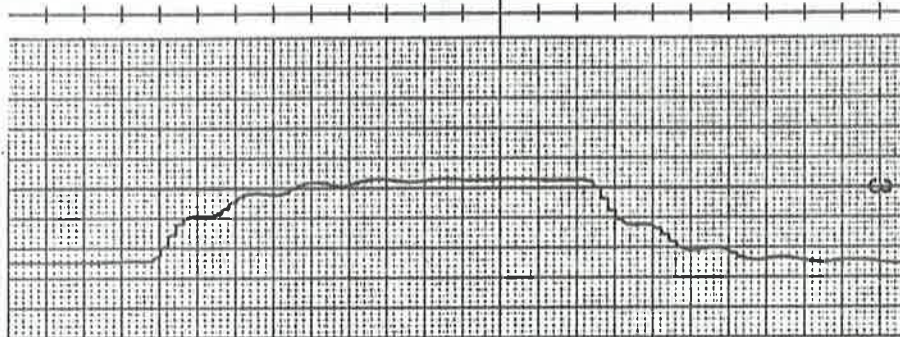
## BRUSH INSTRUMENTS DIVISION



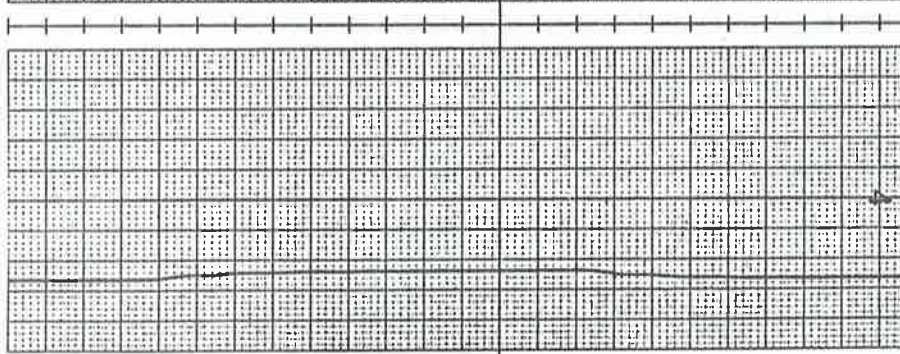
t sek      M = 1.1  
H = 3 km  
TP 2  
 $F_e$        $\beta = .1$   
22 N



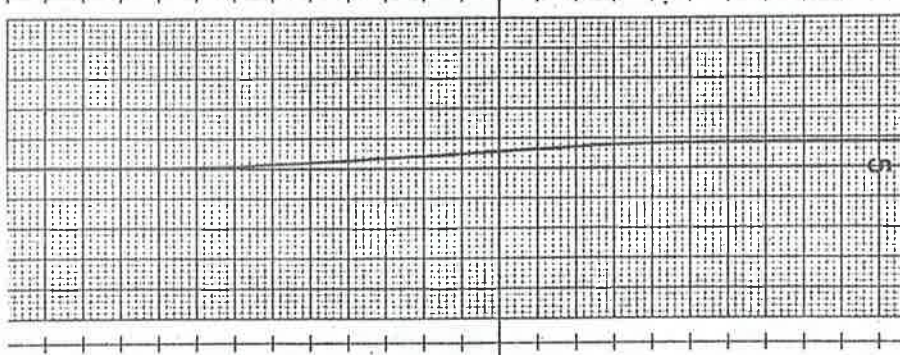
q  
20 linj =  
1/8 rad/s



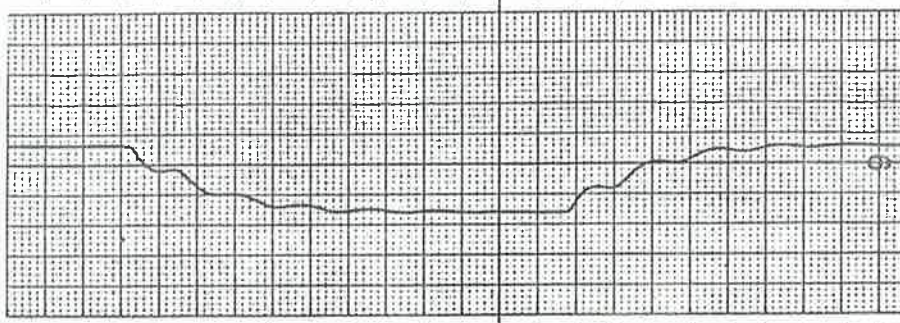
n\_z  
20 linj =  
1.6 g



alpha  
20 linj =  
1/4 rad



gamma  
20 linj =  
45 °



$\delta_e$   
20 linj =  
1/32 rad